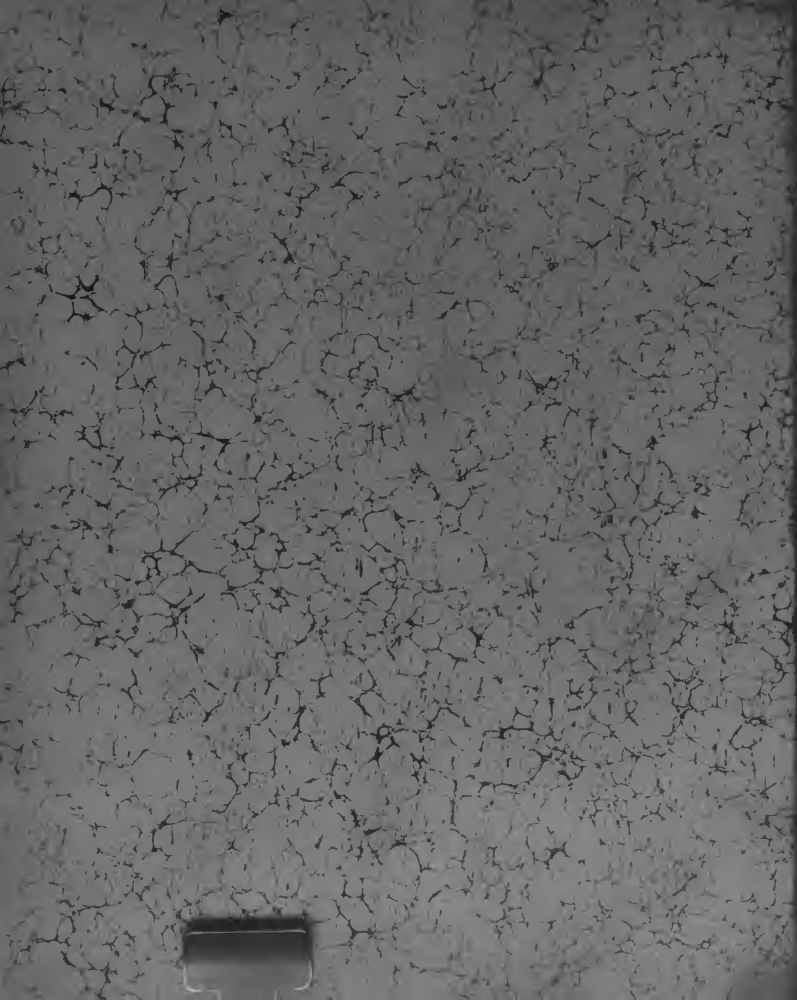
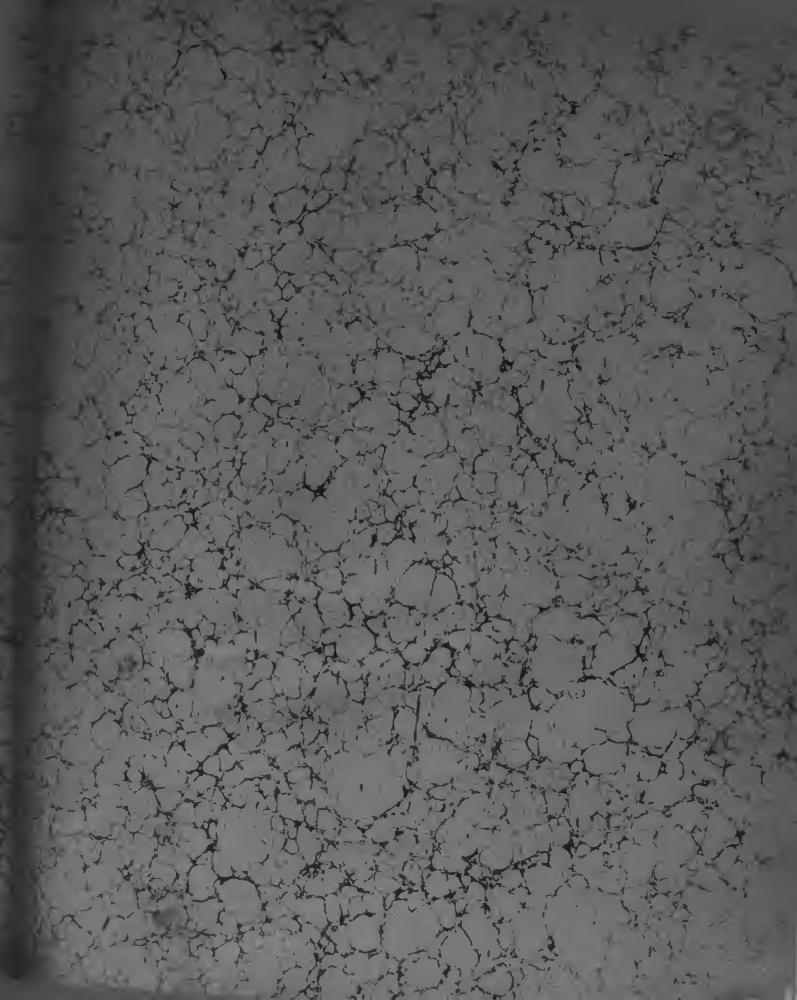


**RECHERCHES
ANATOMIQUES ET
PALÉONTOLOGIQUES
POUR SERVIR À
L'HISTOIRE DES...**

Alphonse Milne-Edwards





55
4130

RECHERCHES
ANATOMIQUES ET PALÉONTOLOGIQUES
sur les ossements fossiles de
OISEAUX FOSSILES
DE LA FRANCE

PAR M. ALFRED REULE, EDWARDS

CHIMISTE, MÉDECIN VÉTÉRAIRE, ANATOMISTE, GÉOLOGE

PROFESSEUR AU MUSÉE D'HISTOIRE NATURELLE, À PARIS

PARIS, CHEZ M. L. LAFITE, 11, RUE DE LA HARPE, 11

PARIS, CHEZ M. L. LAFITE, 11, RUE DE LA HARPE, 11

1865



PARIS

VIC 100 955895 11 115

115 115 115 115 115 115 115 115 115 115

115

PLANCHE 97.

RALLIDES.

Squelette du *Tribonyx Mortieri* (J. Gr.), individu mâle.

Réduction de $\frac{1}{4}$.



Louveau lith.

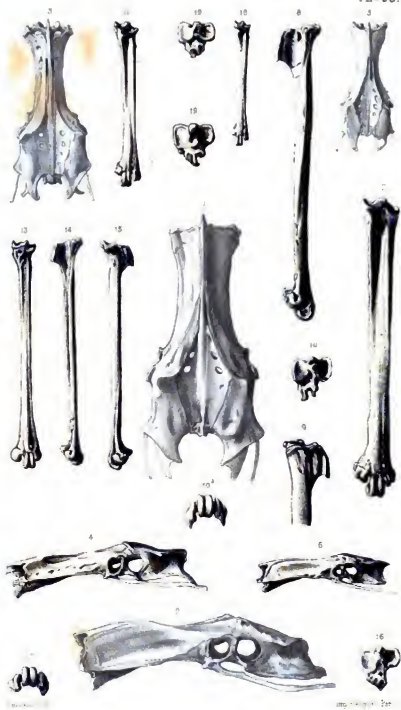
VILLE DE LYON
Bibliothèque du Palais des Arts

Imp. Bequaert, Paris.

PLANCHE 98.

RALLIDES.

- FIG. 1. — Bassin de la **Poule sultane de Madagascar** (*Porphyrio madagascariensis*, Lath.), vu en dessous, de grandeur naturelle.
- FIG. 2. — Le même os, vu de côté.
- FIG. 3. — Bassin de la **Poule d'eau** (*Gallinula chloropus*, Lath.), vu en dessus.
- FIG. 4. — Le même os, vu de côté.
- FIG. 5. — Bassin du **Male des genêts** (*Rallus crex*, Lath.), vu en dessus.
- FIG. 6. — Le même os, vu de côté.
- FIG. 7. — Tarso-métatarsien de la **Poule sultane de Madagascar**, vu par sa face antérieure.
- FIG. 8. — Face interne du même os.
- FIG. 9. — Face externe de l'extrémité supérieure du même.
- FIG. 10. — Extrémité articulaire supérieure vue en dessus.
- FIG. 10'. — Extrémité articulaire inférieure vue en dessous.
- FIG. 11. — Tarso-métatarsien de la **Poule d'eau d'Europe**, vu par sa face antérieure.
- FIG. 12. — Extrémité articulaire supérieure vue en dessus et grossie.
- FIG. 13. — Tarso-métatarsien de **Jacana d'Afrique** (*Metopidius africanus*, Gmel.), vu par sa face antérieure.
- FIG. 14. — Face interne du même os.
- FIG. 15. — Face externe du même.
- FIG. 16. — Extrémité articulaire supérieure vue en dessus et grossie.
- FIG. 17. — Extrémité articulaire inférieure vue en dessous et grossie.
- FIG. 18. — Tarso-métatarsien du **Male des genêts**, vu par sa face antérieure.
- FIG. 19. — Extrémité articulaire supérieure vue en dessus et grossie.



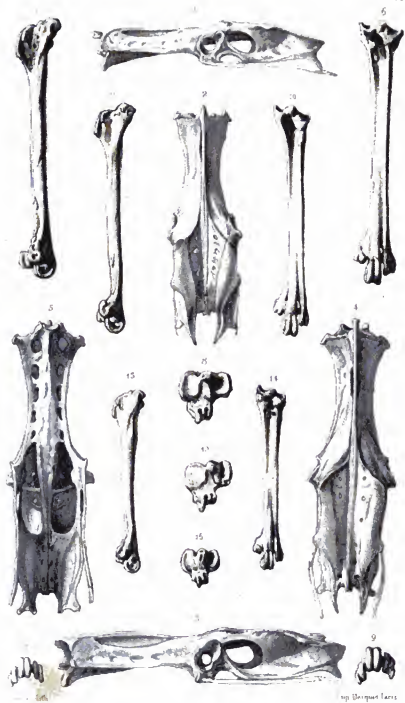
VILLE DE LYON

Bibliothèque du Musée des Arts

PLANCHE 99.

RALLIDES.

- FIG. 1. — Bassin de la **Foulique d'Europe** (*Fulica atra*, Lin.), vu de côté, de grandeur naturelle, ainsi que les figures suivantes.
- FIG. 2. — Le même os, vu par sa face supérieure.
- FIG. 3. — Bassin de la **Foulique à crête** (*Fulica cristata*, Lath.) d'Afrique, vu de côté.
- FIG. 4. — Face supérieure du même os.
- FIG. 5. — Face inférieure du même.
- FIG. 6. — Tarso-métatarsien de la **Foulique du Chili** (*Fulica chilensis*), vu par sa face antérieure.
- FIG. 7. — Face interne du même os.
- FIG. 8. — Extrémité articulaire supérieure vue en dessus.
- FIG. 9. — Extrémité articulaire inférieure vue en dessous.
- FIG. 10. — Tarso-métatarsien de la **Foulique à crête**, vu par sa face antérieure.
- FIG. 11. — Face interne du même os.
- FIG. 12. — Extrémité articulaire supérieure vue en dessus.
- FIG. 13. — Extrémité articulaire inférieure vue en dessous.
- FIG. 14. — Tarso-métatarsien de la **Foulique d'Europe**, vu par sa face antérieure.
- FIG. 15. — Face interne du même os.
- FIG. 16. — Extrémité articulaire supérieure vue en dessus.



VILLE DE LYON
Bibliothèque du Musée des Arts

PLANCHE 100.

RALLIDES.

- FIG. 1. — Bassin de l'*Ocydrome austral* (*Ocydromus australis*, Sparrm.), vu en dessus, de grandeur naturelle, ainsi que les figures suivantes.
- FIG. 2. — Le même, vu de côté.
- FIG. 3. — Tibia de la *Foule sultane de Madagascar* (*Porphyrio madagascariensis*, Lath.), vu par sa face antérieure.
- FIG. 4. — Face interne du même os.
- FIG. 5. — Extrémité articulaire inférieure vue en dessous.
- FIG. 6. — Tibia de la *Foule à crête* (*Fulica cristata*, Lath.), vu par sa face antérieure.
- FIG. 7. — Face interne du même os.
- FIG. 8. — Extrémité articulaire inférieure vue en dessous.
- FIG. 9. — Portion supérieure du tibia du *Fulica atra*, vu par sa face antérieure.
- FIG. 10. — Tibia de la *Foule d'eau* (*Gallinula chloropus*, Lath.), vu par sa face antérieure.
- FIG. 11. — Face interne du même os.
- FIG. 12. — Tibia du *Bate des genêts* (*Rallus crex*, Lath.), vu par sa face interne.



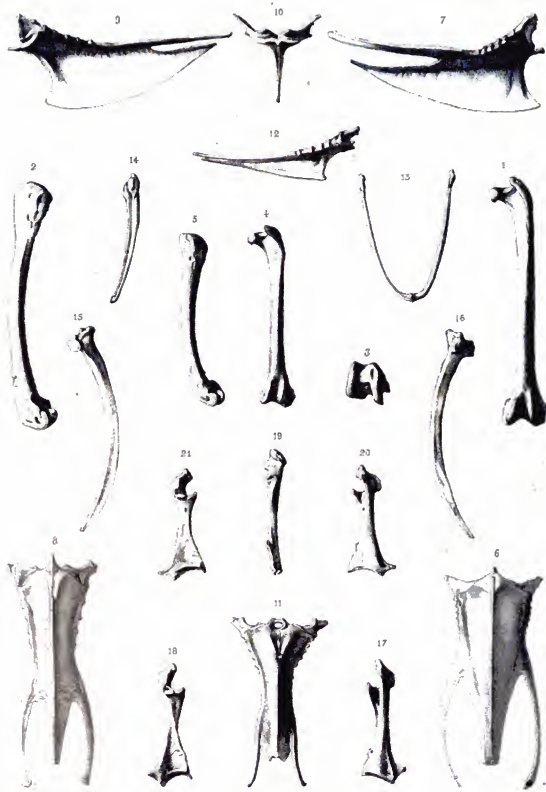
Fig. 100.

Fig. 100.

PLANCHE 101.

RALLIDES.

- FIG. 1. — Fémur de la **Poule sultane de Madagascar** (*Porphyrio madagascariensis*, Lath.), vu par sa face antérieure, de grandeur naturelle, ainsi que les figures suivantes.
- FIG. 2. — Face externe du même os.
- FIG. 3. — Extrémité articulaire inférieure vue en dessous.
- FIG. 4. — Fémur de la **Foulque d'Europe** (*Fulica atra*, Lin.), vu par sa face antérieure.
- FIG. 5. — Face externe du même os.
- FIG. 6. — Sternum de la même espèce vu par sa face inférieure.
- FIG. 7. — Le même os, vu de côté.
- FIG. 8. — Sternum de la **Poule sultane de Madagascar**, vu par sa face inférieure.
- FIG. 9. — Le même os, vu de côté.
- FIG. 10. — Le même, vu en avant, pour montrer la disposition des rainures coracoidiennes.
- FIG. 11. — Sternum de l'**Ocydrome austral** (*Ocydromus australis*, Sparm.), vu par sa face inférieure.
- FIG. 12. — Le même os, vu de côté.
- FIG. 13. — Os furculaire de la **Poule sultane de Madagascar**, vu par sa face postérieure.
- FIG. 14. — Le même, vu de côté.
- FIG. 15. — Omoplate du même oiseau vu par sa face supérieure.
- FIG. 16. — Face inférieure du même os.
- FIG. 17. — Coracoidien du même oiseau vu par sa face inférieure.
- FIG. 18. — Face supérieure du même os.
- FIG. 19. — Portion scapulaire vue en dedans.
- FIG. 20. — Coracoidien de la **Foulque d'Europe**, vu par sa face inférieure.
- FIG. 21. — Face supérieure du même os.



Agaveae. Ish.

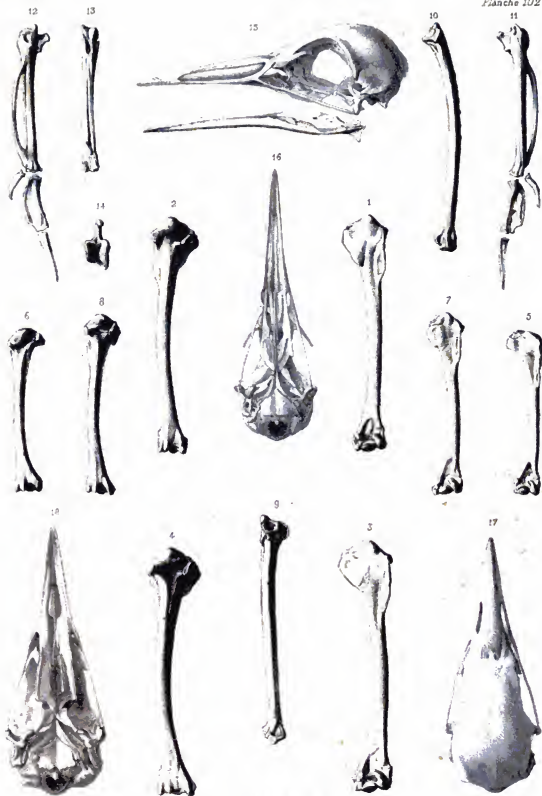
VILLE DE LYON
Mus. Ch. de l'École des Arts

Imp. Berquet Paris

PLANCHE 102.

RALLIÈRES.

- FIG. 1. — Humérus de la **Fouque d'Europe** (*Falco ultra*, Lin.), vu par sa face antérieure, de grandeur naturelle, ainsi que les figures suivantes.
- FIG. 2. — Face postérieure du même os.
- FIG. 3. — Humérus de la **Poule sultane de Madagascar** (*Porphyrio madagascariensis*, Lath.), vu par sa face antérieure.
- FIG. 4. — Face postérieure du même os.
- FIG. 5. — Humérus de l'**Ocydrome austral** (*Ocydromus australis*, Sparrh.), vu par sa face antérieure.
- FIG. 6. — Face postérieure du même os.
- FIG. 7. — Humérus du **Râle de Cayenne** (*Rallus cayennensis*), vu par sa face antérieure.
- FIG. 8. — Face postérieure du même os.
- FIG. 9. — Cubitus de la **Poule sultane de Madagascar**, vu par sa face antérieure.
- FIG. 10. — Face externe du même os.
- FIG. 11. — Portion terminale de l'aile de la même espèce, vue par sa face externe.
- FIG. 12. — Face interne de la même.
- FIG. 13. — Face postérieure du métacarpe.
- FIG. 14. — Extrémité articulaire supérieure de cet os vue en dessus.
- FIG. 15. — Tête osseuse du **Râle de Cayenne**, vue de côté.
- FIG. 16. — Face inférieure de la même.
- FIG. 17. — Tête osseuse de la **Poule sultane de Madagascar**, vue par sa face supérieure.
- FIG. 18. — Face inférieure de cette tête.



Let's say I'm

VALUE PROPOSITION

Imp. Berquet, Paris

PLANCHE 103.

RALLIDES.

FOSSILES.

Ostéologie du *Cypsernis Cuvieri* (A. Milne Edwards), oiseau fossile du gypse de Montmartre.

- FIG. 1. — Tarso-métatarsien vu par sa face antérieure, de grandeur naturelle.
L'extrémité inférieure est brisée. (Collection du Muséum.)
FIG. 2. — Face postérieure du même os.
FIG. 3. — Face interne du même.
FIG. 4. — Face externe du même.
FIG. 5. — Extrémité articulaire supérieure, vue en dessus et un peu grossie.

Ostéologie du *Rallus eximius* (A. Milne Edwards), Râle fossile provenant des couches miocènes de Langy (Allier).

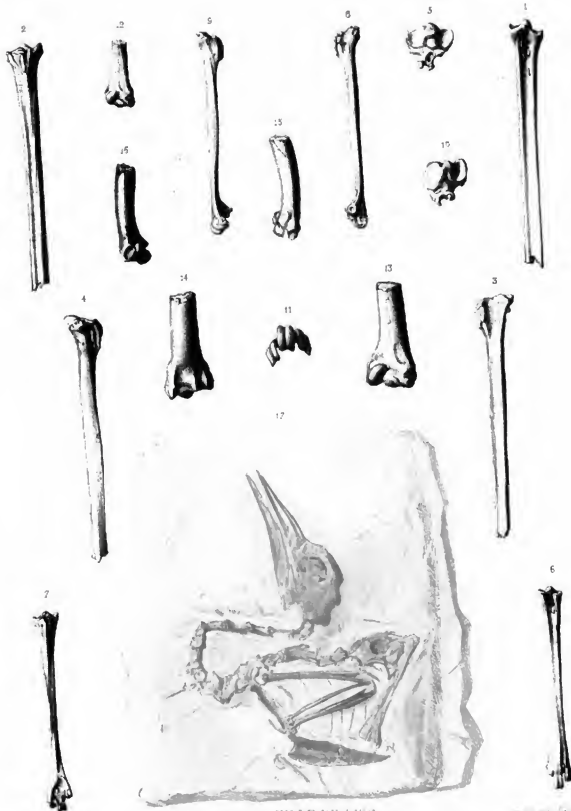
- FIG. 6. — Tarso-métatarsien vu par sa face antérieure, de grandeur naturelle.
(Ma collection.)
FIG. 7. — Face postérieure du même os.
FIG. 8. — Face interne du même.
FIG. 9. — Face externe du même.
FIG. 10. — Extrémité articulaire supérieure, vue en dessus et grossie.
FIG. 11. — Extrémité articulaire inférieure, vue en dessous et grossie.

Ostéologie du *Rallus major* (A. Milne Edwards), Râle fossile provenant du terrain miocène de Sansan (Gers).

- FIG. 12. — Portion inférieure d'humérus vue par sa face antérieure, de grandeur naturelle.
FIG. 13. — La même, grossie.
FIG. 14. — Face postérieure du même os.
FIG. 15. — Face interne du même.
FIG. 16. — Face externe du même.

Ostéologie du *Rallus intermedius* (A. Milne Edwards), espèce fossile provenant du gypse des environs de Paris.

- FIG. 17. — Plaque de gypse sur laquelle se voit l'empreinte de la tête, de la colonne vertébrale, du sternum, des côtes, des ailes et du fémur. (Collection du Muséum.)



VILLE DE LYON

Musée de l'histoire naturelle

PLANCHE 104.

RALLIDES.

FOSSILES.

Ostéologie du *Rallus Christyi* (A. Milne Edwards), espèce fossile provenant du terrain miocène de Langy (Allier).

- FIG. 1. — Tibia et tarso-métatarsien vus par leur face interne, de grandeur naturelle. (Ma collection.)
- FIG. 2. — Tarso-métatarsien vu par sa face antérieure.
- FIG. 3. — Face postérieure du même os.
- FIG. 4. — Face externe du même.
- FIG. 5. — Extrémité articulaire supérieure, vue en dessus et grossie.
- FIG. 6. — Extrémité articulaire inférieure, vue en dessous et grossie.
- FIG. 7. — Tibia vu par sa face antérieure.
- FIG. 8. — Face postérieure du même os.
- FIG. 9. — Extrémité articulaire inférieure, vue en dessous et grossie.

Ostéologie du *Rallus Beaumontii* (A. Milne Edwards), espèce fossile provenant du terrain miocène de Sausan (Gers).

- FIG. 10. — Extrémité inférieure du tarso-métatarsien vue en avant, de grandeur naturelle.
- FIG. 11. — La même, grossie.
- FIG. 12. — Le même os, vu par sa face postérieure.
- FIG. 13. — Extrémité supérieure du tarso-métatarsien vue par sa face antérieure, de grandeur naturelle.
- FIG. 14. — La même, grossie.
- FIG. 15. — Extrémité articulaire supérieure vue en dessus.
- FIG. 16. — Portion inférieure de tibia vue en avant, de grandeur naturelle.
- FIG. 17. — Face externe du même os.
- FIG. 18. — La même pièce, grossie et vue en avant.
- FIG. 19. — Face postérieure du même os.
- FIG. 20. — Extrémité articulaire inférieure vue en dessous.
- FIG. 21. — Humérus brisé vu par sa face antérieure, de grandeur naturelle.
- FIG. 22. — Face postérieure du même os.
- FIG. 23. — Extrémité inférieure du même os, de grandeur naturelle, vu par sa face interne.
- FIG. 24. — Face externe du même os.
- FIG. 25. — Extrémité inférieure vue par sa face antérieure, grossie.
- FIG. 26. — Extrémité supérieure vue par sa face postérieure, grossie.



Loureaa lith.

Imp. Bequest Paris.

PLANCHE 105.

RALLIDES.

FOSSILES.

Ostéologie du *Rallus porzanoides* (A. Milne Edwards), espèce provenant du terrain miocène de Saint-Gérard le Puy (Allier).

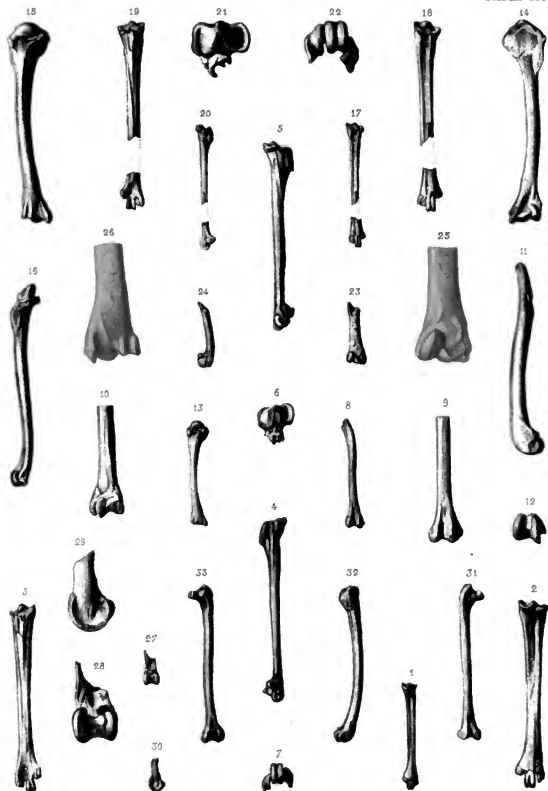
- FIG. 1. — Tarso-métatarsien vu par sa face antérieure, de grandeur naturelle.
- FIG. 2. — Le même, grossi.
- FIG. 3. — Face postérieure du même os.
- FIG. 4. — Face interne du même.
- FIG. 5. — Face externe du même.
- FIG. 6. — Extrémité articulaire supérieure vue en dessus.
- FIG. 7. — Extrémité articulaire inférieure vue en dessous.
- FIG. 8. — Fémur vu en avant, de grandeur naturelle.
- FIG. 9. — Le même os, grossi.
- FIG. 10. — Face postérieure du même.
- FIG. 11. — Face externe du même.
- FIG. 12. — Extrémité inférieure vue en dessous.
- FIG. 13. — Humérus vu par sa face postérieure, de grandeur naturelle.
- FIG. 14. — Le même, grossi et vu en avant.
- FIG. 15. — Face postérieure.
- FIG. 16. — Face interne du même os. (De ma collection.)

Ostéologie du *Rallus dispar* (A. Milne Edwards), espèce provenant du terrain miocène de Sansan (Gers).

- FIG. 17. — Tarso-métatarsien brisé vu en avant, de grandeur naturelle.
- FIG. 18. — Le même, grossi.
- FIG. 19. — Face postérieure du même os.
- FIG. 20. — Face externe du même os, de grandeur naturelle.
- FIG. 21. — Extrémité articulaire supérieure, vue en dessus et grossie.
- FIG. 22. — Extrémité articulaire inférieure, vue en dessous et grossie.
- FIG. 23. — Portion inférieure d'humérus vue en avant, de grandeur naturelle.
- FIG. 24. — Face interne du même os.
- FIG. 25. — Le même os, grossi et vu en avant.
- FIG. 26. — Face postérieure du même.
- FIG. 27. — Portion inférieure de tibia vue en avant, de grandeur naturelle.
- FIG. 28. — La même, grossie.
- FIG. 29. — Face interne du même os.
- FIG. 30. — Le même, de grandeur naturelle.

Ostéologie du *Rallus des genêts* (*Rallus erex*, Lin.), espèce vivante dont on a trouvé les débris dans les brèches de la vallée de Montmorency (Seine-et-Oise).

- FIG. 31. — Fémur vu par sa face antérieure, de grandeur naturelle.
- FIG. 32. — Face externe du même os.
- FIG. 33. — Face postérieure du même os.



Desmoulins 1850

VILLE DE LYON
Biblioth. du Palais des Arts

comp. Berquet, Paris

PLANCHE 106.

RALLIDES.

FOSSILES.

Ostéologie de la Poule d'eau ordinaire (*Gallinula chloropus*, Lin.), espèce aujourd'hui vivante, dont les débris ont été trouvés dans les tourbières de l'Essonne (Seine-et-Oise).

- FIG. 1. — Tarso-métatarsien vu par sa face antérieure, de grandeur naturelle.
- FIG. 2. — Face postérieure du même os.
- FIG. 3. — Face externe du même.
- FIG. 4. — Face interne du même.
- FIG. 5. — Extrémité articulaire supérieure, vue en dessus et grossie.
- FIG. 6. — Extrémité articulaire inférieure, vue en dessous et grossie.
- FIG. 7. — Humérus vu par sa face antérieure, de grandeur naturelle.
- FIG. 8. — Le même os, vu en dehors.
- FIG. 8^a. — Face postérieure du même os. (Ma collection.)

Ostéologie du Fouleux d'Europe (*Fulica atra*, Lin.), espèce aujourd'hui vivante, dont les débris ont été trouvés dans les tourbières des environs de Cambridge (Angleterre).

- FIG. 9. — Tarso-métatarsien vu par sa face antérieure, de grandeur naturelle.
- FIG. 10. — Face interne du même os.
- FIG. 11. — Extrémité articulaire supérieure, vue en dessus et grossie.
- FIG. 12. — Extrémité articulaire inférieure, vue en dessous et grossie.
- FIG. 13. — Tibia vu par sa face antérieure, de grandeur naturelle.
- FIG. 14. — Face postérieure du même os.
- FIG. 15. — Extrémité articulaire inférieure vue en dessous.
- FIG. 16. — Tibia et tarso-métatarsien vus par leur face interne. (Collection de M. Alf. Newton.)

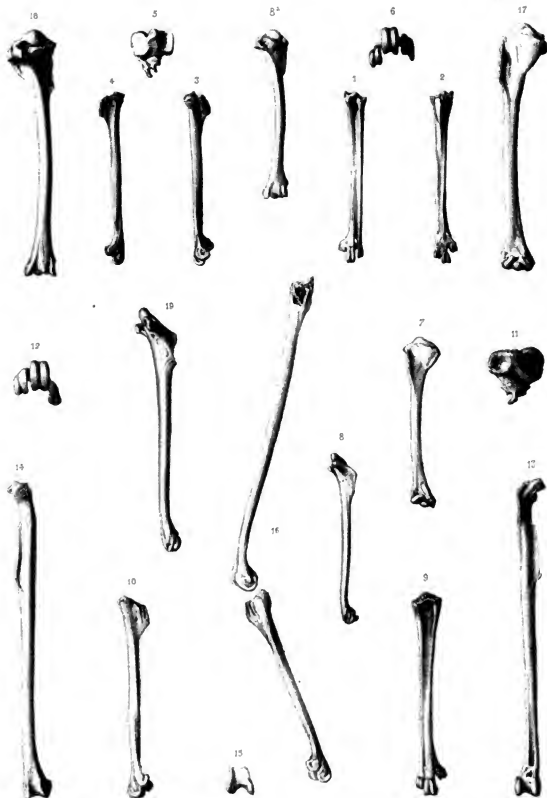


PLANCHE 107.

RALLIDES.

FOSSILES.

Ostéologie du *Falco Newtoni* (A. Milne Edwards), espèce éteinte provenant des terrains récents de l'île Maurice.

- FIG. 1. — Bassin vu de côté, de grandeur naturelle, ainsi que les figures suivantes.
- FIG. 2. — Face supérieure du même os.
- FIG. 3. — Face inférieure du même os.
- FIG. 4. — Bassin vu en avant et montrant les gouttières vertébrales.
- FIG. 5. — Tarso-métatarsien vu par sa face antérieure.
- FIG. 6. — Face postérieure du même os.
- FIG. 7. — Le même, vu par sa face externe.
- FIG. 8. — Portion inférieure du même os vue en dedans.
- FIG. 9. — Extrémité articulaire supérieure vue en dessus.
- FIG. 10. — Extrémité articulaire inférieure vue en dessous.
- FIG. 11. — Tibia vu par sa face antérieure.
- FIG. 12. — Face postérieure du même os.
- FIG. 13. — Face externe du même os.
- FIG. 14. — Portion supérieure vue en dedans.
- FIG. 15. — Extrémité articulaire inférieure vue en dessous.

(Ces pièces proviennent de la collection de MM. Newton.)



VELLEURION

Widely distributed in Asia

PLANCHE 108.

BALLIDES.

FOSSILES.

- FIG. 1. — *Fulica Newtonii* (A. Milne Edwards) des terrains récents de l'île Maurice, restitué d'après les os de la patte et le bassin.
- FIG. 2. — *Fulica Newtonii*, restitué d'après la description de Dubois.
- FIG. 3. — *Fulica cristata* d'Afrique (Lath).
- FIG. 4. — *Fulica atra* d'Europe (Lin).

(Toutes ces figures sont réduites dans les mêmes proportions.)



J. B. 1810

VILLE DE LYON
Biblioth. du Palais des Arts

Imp. Barquet a Paris

PLANCHE 109.

RALLIDES

FOSSILES.

Aphanapteryx Broeckel (Schlegel), oiseau qui vivait à l'île Maurice au **xvii^e** siècle, et qui, aujourd'hui, a cessé d'exister.

Cette figure est la réduction de celle qui a été publiée à Vienne par **M. de Frauenfeld**, d'après une peinture sur vélin appartenant à la bibliothèque particulière de l'empereur d'Autriche.



Imprimerie de Paris

VILLE DE PARIS
Bibliothèque du Collège des Arts

Imp. Bonquet Paris

PLANCHE 110.

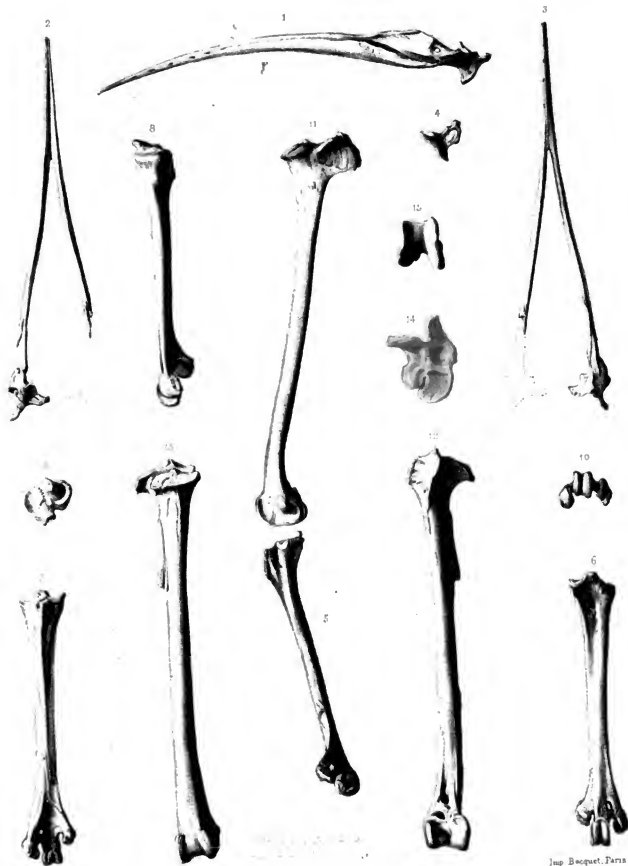
RALLIDES

FOSSILES.

Océologie de l'*Aphanapteryx Brunchet* (Schlegel), oiseau dont les ossements ont été trouvés dans les marais de l'île Maurice.

- FIG. 1. — Mandibule inférieure vue de côté, de grandeur naturelle, ainsi que les figures suivantes.
- FIG. 2. — La même, vue par sa face supérieure.
- FIG. 3. — Face inférieure de la même.
- FIG. 4. — Portion articulaire vue en arrière.
- FIG. 5. — Tarso-métatarsien vu par sa face interne.
- FIG. 6. — Face antérieure du même os.
- FIG. 7. — Face postérieure du même.
- FIG. 8. — Face externe du même.
- FIG. 9. — Extrémité articulaire supérieure vue en dessus.
- FIG. 10. — Extrémité articulaire inférieure vue en dessous.
- FIG. 11. — Tibia vu par sa face interne.
- FIG. 12. — Face antérieure du même os.
- FIG. 13. — Face postérieure du même.
- FIG. 14. — Extrémité articulaire supérieure vue en dessus.
- FIG. 15. — Extrémité articulaire inférieure vue en dessous.

(Ces pièces proviennent de la collection de MM. A. et Ed. Newson.)



Louveau 10h

Jap. Boquet, Paris.

PLANCHE 111.

GALLINACÉS.

Squelette du Taigalle de la Nouvelle-Hollande (*Cathetus Novæ-Hollandiæ*, Lath.),
individu femelle provenant d'Australie, moitié de grandeur naturelle.



Nouveau Zib

VILLE DE PARIS
BIBLIOTHÈQUE DES ARTS

Jap. Desquet. Paris

PLANCHE 112.

GALLINACÉS.

Squelette de l'*Ortalis vetula* (Wagler), individu mâle provenant du Mexique,
réduit de $\frac{1}{2}$ de la grandeur naturelle.



Louvreau Ath

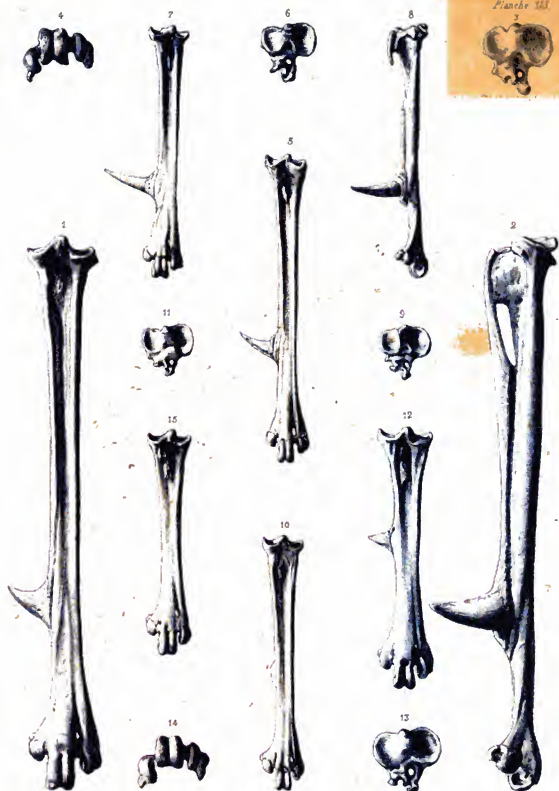
VILLE DE LYON
Bibliothèque des Arts

Imp. Barquet, Paris

PLANCHE 113.

GALLINACÉS.

- FIG. 1. — Tarso-métatarsien d'un *Paon apictère* mâle de Cochinchine (*Paon apicterus*, Vieillot), vu par sa face antérieure, de grandeur naturelle.
- FIG. 2. — Face interne du même os.
- FIG. 3. — Extrémité articulaire supérieure vue en dessus.
- FIG. 4. — Extrémité articulaire inférieure vue en dessous.
- FIG. 5. — Tarso-métatarsien du *Faisan Prélat* de Cochinchine, mâle (*Phasianus prelatus*, Bon.), vu par sa face antérieure, de grandeur naturelle.
- FIG. 6. — Extrémité articulaire supérieure vue en dessus, et un peu grossie.
- FIG. 7. — Tarso-métatarsien du *Coc de Sonnerat*, mâle, des Indes (*Gallus Sonnerati*, Temm.), vu par sa face antérieure, de grandeur naturelle.
- FIG. 8. — Face interne du même os.
- FIG. 9. — Extrémité articulaire supérieure vue en dessus et un peu grossie.
- FIG. 10. — Tarso-métatarsien d'un *Tragopan de Temminck*, mâle (*Satyra Temminckii*, G. Gr.), vu par sa face antérieure, de grandeur naturelle.
- FIG. 11. — Extrémité articulaire supérieure, vue en dessus et un peu grossie.
- FIG. 12. — Tarso-métatarsien d'un *Lophophore*, mâle (*Lophophorus impeyanus*, Lath.), vu par sa face antérieure, de grandeur naturelle.
- FIG. 13. — Extrémité articulaire supérieure vue en dessus, un peu grossie.
- FIG. 14. — Extrémité articulaire inférieure vue en dessous, un peu grossie.
- FIG. 15. — Os du pied d'une femelle de la même espèce vu par sa face antérieure, de grandeur naturelle.



Louveau lith

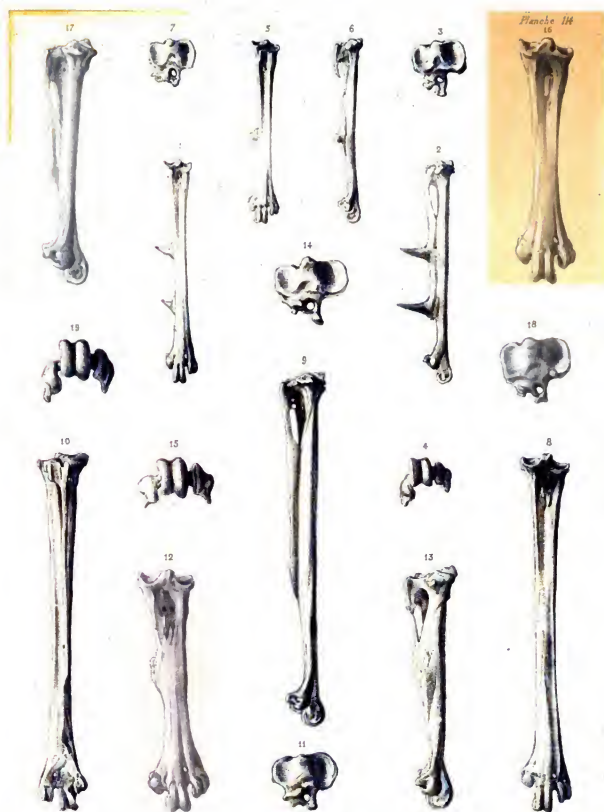
VILLE DE LYON
Biblioth. du Palais des Arts

Jasp. Bocquet, Paris

PLANCHE 114.

GALLINACÉS.

- FIG. 1. — Tarso-métatarsien d'un **Éperonnet** de Cochinchine, mâle (*Polyplectron Germani*, Elliot), vu par sa face antérieure, de grandeur naturelle.
- FIG. 2. — Face interne du même os.
- FIG. 3. — Extrémité articulaire supérieure, vue en dessus et un peu grossie.
- FIG. 4. — Extrémité articulaire inférieure, vue en dessous et un peu grossie.
- FIG. 5. — Tarso-métatarsien d'un **Francolin** mâle (*Francolinus Asie*, Bonaparte), vu par sa face antérieure, de grandeur naturelle.
- FIG. 6. — Face interne du même os.
- FIG. 7. — Extrémité articulaire supérieure, vue en dessus et un peu grossie.
- FIG. 8. — Tarso-métatarsien d'un **Argus** mâle (*Argusanus giganteus*, Temm.), vu par sa face antérieure, de grandeur naturelle.
- FIG. 9. — Face interne du même os.
- FIG. 10. — Face postérieure du même.
- FIG. 11. — Extrémité articulaire supérieure, vue en dessus et un peu grossie.
- FIG. 12. — Tarso-métatarsien d'un **Tétraogalle de l'Himalaya**, mâle (*Tetraogallus himalayensis*, Gr.), vu par sa face antérieure, de grandeur naturelle. (L'éperon a été scié.)
- FIG. 13. — Face interne du même os.
- FIG. 14. — Extrémité articulaire supérieure, vue en dessus et un peu grossie.
- FIG. 15. — Extrémité articulaire inférieure, vue en dessous et un peu grossie.
- FIG. 16. — Tarso-métatarsien du **grand Coq de bruyère**, mâle (*Tetrao urogallus*, Lin.), vu par sa face antérieure, de grandeur naturelle.
- FIG. 17. — Face interne du même os.
- FIG. 18. — Extrémité articulaire supérieure, vue en dessus et un peu grossie.
- FIG. 19. — Extrémité articulaire inférieure vue en dessous.



Comman. 184

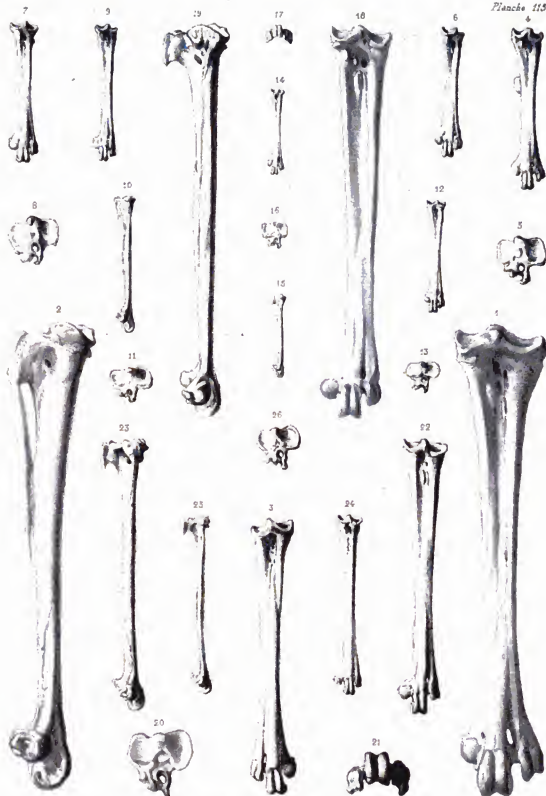
VILLE DE LYON
Biblioth. du Palais des Arts

Imp. Berquet, Paris.

PLANCHE 115.

GALLINACÉS.

- FIG. 1. — Tarso-métatarsien d'un **Bidon** commun, mâle (*Melengris gallopavo*, Lin.), vu de face, de grandeur naturelle.
- FIG. 2. — Face interne du même os.
- FIG. 3. — Tarso-métatarsien d'une **Pintade** d'Abyssinie (*Numida pitlorhyncha*, Lich.), vu par sa face antérieure.
- FIG. 4. — Le même os, vu de face, provenant d'une **Perdre grecque**, mâle (*Perdix græca*, Bélon).
- FIG. 5. — Extrémité articulaire supérieure, vue en dessus et grossie.
- FIG. 6. — Os du pied d'une **Perdre rouge** (*Perdix rubra*, Br.), vu par sa face antérieure.
- FIG. 7. — Os du pied d'une **Perdre Gambia** (*Perdix petrosa*, Licht.), vu par sa face antérieure.
- FIG. 8. — Extrémité articulaire supérieure, vue en dessus et grossie.
- FIG. 9. — Le même os, vu de face et provenant d'un **Boulout** mâle (*Cryptonyx cristatus*, Gmel.).
- FIG. 10. — Face interne du même.
- FIG. 11. — Extrémité articulaire supérieure, vue en dessus et grossie.
- FIG. 12. — Os du pied d'un **Colin de Californie**, mâle (*Ortyx californica*, Shaw), vu par sa face antérieure.
- FIG. 13. — Extrémité articulaire, vue en dessus et grossie.
- FIG. 14. — Os du pied d'une **Callie** (*Coturnix communis*, Bonnat.), vu par sa face antérieure.
- FIG. 15. — Face interne du même.
- FIG. 16. — Extrémité articulaire supérieure, vue en dessus et grossie.
- FIG. 17. — Extrémité articulaire inférieure, vue en dessous et grossie.
- FIG. 18. — Os du pied d'un **Meeco**, mâle (*Crao globicera*, Lin.), vu par sa face antérieure.
- FIG. 19. — Face interne du même os.
- FIG. 20. — Extrémité articulaire supérieure vue en dessus.
- FIG. 21. — Extrémité articulaire inférieure vue en dessous.
- FIG. 22. — Os du pied d'une **Pénelope** mâle (*Penelope morati*, Gmel.), vu par sa face antérieure.
- FIG. 23. — Face interne du même os.
- FIG. 24. — Os du pied d'une **Ortalide** (*Ortalida motmot*, Lin.).
- FIG. 25. — Face interne du même os.
- FIG. 26. — Extrémité articulaire supérieure, vue en dessus et grossie.



Leveau Ash

VILLE DE LYON
Bibliothèque des Arts

Imp. de J. B. G. L.

PLANCHE 116.

GALLINACÉS.

- FIG. 1. — Tibia d'un **Francois** (*Francoisus Asiæ*, Bonap.), vu par sa face antérieure, de grandeur naturelle.
- FIG. 2. — Le même os, vu par sa face interne.
- FIG. 3. — Tibia du **Coq de Sonnerat** (*Gallus Sonnerati*, Temm.), vu par sa face antérieure.
- FIG. 4. — Face interne du même os.
- FIG. 5. — Tibia d'une **Perdrix grecque** (*Perdix græca*, Bérôn.), vu en avant.
- FIG. 6. — Face interne du même os.
- FIG. 7. — Tibia d'un **Tetraogalle**, mâle (*Tetraogallus Himalayensis*, Gray), vu en avant.
- FIG. 8. — Extrémité articulaire inférieure vue en dessous.
- FIG. 9. — Tibia d'un **Coq de bruyère** (*Tetrao urogallus*, Lin.), vu en avant.
- FIG. 10. — Extrémité articulaire inférieure vue en dessous.
- FIG. 11. — Tibia d'une **Pénélope**, mâle (*Penelope morio*, Gmel.), vu en avant.
- FIG. 12. — Extrémité articulaire inférieure vue en dessous.



Louveau lith.

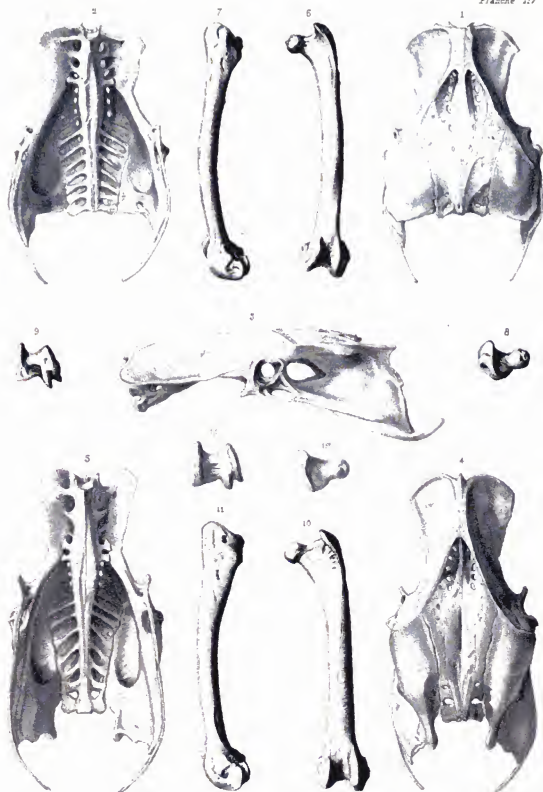
VILLE DE LYON
Biblioth. du Palais des Arts

Imp. Berquet, Paris.

PLANCHE 117.

GALLINACÉES.

- FIG. 1. — Bassin d'un **Tétras des Saules** (*Tetrao albus*, Lin., *Tetrao saliceti*, Temm.), vu en dessus, de grandeur naturelle.
- FIG. 2. — Face inférieure du même os.
- FIG. 3. — Bassin du **Coq de Nonnecrat** (*Gallus Sonnerati*, Temm.), vu de côté.
- FIG. 4. — Face supérieure du même.
- FIG. 5. — Face inférieure du même.
- FIG. 6. — Fémur du même oiseau vu en avant.
- FIG. 7. — Face externe du même os.
- FIG. 8. — Extrémité articulaire supérieure vue en dessus.
- FIG. 9. — Extrémité articulaire inférieure vue en dessous.
- FIG. 10. — Fémur d'un **Falcoan prélat**, mâle (*Phasianus prelati*, Bonap.), vu par sa face antérieure.
- FIG. 11. — Face externe du même os.
- FIG. 12. — Extrémité articulaire supérieure vue en dessus.
- FIG. 13. — Extrémité articulaire inférieure vue en dessous.



mus. 2th

VILLE DE LYON
Bibliothèque de la Faculté des Arts

Imp. Deshayes, Paris.

PLANCHE 118.

GALLINACÉS.

- FIG. 1. — Bassin d'un **Francolin**, mâle (*Francolinus Asie*, Bonap.), vu en dessus de grandeur naturelle.
- FIG. 2. — Face inférieure du même.
- FIG. 3. — Bassin d'une **Pénélope** (*Penelope obscura*, Illiger), vu de côté.
- FIG. 4. — Face supérieure du même.
- FIG. 5. — Face inférieure du même.
- FIG. 6. — Fémur du **Francolin** d'Asie, vu par sa face antérieure.
- FIG. 7. — Face externe du même os.
- FIG. 8. — Extrémité articulaire supérieure vue en dessus.
- FIG. 9. — Extrémité articulaire inférieure vue en dessous.
- FIG. 10. — Fémur de la **Pénélope obscure**, vu par sa face antérieure.
- FIG. 11. — Extrémité articulaire inférieure vue en dessous.

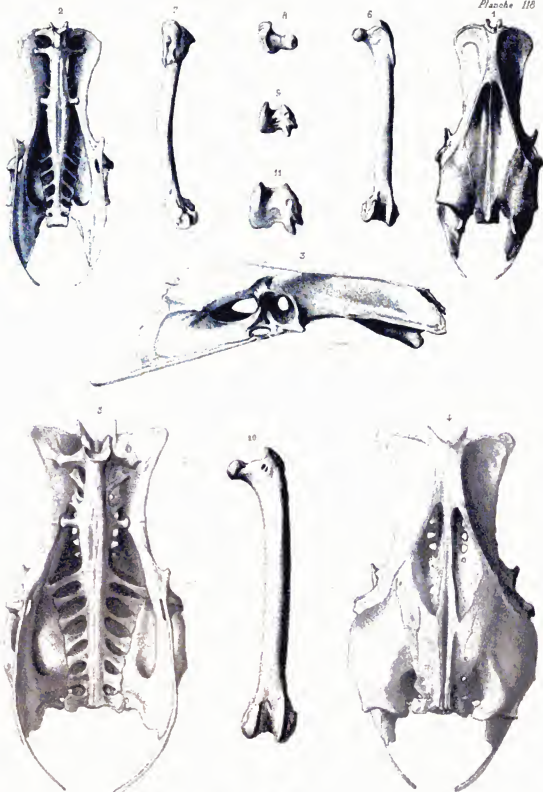


PLANCHE 119.

GALLINACÉS.

- FIG. 1. — Sternum d'un **Coccyz** *annularis* (Temm.), vu de côté, de grandeur naturelle.
- FIG. 2. — Face inférieure du même os.
- FIG. 3. — Le même, vu en avant et montrant la disposition des rainures coracoïdiennes.
- FIG. 4. — Sternum d'un **Tétraz** *scoticus*, mâle (*Tetrax scoticus*, Latham), vu par sa face inférieure.
- FIG. 5. — Portion antérieure du même.
- FIG. 6. — Os furculaire d'un **Dindon** ordinaire, mâle (*Meleagris Gallopavo*, Lin.), vu de côté et un peu réduit.
- FIG. 7. — Os furculaire d'une **Pénélope** (*Penelope obscura*, Illiger), vu par sa face postérieure.
- FIG. 8. — Le même os, vu de côté.
- FIG. 9. — Os furculaire du **Tétraz** *scoticus*, vu par sa face postérieure.
- FIG. 10. — Le même, vu de côté.
- FIG. 11. — Os furculaire d'un **Roucouli** (*Cryptonyx cristatus*, Gmel.), vu par sa face postérieure.
- FIG. 12. — Le même, vu de côté.
- FIG. 13. — Os coracoïdien d'un **Tragopan**, mâle (*Satyrus Temminckii*, Gray), vu par sa face antérieure.
- FIG. 14. — Face postérieure du même os.



De Meijere lith

VILLE DE LYON
Biblioth. du Muséum des Arts

Imp. Bécquet, Paris

PLANCHE 120.

GALLINACÉS.

- FIG. 1. — Sternum de la **Perdrix grise** (*Perdix cinerea*, Lath.), vu par sa face inférieure, de grandeur naturelle.
- FIG. 2. — Sternum du **Colin de Californie** (*Ortyx Californica*, Shaw.), vu par sa face inférieure.
- FIG. 3. — Sternum d'une **Pénélope** (*Penelope obscura*, Illiger), vu de côté.
- FIG. 4. — Face inférieure du même.
- FIG. 5. — Portion antérieure du même, montrant la disposition des rainures coracoidiennes.
- FIG. 6. — Coracoidien du même oiseau, vu par sa face antérieure.
- FIG. 7. — Face postérieure du même os.
- FIG. 8. — Coracoidien d'un **Paon apicifère** (*Paon apiciferus*, Vieil.), vu par sa face antérieure et un peu réduit.
- FIG. 9. — Face postérieure du même os.
- FIG. 10. — Omoplate d'un **Tétras d'écosse** (*Tetrao scoticus*, Lath.), vue en dessus.
- FIG. 11. — Face inférieure du même os.
- FIG. 12. — Omoplate d'un **Coq de Sonnerat** (*Gallus Sonnerati*, Tem.), vue en dessus.
- FIG. 13. — Face inférieure du même os.
- FIG. 14. — Omoplate de la **Pénélope obscure**, vue en dessus.
- FIG. 15. — Face inférieure du même os.



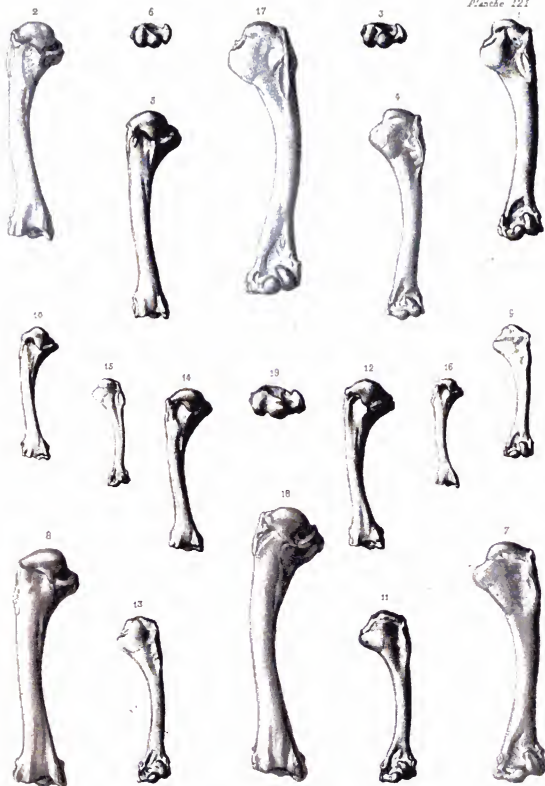
Louveau lith

Loup Bocquet, Paris

PLANCHE 121.

GALLINACÉS.

- FIG. 1. — Humérus d'un **Coc de Nonnerat** (*Gallus Sonnerati*, Tem.), vu par sa face antérieure, de grandeur naturelle.
- FIG. 2. — Face inférieure du même.
- FIG. 3. — Extrémité articulaire inférieure vue en dessous.
- FIG. 4. — Humérus d'un **Tétras d'Écosse** (*Tetrao scoticus*, Lath.), vu par sa face antérieure.
- FIG. 5. — Face postérieure du même os.
- FIG. 6. — Extrémité articulaire supérieure vue en dessous.
- FIG. 7. — Humérus d'un **Falcoen Prémis**, mâle (*Phasianus praelatus*, Bonap.), vu en avant.
- FIG. 8. — Face postérieure du même os.
- FIG. 9. — Humérus d'un **Boulon**, mâle (*Cryptonyx cristatus*, Gmel.), vu en avant.
- FIG. 10. — Face postérieure du même os.
- FIG. 11. — Humérus d'une **Perdrix grecque**, mâle (*Perdix græca*, Bérn.), vu en avant.
- FIG. 12. — Face postérieure du même os.
- FIG. 13. — Humérus d'une **Perdrix Gambra**, mâle (*Perdix petrus*, Lath.), vu en avant.
- FIG. 14. — Face postérieure du même os.
- FIG. 15. — Humérus d'un **Colin de Californie**, mâle (*Ortyx Californica*, Shaw).
- FIG. 16. — Face postérieure du même os.
- FIG. 17. — Humérus d'une **Pénélope** (*Penelope marail*, Gmel.), vu en avant.
- FIG. 18. — Face postérieure du même os.
- FIG. 19. — Extrémité articulaire inférieure vue en dessous.



L'œuvre de l'Art

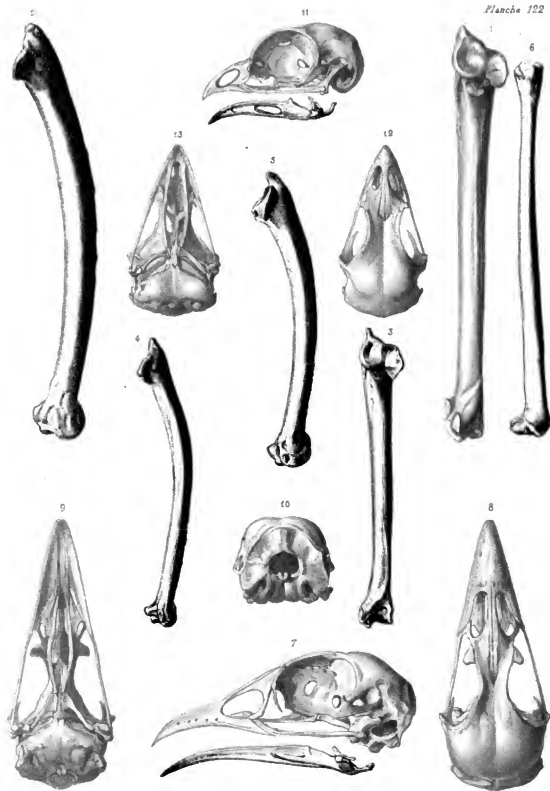
VILLE DE L'ART
Musée de l'Art et de l'Industrie

Sup. Recueil. Paris

PLANCHE 122.

GALLINACÉS,

- FIG. 1. — Cubitus d'un **Faon spicifère**, mâle (*Pavo spiciferus*, Vieillot), vu par sa face antérieure, de grandeur naturelle.
- FIG. 2. — Face externe du même os.
- FIG. 3. — Cubitus d'un **Lophophore**, mâle (*Lophophorus impeyanus*, Lath.), vu en avant.
- FIG. 4. — Face externe du même os.
- FIG. 5. — Cubitus d'une **Pénelope** (*Penelope marail*, Gmel.), vu par sa face externe.
- FIG. 6. — Radius d'un **Faon spicifère**, vu par sa face antérieure.
- FIG. 7. — Tête osseuse d'un **Lophophore**, femelle, vue de côté.
- FIG. 8. — Face supérieure de la même.
- FIG. 9. — Face inférieure de la même.
- FIG. 10. — Crâne vu par sa face postérieure.
- FIG. 11. — Tête osseuse d'un **Tétras d'Écosse** (*Tetrao scoticus*, Lath.), vue de côté.
- FIG. 12. — Face supérieure de la même.
- FIG. 13. — Face inférieure de la même.



Leveillé del.

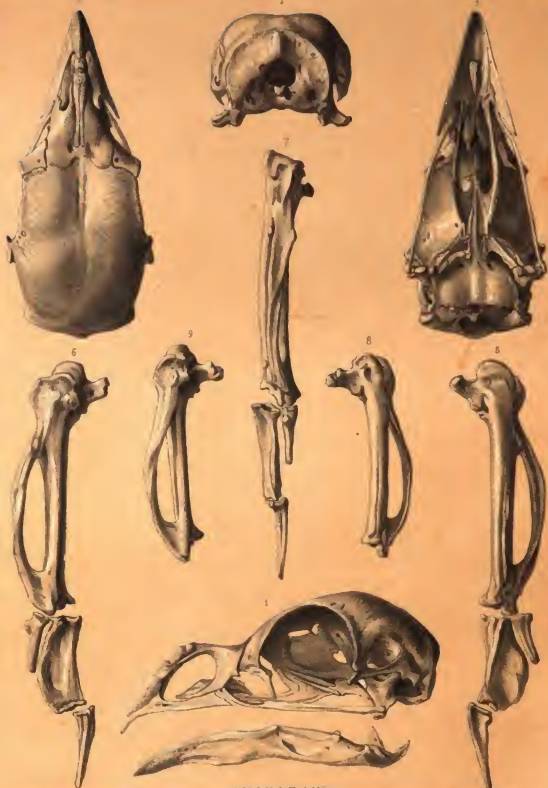
VILLE DE LYON
Biblioth. du Palais des Arts

Imp. Dequet Paris

PLANCHE 123.

GALLINACÉS.

- FIG. 1. — Tête osseuse d'un **Hocco**, mâle (*Crax globicera*, Lin.), vue de côté, de grandeur naturelle.
- FIG. 2. — Face supérieure de la même.
- FIG. 3. — Face inférieure de la même.
- FIG. 4. — Crâne vu par sa face postérieure.
- FIG. 5. — Portion terminale de l'aile d'un **Panon apicifère**, femelle (*Pano apiciferus*, Vieillot), vue par sa face antérieure.
- FIG. 6. — La même, vue par sa face interne.
- FIG. 7. — Le métacarpe, vu par sa face postérieure.
- FIG. 8. — Métacarpe d'un **Hocco globicère**, vu par sa face externe.
- FIG. 9. — Face interne du même os.



VILLE DE LYON

Biblioth. du Palais des Arts

PLANCHE 124.

GALLINACÉS

FOSSILES.

Squelette d'un oiseau que M. P. Gervais avait désigné sous le nom de *Tringa?*
Hoffmanni, mais que je crois devoir ranger dans la famille des Gallinacés, sous le
nom de ***Falscortyx Hoffmanni***.

Cette espèce provient du gypse des environs de Paris.



De Meuse lib.

VILLEFAYON
Biblioth. du Palais des Arts

Imp. Berquet Paris

PLANCHE 125.

GALLINACÉS

FOSSILES.

- FIG. 1. — Squelette presque complet d'un oiseau provenant du gypse des environs de Paris, et que je crois être un *Palaeortyx Hoffmanni* (voyez pl. 124).
FIG. 2. — Mandibule inférieure de *Palaeortyx*? provenant du gypse de Montmartre.
FIG. 3. — Os furculaire appartenant probablement à un oiseau de la famille des Gallinacés, et provenant du gypse des environs de Paris.



Fig. 1. 2. 3.

VILLE DE LYON
Biblioth. du Palais des Arts

Imp. Bachelier, Paris

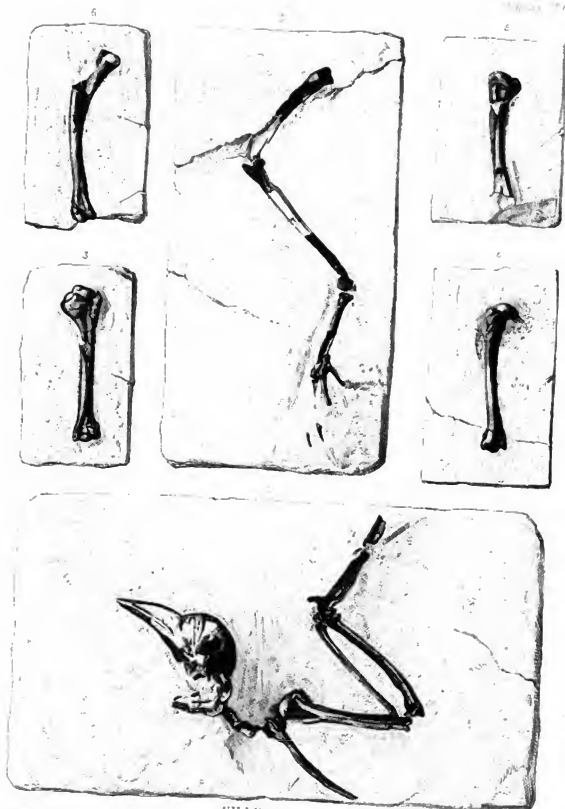
PLANCHE 126.

GALLINACÉS

FOSSILES.

- FIG. 1. — Portion du squelette du *Falcocoryx Blanchardi* (A. Milne Edwards), espèce fossile du gypse des environs de Paris (de grandeur naturelle, ainsi que les figures suivantes).
- FIG. 2. — Patte entière appartenant probablement au *Falcocoryx Hoffmanni*, provenant du gypse des environs de Paris.
- FIG. 3. — Humérus du *Falcocoryx Blanchardi*, vu par sa face antérieure.
- FIG. 4. — Autre humérus vu par sa face postérieure.
- FIG. 5. — Humérus de la même espèce.
- FIG. 6. — Humérus incomplet provenant d'un oiseau du même groupe, mais de taille plus considérable que le précédent.

(De la collection du Muséum.)



VILLE DE LYON
Musée du Palais des Arts

Jug. Rouquet Paris

PLANCHE 127

GALLINACES

FOSILES.

Squelette presque complet du **Troperdia Pessleti** (A. Milne Edwards), **Tetrno ? Pessleti** (P. Gervais), provenant d'Armissan (Aude).

Cette pièce, représentée ici de grandeur naturelle, fait partie de la collection de M. Pessieto à Narbonne.



Louveau 1870

VILLE DE LYON
Biblioth. du Palais des Arts

Lap. Bourquet Paris

PLANCHE 128.

GALLINACÉS

FOSSILES.

Osselette reconstituée du *Palaeortyx gallies* (A. Milne Edwards), oiseau fossile
provenant des terrains tertiaires du département de l'Allier.

Les parties ombrées sont seules connues; les parties au trait n'ont pas été rencontrées



PLANCHE 129.

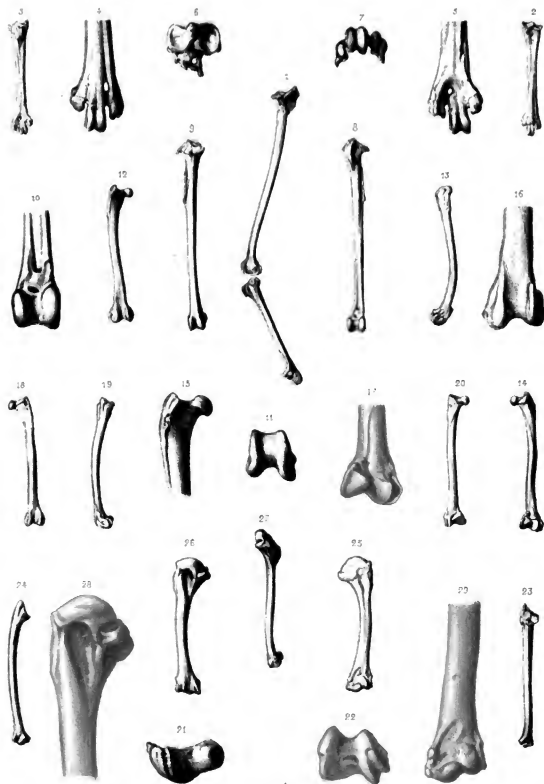
GALLINACÉS.

FOSSILES.

Ostéologie du *Palaeortyx gallien* (A. Milne Edwards), oiseau provenant des terrains tertiaires moyens de l'Allier.

- FIG. 1. — Portion de la patte vue par sa face interne, de grandeur naturelle.
FIG. 2. — Tarso-métatarsien vu par devant.
FIG. 3. — Face postérieure du même os.
FIG. 4. — Portion inférieure du même, vue par sa face antérieure et grossie.
FIG. 5. — La même, vue par sa face postérieure et grossie.
FIG. 6. — Extrémité articulaire supérieure, vue en dessus et grossie.
FIG. 7. — Extrémité articulaire inférieure, vue en dessous et grossie.
FIG. 8. — Tibia vu par devant, de grandeur naturelle.
FIG. 9. — Face postérieure du même os.
FIG. 10. — Extrémité inférieure du même, grossie.
FIG. 11. — Extrémité articulaire inférieure, vue en dessous et grossie.
FIG. 12. — Fémur vu par devant, de grandeur naturelle.
FIG. 13. — Face externe du même os.
FIG. 14. — Face postérieure du même.
FIG. 15. — Portion supérieure grossie.
FIG. 16. — Portion inférieure, vue en avant et grossie.
FIG. 17. — Face postérieure de la même.
FIG. 18. — Fémur de plus petite taille, provenant peut-être d'une femelle de *Palaeortyx gallien*, de grandeur naturelle.
FIG. 19. — Face externe du même.
FIG. 20. — Face postérieure du même.
FIG. 21. — Extrémité articulaire supérieure, vue en dessus et grossie.
FIG. 22. — Extrémité articulaire inférieure, vue en dessous et grossie.
FIG. 23. — Cubitus vu par sa face externe, de grandeur naturelle.
FIG. 24. — Face interne du même os.
FIG. 25. — Humérus vu en avant, de grandeur naturelle.
FIG. 26. — Face postérieure du même os.
FIG. 27. — Face interne du même.
FIG. 28. — Extrémité supérieure vue par sa face postérieure, grossie.
FIG. 29. — Extrémité inférieure vue par sa face antérieure, grossie.

(Ces pièces proviennent de ma collection.)



L. Nouveau

Imp. Desgout Paris

PLANCHE 130.

GALLINACÉS.

FOSSILES.

Ostéologie du *Palmortyx brevipes* (A. Milne Edwards), oiseau provenant du terrain tertiaire moyen du département de l'Allier.

- FIG. 1. — Tarso-métatarsien vu par sa face antérieure, de grandeur naturelle.
- FIG. 2. — Face postérieure du même os.
- FIG. 3. — Face externe du même.
- FIG. 4. — Extrémité inférieure, vue en avant et grossie.
- FIG. 5. — Face postérieure de la même.
- FIG. 6. — Extrémité articulaire supérieure vue en dessus.
- FIG. 7. — Extrémité articulaire inférieure vue en dessous.
- FIG. 7^a. — Fémur vu par sa face antérieure, de grandeur naturelle.
- FIG. 8. — Face externe du même os.
- FIG. 9. — Le même, grossi et vu en avant.
- FIG. 10. — Le même, vu par sa face postérieure.
- FIG. 11. — Extrémité articulaire inférieure vue en dessous.
- FIG. 12. — Humérus vu en avant, de grandeur naturelle.
- FIG. 13. — Face postérieure du même.
- FIG. 13^a. — Cubitus vu par sa face antérieure, de grandeur naturelle.
- FIG. 13^b. — Face interne du même os.
- FIG. 14. — Face externe du même.
- FIG. 15. — Le même os, vu en avant et grossi.
- FIG. 16. — Face postérieure du même.
- FIG. 17. — Coracoïdien, vu par sa face antérieure, de grandeur naturelle.
- FIG. 18. — Face postérieure du même.
- FIG. 19. — Le même os, grossi et vu en avant.
- FIG. 20. — Le même, vu en arrière.
- FIG. 21. — Le même, vu par sa face interne.
- FIG. 21^a. — Tibia vu en avant, de grandeur naturelle.
- FIG. 21^b. — Face interne du même os.

Ostéologie du *Palmortyx phasianoides* (A. Milne Edwards), oiseau provenant du terrain tertiaire moyen du département de l'Allier.

- FIG. 22. — Portion supérieure de l'omoplate vue par sa face supérieure, de grandeur naturelle.
- FIG. 23. — Le même os, vu par sa face inférieure.
- FIG. 24. — Le même, vu par sa face interne.
- FIG. 25. — Portion articulaire, grossie.
- FIG. 26. — Humérus vu en avant.
- FIG. 27. — Le même, vu par sa face externe.

Ostéologie du *Palmoperdix longipes* (A. Milne Edwards), oiseau provenant du terrain tertiaire de Sansan (Gers).

- FIG. 28. — Portion supérieure du tarso-métatarsien vu en avant, de grandeur naturelle.
- FIG. 29. — Le même os, vu par sa face postérieure.
- FIG. 30. — Face interne du même.
- FIG. 31. — Extrémité articulaire supérieure, vue en dessus et grossie.

(Ces pièces, à l'exception de celles représentées fig. 28 à 31, proviennent de ma collection.)



VILLE DE LYON
Bibliothèque du Palais des Arts

Imp. des press. Paris

PLANCHE 131.

GALLINACÉS.

FOSSILES.

Ostéologie du *Palaeoperdix ples* (A. Milne Edwards), oiseau provenant du terrain tertiaire moyen de Sansan (Gers).!

- FIG. 1. — Portion supérieure de tarso-métatarsien vue en avant, de grandeur naturelle.
- FIG. 2. — Face postérieure du même os.
- FIG. 3. — Face interne du même.
- FIG. 4. — Extrémité articulaire supérieure, vue en dessus et grossie.
- FIG. 5. — Portion du tibia vu en avant, de grandeur naturelle.
- FIG. 6. — Face postérieure du même.
- FIG. 7. — Face externe du même.
- FIG. 8. — Le même os, grossi.
- FIG. 9. — Portion d'os furculaire, de grandeur naturelle.
- FIG. 10. — Le même, grossi.
- FIG. 11. — Portion inférieure d'humérus vue en avant, de grandeur naturelle.
- FIG. 12. — Face postérieure du même os.
- FIG. 13. — Le même, grossi et vu en avant.
- FIG. 14. — Le même, vu par sa face postérieure.
- FIG. 15. — Coracoidien vu en avant.
- FIG. 16. — Face postérieure du même os.
- FIG. 17. — Face interne du même.

Ostéologie du *Palaeoperdix sansanensis* (A. Milne Edwards), oiseau provenant du terrain tertiaire moyen de Sansan (Gers).

- FIG. 18. — Portion inférieure de tibia vue en avant, de grandeur naturelle.
- FIG. 19. — La même grossie.
- FIG. 20. — Face externe du même os.
- FIG. 21. — Face postérieure du même.
- FIG. 22. — Le même grossi.
- FIG. 23. — Extrémité articulaire inférieure vue en dessous.

Ostéologie du *Phasianus medius* (A. Milne Edwards), oiseau provenant du terrain tertiaire moyen de Sansan (Gers).

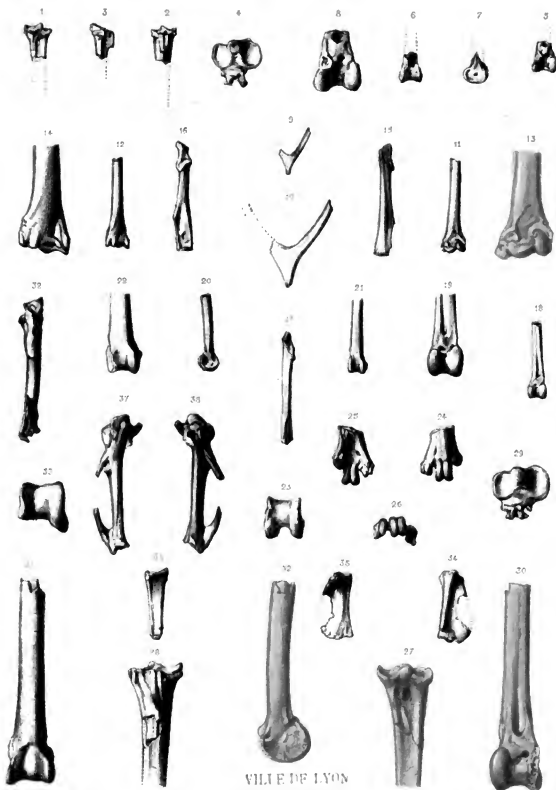
- FIG. 24. — Portion inférieure de tarso-métatarsien vue en avant, de grandeur nat.
- FIG. 25. — Face postérieure du même.
- FIG. 26. — Extrémité articulaire vue en dessous.

Ostéologie du *Phasianus albus* (A. Milne Edwards), oiseau provenant de Sansan (Gers).

- FIG. 27. — Portion supérieure de tarso-métatarsien vue en avant, de grandeur nat.
- FIG. 28. — Face postérieure du même os.
- FIG. 29. — Extrémité articulaire supérieure vue en dessus.
- FIG. 30. — Portion inférieure du tibia vue en avant, de grandeur naturelle.
- FIG. 31. — Face postérieure du même.
- FIG. 32. — Le même, vu par sa face externe.
- FIG. 33. — Extrémité articulaire inférieure vue en dessous.
- FIG. 34. — Première phalange du doigt médian vue en dehors.
- FIG. 35. — Face interne du même os.
- FIG. 36. — Face antérieure du même.

Ostéologie du *Phasianus Desnoyersi* (A. Milne Edwards), oiseau provenant du terrain tertiaire moyen de l'Orléanais.

- FIG. 37. — Os métacarpien vu par sa face externe, de grandeur naturelle.
- FIG. 38. — Face interne du même os.
- FIG. 39. — Face postérieure du même.



VILLE DE LYON
Biblioth. du Conseil des Arts

Imp. Bachelier Paris

PLANCHE 132.

GALLINACÉS.

FOSSILES.

Squelette reconstitué du Tétraz des Sables (*Tetrao albus*, Lin., *Tetrao saliceti*, Tem.),
provenant des cavernes à ossements du Périgord.



Bureau 1111

Imp. Dequet Paris

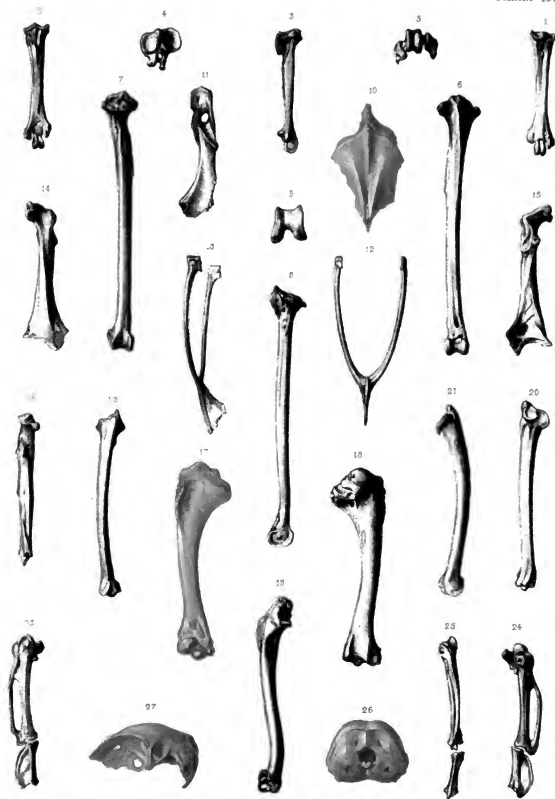
PLANCHE 133.

GALLINACÉS.

FOSSILES.

Ouicologie du Tétraa des Naules (*Tetrao albus*, Lin.), provenant des cavernes
à ossements du Périgord.

- FIG. 1. — Tarso-métatarsien vu par sa face antérieure, de grandeur naturelle.
- FIG. 2. — Face postérieure du même os.
- FIG. 3. — Face interne du même.
- FIG. 4. — Extrémité articulaire supérieure, vue en dessus et grossie.
- FIG. 5. — Extrémité articulaire inférieure, vue en dessous et grossie.
- FIG. 6. — Tibia vu par sa face antérieure, de grandeur naturelle.
- FIG. 7. — Face postérieure du même os.
- FIG. 8. — Face interne du même.
- FIG. 9. — Extrémité articulaire inférieure, vue en dessous et grossie.
- FIG. 10. — Portion antérieure du sternum vue en avant.
- FIG. 11. — La même, vue de côté.
- FIG. 12. — Os furculaire vu en arrière.
- FIG. 13. — Le même, vu de côté.
- FIG. 14. — Coracoidien vu par sa face antérieure.
- FIG. 15. — Face postérieure du même os.
- FIG. 16. — Face interne du même.
- FIG. 17. — Humérus vu en avant.
- FIG. 18. — Face postérieure du même os.
- FIG. 19. — Face interne du même.
- FIG. 20. — Cubitus vu par sa face antérieure.
- FIG. 21. — Face externe du même os.
- FIG. 22. — Face postérieure du même.
- FIG. 23. — Métacarpe et première phalange vus par leur face externe
- FIG. 24. — Face interne des mêmes os.
- FIG. 25. — Face postérieure des mêmes.
- FIG. 26. — Crâne vu par sa face occipitale.
- FIG. 27. — Le même, vu de côté.



Desmoulin 1868

VILLEUR L'YON
Muséum du Palais des Arts

Imp. Berquet Paris

PLANCHE 134.

GALLINACÉS.

FOSSILES.

Ostéologie du Lagopède (*Tetrao lagopus*, Linn.), provenant des cavernes à ossements du midi de la France.

- FIG. 1. — Tarso-métatarsien vu par sa face antérieure, de grandeur naturelle.
FIG. 2. — Face postérieure du même os.
FIG. 3. — Face interne du même.
FIG. 4. — Extrémité articulaire supérieure, vue en dessus et grossie.
FIG. 5. — Extrémité articulaire inférieure, vue en dessous et grossie.
FIG. 6. — Tibia vu par sa face antérieure.
FIG. 7. — Face postérieure du même os.
FIG. 8. — Face interne du même.
FIG. 9. — Extrémité articulaire inférieure, vue en dessous et grossie.
FIG. 10. — Humérus vu en avant.
FIG. 11. — Face postérieure du même os.
FIG. 12. — Humérus provenant probablement du *Tetrao d'Écosse* (*Tetrao scoticus*, Latham.), vu par sa face antérieure et de grandeur naturelle.

Ostéologie du grand Coq de bruyère (*Tetrao urogallus*, Linn.), provenant des cavernes à ossements du midi de la France.

- FIG. 13. — Tarso-métatarsien vu par sa face antérieure, de grandeur naturelle.
FIG. 14. — Face postérieure du même os.
FIG. 15. — Extrémité articulaire supérieure vue en dessus.
FIG. 16. — Extrémité articulaire inférieure vue en dessous.
FIG. 17. — Tibia vu en avant, de grandeur naturelle.
FIG. 18. — Face interne du même os.

Ostéologie du Coq provenant de la caverne de L'Herm.

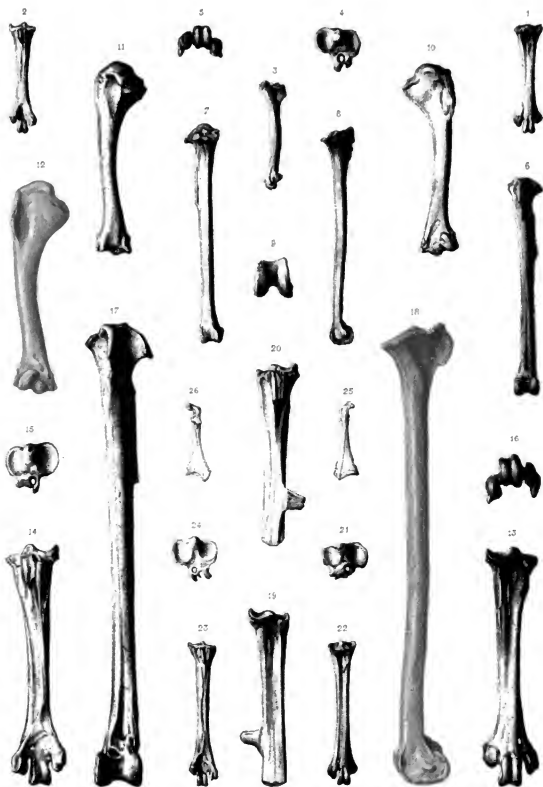
- FIG. 19. — Tarso-métatarsien vu par sa face antérieure.
FIG. 20. — Face postérieure du même os.
FIG. 21. — Extrémité articulaire supérieure vue en dessus.

Ostéologie de la Perdrix grise (*Perdix grisea*, Linn.), provenant des cavernes à ossements de Lourdes (Hautes-Pyrénées).

- FIG. 22. — Tarso-métatarsien vu en avant, de grandeur naturelle.
FIG. 23. — Face postérieure du même os.
FIG. 24. — Extrémité articulaire supérieure, vue en dessus et grossie.

Ostéologie de la Caille (*Coturnix communis*, Bonat.), provenant des brèches à ossements de Montmorency (Seine-et-Oise).

- FIG. 25. — Coracoidien vu par sa face antérieure.
FIG. 26. — Face postérieure du même os.



Laurens 181

VILLI DE L'ION
BIBLIOTHÈQUE DE LA FACULTÉ DE MÉDECINE

Imp. de la Presse

PLANCHE 135.

COLIMBIDES.

Squelette d'une Colombe carpophage (*Carpophaga ana, Linn.*), individu mâle
provenant de Cochinchine.

(Très-peu réduit.)



L. JOURNAU del.

Jap. Desportes Paris

VILLE DE LYON
Bibliothèque des Sciences et des Arts

PLANCHE 136.

COLOMBIDES.

**Squelette du *Pterocles aemularius* (Pallas) d'Algérie, individu mâle,
de grandeur naturelle.**



L. Moreau del.

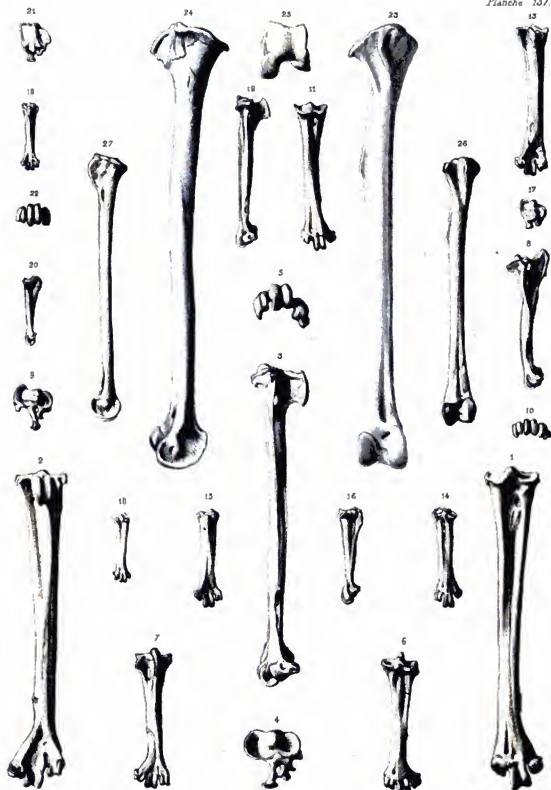
VILLE DE LYON
Musée de l'histoire naturelle

Imp. Berquet, Paris.

PLANCHE 137.

COLOMBIDES.

- FIG. 1. — Tarso-métatarsien d'un *Goura couronné* (*Goura coronata*, Lin.), mâle, vu par sa face antérieure, de grandeur naturelle.
- FIG. 2. — Face postérieure du même os.
- FIG. 3. — Face interne du même.
- FIG. 4. — Extrémité articulaire supérieure vue en dessus.
- FIG. 5. — Extrémité articulaire inférieure vue en dessous.
- FIG. 6. — Tarso-métatarsien du *Serresius galentus* (Bonaparte), vu par sa face antérieure.
- FIG. 7. — Face postérieure du même os.
- FIG. 8. — Face interne du même.
- FIG. 9. — Extrémité articulaire supérieure vue en dessus.
- FIG. 10. — Extrémité articulaire inférieure vue en dessous.
- FIG. 11. — Tarso-métatarsien du *Pigeon nicobar* (*Columba (calenas) nicobârica*, Lin.) vu par sa face antérieure.
- FIG. 12. — Face interne du même os.
- FIG. 13. — Face postérieure du même.
- FIG. 14. — Tarso-métatarsien du *Pterocles hiematus* (Temm.), vu par sa face antérieure.
- FIG. 15. — Face postérieure du même os.
- FIG. 16. — Face interne du même.
- FIG. 17. — Extrémité articulaire supérieure vue en dessus.
- FIG. 18. — Tarso-métatarsien du *Syrhaptes paradoxus* (*Syrhaptes paradoxus*, Illig.), vu par sa face antérieure.
- FIG. 19. — Face postérieure du même os.
- FIG. 20. — Face interne du même.
- FIG. 21. — Extrémité articulaire supérieure, vue en dessus et un peu grossie.
- FIG. 22. — Extrémité articulaire inférieure, vue en dessous et un peu grossie.
- FIG. 23. — Tibia du *Goura couronné*, vu par sa face antérieure.
- FIG. 24. — Face interne du même os.
- FIG. 25. — Extrémité articulaire supérieure vue en dessus.
- FIG. 26. — Tibia du *Serresius galentus*, vu par sa face antérieure.
- FIG. 27. — Face interne du même os.



Leveaux 20th

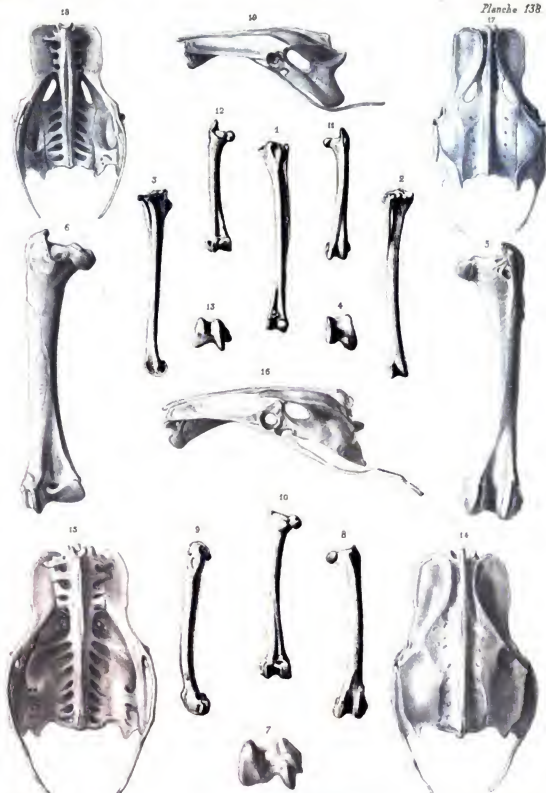
Bibl. du Collège des Arts

Imp. Nequet. Paris

PLANCHE 138.

COLOMBIDES.

- FIG. 1. — Tibia et péroné du *Pterocles bitorquatus* (Temm.), vus par leur face antérieure de grandeur naturelle, ainsi que les figures suivantes.
- FIG. 2. — Les mêmes os, vus par leur face postérieure.
- FIG. 3. — Face interne du tibia.
- FIG. 4. — Extrémité articulaire inférieure, vue en dessous et un peu grossie.
- FIG. 5. — Fémur du *Goura couronné* (*Goura coronata*, Lin.), vu par sa face antérieure.
- FIG. 6. — Face postérieure du même os.
- FIG. 7. — Extrémité articulaire inférieure vue en dessous.
- FIG. 8. — Fémur de la *Carpophaga senca* (Lin.), vu par sa face antérieure.
- FIG. 9. — Face externe du même os.
- FIG. 10. — Face postérieure du même os.
- FIG. 11. — Fémur du *Syrhaptes paradoxus* (Illig.), vu par sa face antérieure.
- FIG. 12. — Face postérieure du même os.
- FIG. 13. — Extrémité articulaire inférieure, vue en dessous et un peu grossie.
- FIG. 14. — Bassin de la *Carpophaga senca* (Linn.), vu par sa face supérieure.
- FIG. 15. — Face inférieure du même.
- FIG. 16. — Le même, vu de côté.
- FIG. 17. — Bassin du *Syrhaptes paradoxus* (Illig.), vu par sa face supérieure.
- FIG. 18. — Face inférieure du même os.
- FIG. 19. — Le même, vu de côté.



Louveau del.

VILLE DE LYON
Bibliothèque du Palais des Arts

Imp. Berquet, Paris

PLANCHE 139.

COLOMBIDES.

- FIG. 1. — Sternum, coracoidien et os furculaire du *Phaeorhina Gollisch* (G. R. Gray), vus par leur face inférieure, de grandeur naturelle, ainsi que les figures suivantes.
- FIG. 2. — Portion articulaire du sternum.
- FIG. 3. — Sternum, coracoidien et os furculaire du *Syrhaptes paradoxus* (Illig.), vus par leur face inférieure.
- FIG. 4. — Portion articulaire du sternum.
- FIG. 5. — Coracoidien de la *Carpophaga senca* (Linn.), vu par sa face inférieure.
- FIG. 6. — Face supérieure du même os.
- FIG. 7. — Coracoidien du *Calceana alcoharia* (Linn.), vu par sa face inférieure.
- FIG. 8. — Face supérieure du même os.
- FIG. 9. — Coracoidien du *Pteroctes arenarius* (Pallas), vu par sa face inférieure.
- FIG. 10. — Face interne du même os.
- FIG. 11. — Coracoidien du *Syrhaptes paradoxus*, vu par sa face inférieure.
- FIG. 12. — Face interne du même os.
- FIG. 13. — Omoplate de la *Carpophaga senca*, vue en dessus.
- FIG. 14. — Face inférieure du même os.
- FIG. 15. — Humérus du *Goura couronné* (*Goura coronata*, Linn.), vu par sa face antérieure.
- FIG. 16. — Face postérieure du même os.
- FIG. 17. — Humérus de la *Carpophaga senca*, vu par sa face antérieure.
- FIG. 18. — Face postérieure du même os.



Leveque del.

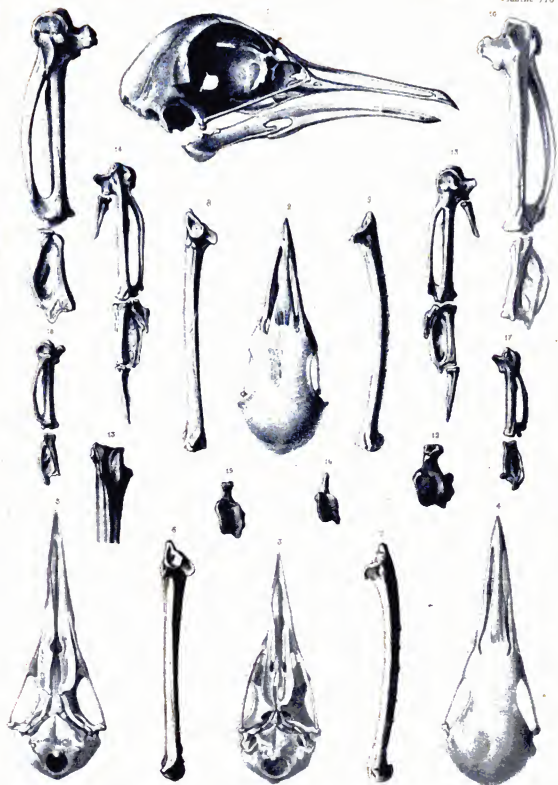
Imp. Decquet, Paris

PLANCHE 140.

COLOMBIDES.

- FIG. 1. — Tête osseuse du *Goura couronné* (*Goura coronata*, Linn.), vue de côté, de grandeur naturelle, ainsi que les figures suivantes.
- FIG. 2. — Tête osseuse d'un *Carpophage* (*Carpophaga aeneo*, Linn.), vue en dessus.
- FIG. 3. — Face inférieure de la même.
- FIG. 4. — Tête osseuse du *Serresius galentus* (Bonap.), vu par sa face supérieure.
- FIG. 5. — Face inférieure de la même.
- FIG. 6. — Cubitus de la *Carpophaga aeneo*, vu par sa face antérieure.
- FIG. 7. — Face externe du même os.
- FIG. 8. — Cubitus du *Pigeon nicobar* (*Caloenas nicobarica*, Linn.), vu par sa face antérieure.
- FIG. 9. — Face externe du même os.
- FIG. 10. — Métacarpien et première phalange de l'aile du *Goura*, vus par leur face externe.
- FIG. 11. — Les mêmes, vus par leur face interne.
- FIG. 12. — Portion articulaire carpienne vue en dessus.
- FIG. 13. — La même, vue en arrière.
- FIG. 14. — Portion terminale de l'aile du *Pigeon nicobar*, vue par sa face externe.
- FIG. 15. — Face interne du même os.
- FIG. 16. — Extrémité articulaire supérieure du métacarpe vue en dessus.
- FIG. 17. — Métacarpe et première phalange de l'aile du *Syrhaptes paradoxus* (Mllg.), vus par leur face externe.
- FIG. 18. — Face interne des mêmes os.
- FIG. 19. — Extrémité articulaire supérieure du métacarpe vue en dessus et grossie.

Ces pièces proviennent de ma collection.



Louveau. 181

VILLE DE LYON
Biblioth. du Palais des Arts

Imp. Bachelier, Paris.

PLANCHE 141.

COLOMBIDES.

FOSSILES.

Ostéologie d'un *Carya* (*Pterocles sepultus*, nov. sp.), provenant du terrain miocène du département de l'Allier.

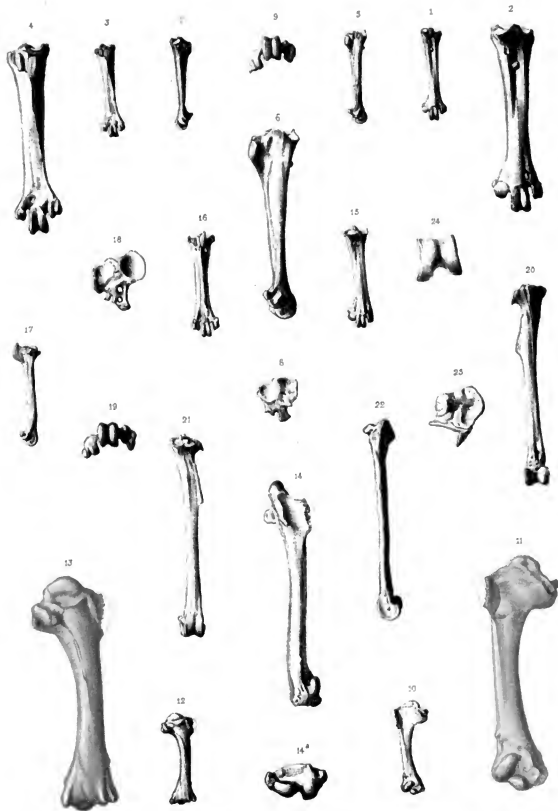
- FIG. 1. — Tarso-métatarsien vu par sa face antérieure, de grandeur naturelle.
- FIG. 2. — Le même grossi.
- FIG. 3. — Face postérieure du même os, de grandeur naturelle.
- FIG. 4. — Le même, grossi.
- FIG. 5. — Face interne du même os, de grandeur naturelle.
- FIG. 6. — Le même grossi.
- FIG. 7. — Face externe du même os.
- FIG. 8. — Extrémité articulaire supérieure, vue en dessus et grossie.
- FIG. 9. — Extrémité articulaire inférieure, vue en dessous et grossie.

Ostéologie de la *Columba calearia* (nov. sp.), Colombe provenant du terrain miocène du département de l'Allier.

- FIG. 10. — Humérus vu par sa face antérieure, de grandeur naturelle.
- FIG. 11. — Le même, grossi.
- FIG. 12. — Face postérieure du même os, de grandeur naturelle.
- FIG. 13. — Le même, grossi.
- FIG. 14. — Le même os, grossi et vu par sa face externe.
- FIG. 14a. — Extrémité articulaire inférieure vue en dessous.

Ostéologie du Pigeon ramier (*Columba palumbus*, Linn.), dont les débris ont été trouvés dans les tourbières d'Essonne.

- FIG. 15. — Tarso-métatarsien vu par sa face antérieure, de grandeur naturelle.
- FIG. 16. — Face postérieure du même os.
- FIG. 17. — Face interne du même.
- FIG. 18. — Extrémité articulaire supérieure, vue en dessus et grossie.
- FIG. 19. — Extrémité articulaire inférieure, vue en dessous et grossie.
- FIG. 20. — Tibia vu par sa face antérieure.
- FIG. 21. — Face postérieure du même os.
- FIG. 22. — Face externe du même.
- FIG. 23. — Extrémité articulaire supérieure, vue en dessus et grossie.
- FIG. 24. — Extrémité articulaire inférieure, vue en dessous et grossie.



Lourneau del.

VILLE DE LYON
Biblioth. du Collège des Arts

Imp. Bachelier Paris

PLANCHE 142.

FRINGILLIDES.

(*Corvides.*)

Égéclette du Corbeau nasique (*Corvus Jamaicensis*, Gmel.; *Corvus nasicus*, Temm.),
individu mâle, provenant de Cuba, de grandeur naturelle.



VHIF DE LYON *Sup. Berquet, Paris*
Biblioth. du Palais des Arts

PLANCHE 143.

PASSEREAUX.

- FIG. 1. — Squelette du **Dendroica chrysotrochis** (Lesson), individu mâle de Guatemala, de grandeur naturelle.
- FIG. 2. — Squelette de **Ramphocoris Clot-Bey** (Temminck), individu mâle, d'Algérie, de grandeur naturelle.

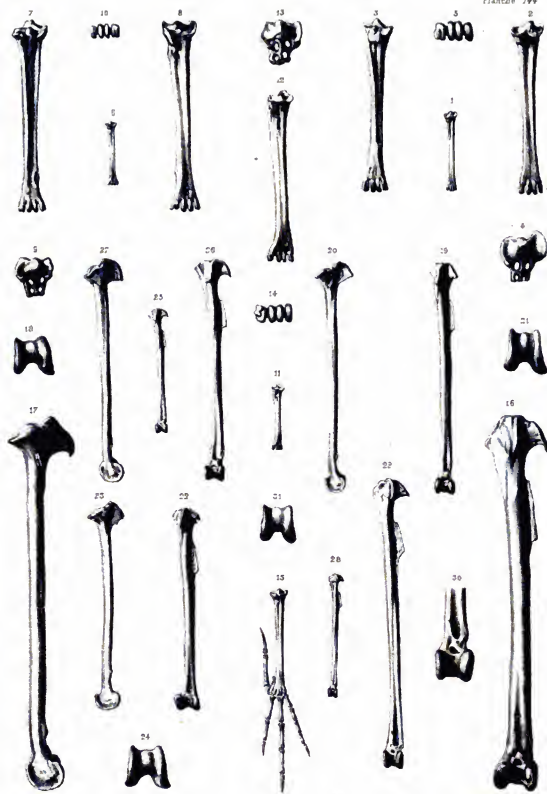


PLANCHE 144.

PASSEREAUX.

(Edornines.)

- FIG. 4. — Tarso-métatarsien du *Lanius rufus* (Linn.), de grandeur naturelle.
- FIG. 2 et 3. — Le même os grossi et vu par ses faces antérieure et postérieure.
- FIG. 4 et 5. — Extrémités articulaires supérieure et inférieure.
- FIG. 6. — Tarso-métatarsien du *Picolaptes tenuirostris* (Licht.), de grandeur naturelle.
- FIG. 7 et 8. — Le même os grossi et montrant ses faces antérieure et postérieure.
- FIG. 9 et 10. — Extrémités articulaires supérieure et inférieure.
- FIG. 11. — Tarso-métatarsien du *Xiphorhynchus procervus* (Temm.), de grandeur naturelle.
- FIG. 12. — Le même os, grossi.
- FIG. 13 et 14. — Extrémités articulaires supérieure et inférieure, grossies.
- FIG. 15. — Pied du *Turdus viscivorus* (Linn.), de grandeur naturelle.
- FIG. 16 et 17. — Tibia du *Corvus corax* (Linn.), montrant ses faces antérieure et interne, de grandeur naturelle.
- FIG. 18. — Extrémité articulaire vue en dessous.
- FIG. 19 et 20. — Tibia du *Pyrrhocorax alpinus* (Linn.), montrant ses faces antérieure et interne, de grandeur naturelle.
- FIG. 21. — Extrémité articulaire inférieure, vue en dessous et grossie.
- FIG. 22 et 23. — Tibia de *Euphonia peruviana* (Latham), montrant ses faces antérieure et interne, de grandeur naturelle.
- FIG. 24. — Extrémité articulaire inférieure, vue en dessous et grossie.
- FIG. 25. — Tibia de *Loxia coccythraustes* (Linn.), de grandeur naturelle.
- FIG. 26 et 27. — Le même os, grossi et vu sur ses faces antérieure et interne.
- FIG. 28. — Tibia de *Nyctala lasiurus* (Linn.), de grandeur naturelle et vu sur sa face antérieure.
- FIG. 29. — Le même os, grossi.
- FIG. 30. — Extrémité inférieure du même os, très-grossie.



Leveque lith

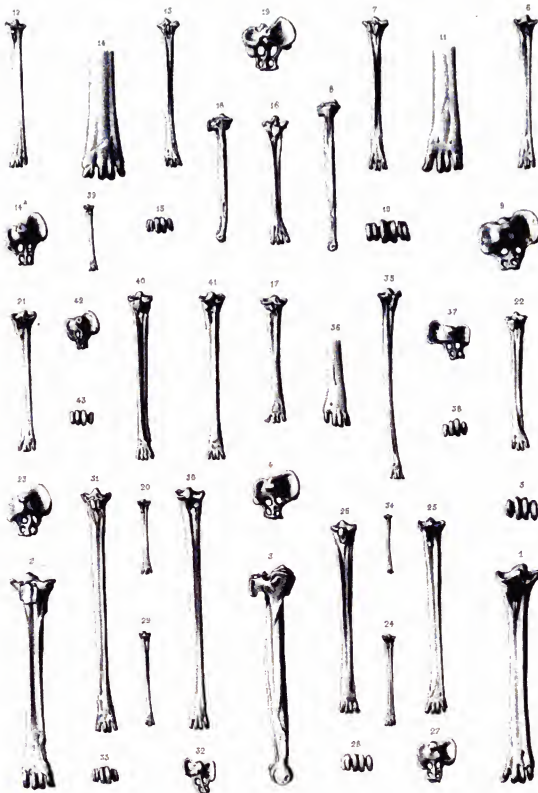
Depos. Paris

PLANCHE 145.

PASSEREAUX

(Edornines.)

- FIG. 1, 2 et 3. — Tarso-métatarsien de *Corvus corax* (Linn.), vu par ses faces antérieure, postérieure et interne, de grandeur naturelle.
- FIG. 4 et 5. — Extrémités articulaires supérieure et inférieure du même os.
- FIG. 6, 7 et 8. — Tarso-métatarsien de *Pyrrhocorax alpinus* (Linn.), vu par ses faces antérieure, postérieure et interne, de grandeur naturelle.
- FIG. 9 et 10. — Extrémités articulaires supérieure et inférieure du même os, grossies.
- FIG. 11. — Portion inférieure du même os, grossie et vue en avant.
- FIG. 12 et 13. — Tarso-métatarsien du *Turdus gigas* (Fraser), vu par ses faces antérieure et postérieure, de grandeur naturelle.
- FIG. 14. — Portion inférieure du même os, grossie, vue en avant.
- FIG. 14* et 15. — Extrémités articulaires supérieure et inférieure, grossies.
- FIG. 16, 17 et 18. — Tarso-métatarsien du *Eupiccola peruviana* (Latham), vu par ses faces postérieure, antérieure et interne, de grandeur naturelle.
- FIG. 19. — Extrémité articulaire supérieure du même os, grossie.
- FIG. 20. — Tarso-métatarsien de *Loxia coccythraustes* (Linn.), de grandeur naturelle.
- FIG. 21 et 22. — Le même os, grossi, montrant ses faces antérieure et postérieure.
- FIG. 23. — Extrémité articulaire supérieure, grossie et vue en dessus.
- FIG. 24. — Tarso-métatarsien de l'*Alauda cristata* (Linn.), de grandeur naturelle.
- FIG. 25 et 26. — Le même os, grossi, montrant ses faces antérieure et postérieure.
- FIG. 27 et 28. — Extrémités articulaires supérieure et inférieure, grossies.
- FIG. 29. — Tarso-métatarsien de *Sylvia lusciniola* (Linn.), de grandeur naturelle.
- FIG. 30 et 31. — Le même os, grossi, vu par ses faces antérieure et postérieure.
- FIG. 32 et 33. — Extrémités articulaires supérieure et inférieure, grossies.
- FIG. 34. — Tarso-métatarsien de *Regulus cristatus* (Linn.), de grandeur naturelle.
- FIG. 35. — Le même os, grossi, vu par sa face antérieure.
- FIG. 36. — Portion inférieure du même, très-grossie et vue en avant.
- FIG. 37 et 38. — Extrémités articulaires supérieure et inférieure, grossies.
- FIG. 39. — Tarso-métatarsien du *Farus major* (Linn.), de grandeur naturelle.
- FIG. 40 et 41. — Le même os, grossi, montrant ses faces antérieure et postérieure.
- FIG. 42 et 43. — Extrémités articulaires supérieure et inférieure du même os.



mus. 505

VULTE DE LA BATTE
BIBLIOTHEQUE DES ARTS

Imp. Requet, Paris.

PLANCHE 146.

PASSEREAUX.

(Edornines.)

- FIG. 1, 2 et 3. — Fémur du *Corvus corax* (Linn.), vu par ses faces antérieure, postérieure et externe, de grandeur naturelle.
- FIG. 4. — Extrémité articulaire inférieure vue en dessous.
- FIG. 5. — Fémur de *Loxia coccythraustes* (Linn.), vu par sa face antérieure et de grandeur naturelle.
- FIG. 6. — Le même os, grossi.
- FIG. 7. — Le même os, vu par sa face postérieure, de grandeur naturelle.
- FIG. 8. — Le même, grossi.
- FIG. 9, 10 et 11. — Bassin du *Corvus corax*, vu en dehors, en dessus et en dessous, de grandeur naturelle.
- FIG. 12 et 13. — Bassin du *Turdus viscivorus* (Linn.), vu par ses faces supérieure et inférieure.
- FIG. 14, 15 et 16. — Bassin de *Loxia coccythraustes*, vu par ses faces externe, supérieure et inférieure, de grandeur naturelle.
- FIG. 17, 18 et 19. — Bassin de l'*Miranda rapacialis* (Scopoli), vu par ses faces externe, supérieure et inférieure, un peu grossi.
- FIG. 20 et 21. — Bassin de *Sylvia luscinia* (Linn.), montrant ses faces supérieure et inférieure, un peu grossi.



Louvain 24b

VILLE DE LYON
Biblioth. du Palais des Arts

Sup. Bequet Paris

PLANCHE 147.

PASSEREAUX.

(*Ædornines.*)

- FIG. 1. — Sternum du *Corvus corax* (Linn.), vu en dehors, de grandeur naturelle, ainsi que les douze figures suivantes.
- FIG. 2. — Face inférieure du même os.
- FIG. 3. — Face supérieure du même.
- FIG. 4. — Portion articulaire montrant la disposition des rainures coracoidiennes.
- FIG. 5. — Sternum du *Pyrrhocorax alpinus* (Linn.), vu par sa face inférieure.
- FIG. 6. — Portion articulaire coracoidienne du même os.
- FIG. 7. — Sternum de *Loxia coccythraustes* (Linn.), vu par sa face externe.
- FIG. 8. — Face inférieure du même os.
- FIG. 9. — Portion articulaire coracoidienne.
- FIG. 10. — Sternum de l'*Alauda cristata* (Linn.), vu par sa face externe.
- FIG. 11. — Face inférieure du même os.
- FIG. 12. — Portion articulaire coracoidienne.
- FIG. 13. — Sternum de l'*Hirundo rupestris* (Scopoli), vu par sa face inférieure et un peu grossi.
- FIG. 14. — Face inférieure du même os.
- FIG. 15. — Sternum de la *Motacilla flava* (Linn.), vu par sa face inférieure et un peu grossi.
- FIG. 16. — Face inférieure du même os.



Lacuna 147

VILLEFAYON

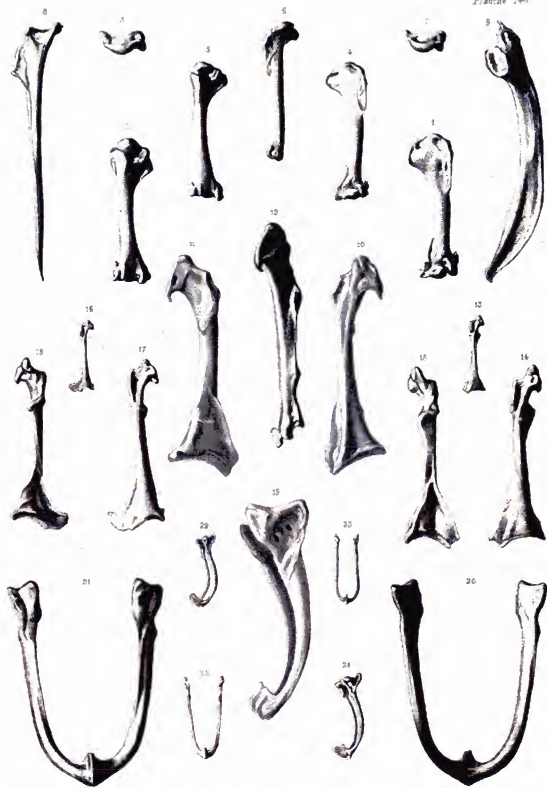
Imp. Bouquet, Paris

PLANCHE 148.

PASSEREAUX.

(*Edornines.*)

- FIG. 1 et 2. — Humérus du *Pyrrhocorax alpinus* (Linn.), vu par ses faces antérieure et postérieure, de grandeur naturelle.
- FIG. 3. — Extrémité articulaire supérieure du même os vue en dessus.
- FIG. 4, 5 et 6. — Humérus du *Corvus glandarius* (Linn.), vu par ses faces antérieure, postérieure et externe, de grandeur naturelle.
- FIG. 7. — Extrémité articulaire supérieure du même os, vue en dessus.
- FIG. 8 et 9. — Omoplate du *Corvus corax* (Bartram), vu par ses faces supérieure et interne, de grandeur naturelle.
- FIG. 10, 11 et 12. — Coracoidien du même oiseau, vu par ses faces inférieure, supérieure et interne.
- FIG. 13, 14 et 15. — Coracoidien du *Loxia coccythraustes* (Linn.), un peu grossi et montrant ses faces inférieure, supérieure et interne.
- FIG. 16, 17 et 18. — Coracoidien de l'*Alauda cristata* (Linn.), un peu grossi et montrant ses faces inférieure, supérieure et interne.
- FIG. 19, 20 et 21. — Os furculaire du *Corvus corax*, vu par ses faces externe, antérieure et postérieure (ou inférieure et supérieure), de grandeur naturelle.
- FIG. 22 et 23. — Os furculaire de *Loxia coccythraustes* (Linn.), vu par ses faces externe et inférieure (ou antérieure).
- FIG. 24 et 25. — Os furculaire de *Turdus viscivorus* (Linn.), vu par ses faces externe et inférieure.



Louveau del.

Imp. Baquet, Paris

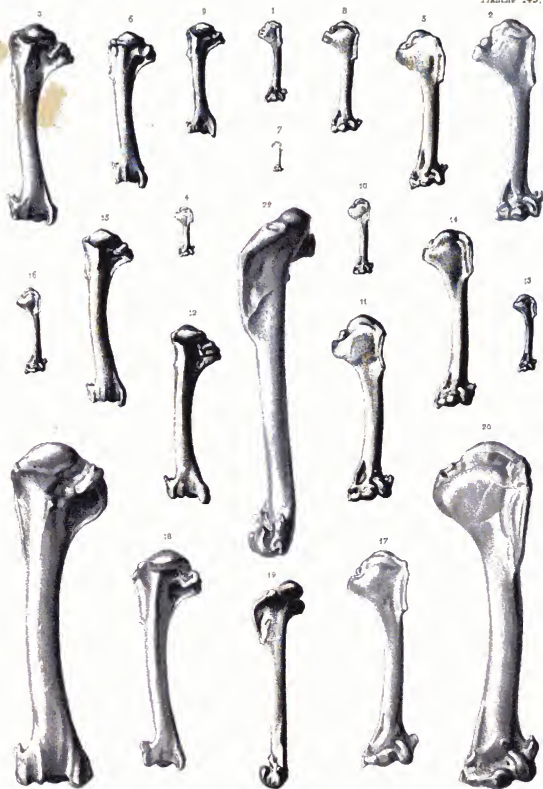
VILLE DE LYON
Bibliothèque du Palais des Arts

PLANCHE 149.

PASSEBEAUX.

(Edornines.)

- FIG. 1. — Humérus de *Loxia coccythraustes* (Linn.), de grandeur naturelle.
- FIG. 2 et 3. — Le même, grossi et montrant ses faces antérieure et postérieure.
- FIG. 4. — Humérus de l'*Hirundo urbs* (Linn.), de grandeur naturelle.
- FIG. 5 et 6. — Le même os, grossi et montrant ses faces antérieure et postérieure.
- FIG. 7. — Humérus du *Regulus cristatus* (Linn.), de grandeur naturelle.
- FIG. 8 et 9. — Le même, grossi (faces antérieure et postérieure).
- FIG. 10. — Humérus du *Cinclus aquaticus* (Bechst.), *Sturnus cinclus* (Linn.), de grandeur naturelle.
- FIG. 11 et 12. — Le même os, grossi (faces antérieure et postérieure).
- FIG. 13. — Humérus de *Lanius rufus* (Linn.), de grandeur naturelle.
- FIG. 14 et 15. — Le même os, grossi.
- FIG. 16. — Humérus du *Turdus cyaneus* (Linn.), de grandeur naturelle.
- FIG. 17, 18 et 19. — Le même os, grossi, montrant ses faces antérieure, postérieure et externe.
- FIG. 20 et 21. — Humérus du *Corvus corax* (Bartram), montrant ses faces antérieure et postérieure, de grandeur naturelle.



Laurens Lith

VILLE DE LYON
Bibliothèque du Palais des Arts

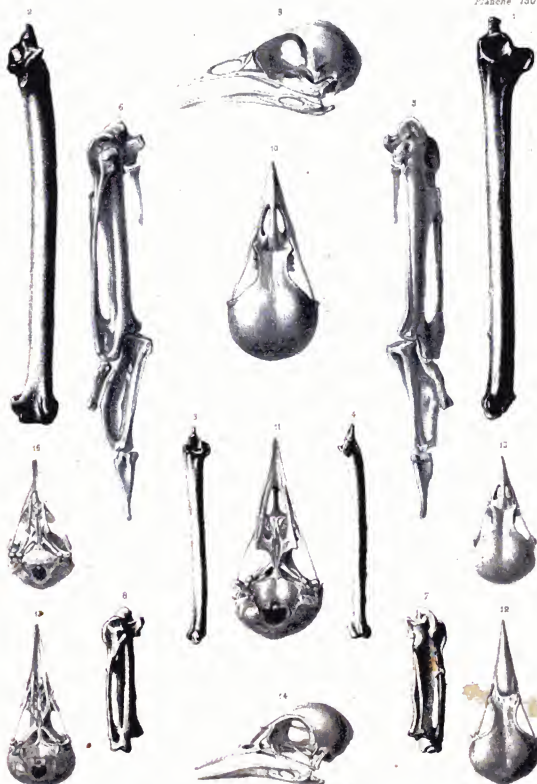
Jap. Rouquet Sculp

PLANCHE 150.

PASSEREAUX.

(Édornines.)

- FIG. 1. — Cubitus du *Corvus corax* (Bartram), vu par sa face antérieure, de grandeur naturelle.
- FIG. 2. — Face interne du même os.
- FIG. 3. — Cubitus de *Loxia coccythraustes* (Linn.), vu par sa face antérieure (gros deux fois et demi).
- FIG. 4. — Face interne du même os.
- FIG. 5. — Portion terminale de l'aile du *Corvus corax*, vue par sa face externe, de grandeur naturelle.
- FIG. 6. — Les mêmes os, vus par leur face interne.
- FIG. 7. — Métacarpe de *Loxia coccythraustes*, vu par sa face externe et gros deux fois et demi.
- FIG. 8. — Face interne du même os.
- FIG. 9. — Tête osseuse du *Pyrrhocorax alpinus* (Linn.), vue de côté, de grandeur naturelle, de même que les figures suivantes.
- FIG. 10. — La même, vue en dessus.
- FIG. 11. — La même, vue en dessous.
- FIG. 12. — Tête osseuse du *Caupena persicus* (Linn.), vue en dessus.
- FIG. 13. — Face inférieure de la même.
- FIG. 14. — La même, vue de côté.
- FIG. 15. — Tête osseuse de l'*Alauda calandra* (Linn.), montrant sa face supérieure.
- FIG. 16. — Face inférieure de la même.



Lourneau. 1818

Dep. Bequet. Paris

PLANCHE 131.

FRINGILLIDES (*Corvidae*).

FOSSILES.

Squelette restauré du *Corvus Lartetii* (A. Milne Edwards), oiseau fossile provenant du terrain miocène de Sansan (Gers).

Les parties ombrées sont les seules qui aient encore été trouvées; les parties au trait ne sont pas connues.



Lodron lith.

Pl. 151. 1. 2. 3. 4. 5. 6. 7. 8. 9. 10. 11. 12. 13. 14. 15. 16. 17. 18. 19. 20. 21. 22. 23. 24. 25. 26. 27. 28. 29. 30. 31. 32. 33. 34. 35. 36. 37. 38. 39. 40. 41. 42. 43. 44. 45. 46. 47. 48. 49. 50. 51. 52. 53. 54. 55. 56. 57. 58. 59. 60. 61. 62. 63. 64. 65. 66. 67. 68. 69. 70. 71. 72. 73. 74. 75. 76. 77. 78. 79. 80. 81. 82. 83. 84. 85. 86. 87. 88. 89. 90. 91. 92. 93. 94. 95. 96. 97. 98. 99. 100.

Jap. Berquet. Paris

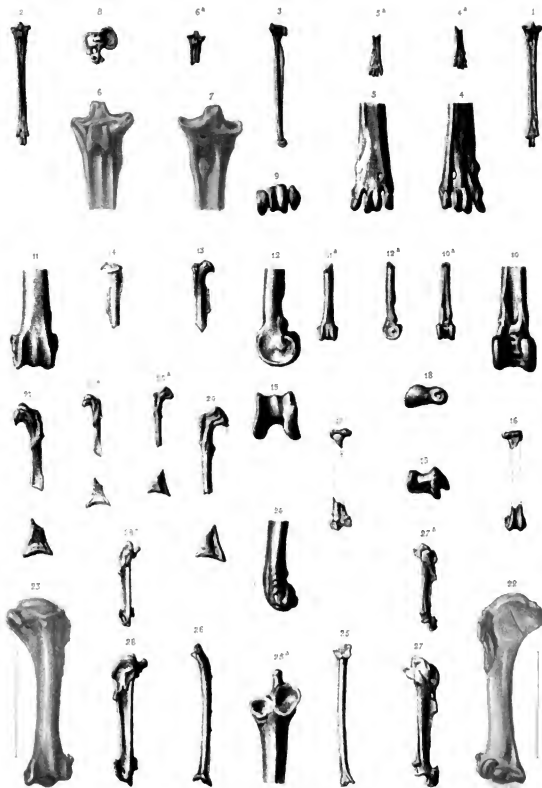
PLANCHE 152.

PASSEREAUX.

CORVIDES FOSSILES.

Ostéologie du *Corvus Lartet* (A. Milne Edwards), oiseau fossile provenant du terrain miocène de Sansan (Gers).

- FIG. 1. — Tarso-métatarsien vu par sa face antérieure, de grandeur naturelle.
- FIG. 2. — Face postérieure du même os.
- FIG. 3. — Face externe du même.
- FIG. 4, 5, 6 et 7. — Détails grossis du même os, représentés de grandeur naturelle sur les figures 4^e, 5^e, 6^e.
- FIG. 8. — Extrémité articulaire supérieure, vue en dessus et grossie.
- FIG. 9. — Extrémité articulaire inférieure, vue en dessous et grossie.
- FIG. 10, 11 et 12. — Extrémité inférieure de tibia, vue sur ses diverses faces et grossie.
Les figures 10^e, 11^e et 12^e représentent les mêmes parties, de grandeur naturelle.
- FIG. 13 et 14. — Extrémité supérieure du tibia.
- FIG. 15. — Extrémité articulaire inférieure du même os, vue en dessous et grossie.
- FIG. 16 et 17. — Fémur de grandeur naturelle.
- FIG. 18 et 19. — Extrémités articulaires, supérieure et inférieure, grossies.
- FIG. 20 et 21. — Coracoidien grossi, vu sur ses faces inférieure et supérieure. Les figures 20^e et 21^e représentent les mêmes pièces de grandeur naturelle.
- FIG. 22, 23 et 24. — Humérus grossi, vu sur ses faces antérieure, postérieure et externe.
- FIG. 25 et 26. — Cubitus vu en avant et de côté.
- FIG. 25^a. — Face antérieure de la portion articulaire supérieure, grossie.
- FIG. 27 et 28. — Métacarpe vu sur ses faces externe et interne. Les figures 27^a et 28^a représentent les mêmes pièces de grandeur naturelle.



Lemur *Id.*

VILLE DE LYON

Reproduction of the original plate.

Exp. Barquet *Paris*

PLANCHE 153.

PASSEREAUX.

RODONTINES FOSSILES.

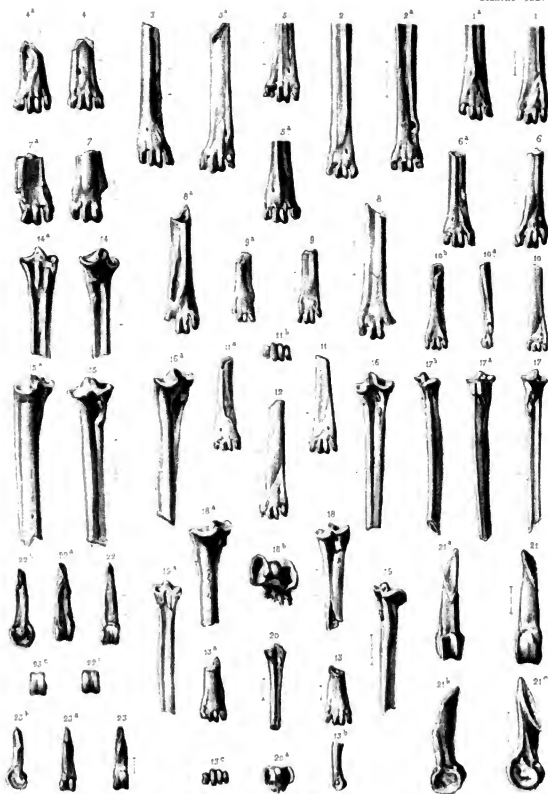
Os de la patte de diverses espèces, provenant du terrain miocène de la colline de Sansan (Gers).

Tous ces os sont grossis dans les mêmes proportions; un trait placé à côté de chacun d'eux indique leur grandeur naturelle.

FIG. 1 à 21. — Tarso-métatarsiens.

FIG. 21. — Métatarsien postérieur du *Corvus Larteti* (A. Milne Edwards).

FIG. 22 et 23. — Métatarsiens postérieurs de Fringillides, de plus petite taille que l'espèce précédente.



Collection de

VILLE DE LYON
BIBLIOTHEQUE

Imp. Bachelier Paris

PLANCHE 154.

PASSEREAUX.

EDORNINES FOSSILES.

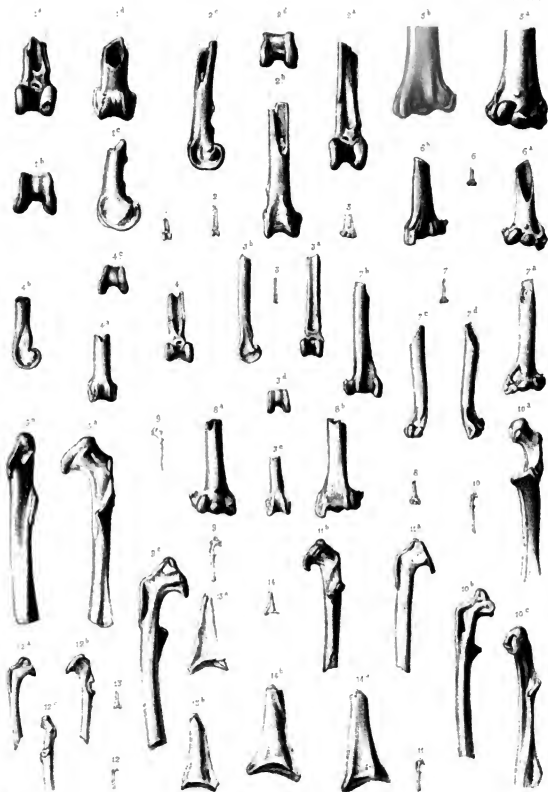
Ostéologie de diverses espèces provenant du terrain miocène de la colline de Sansan (Gers).

Ces pièces sont toutes grossies dans les mêmes proportions que les os de la patte représentés sur la figure 153. Leur grandeur naturelle est indiquée par une figure spéciale.

FIG. 1 à 4. — Portions inférieures de tibias.

FIG. 5 à 8. — Portions inférieures d'humérus.

FIG. 9 à 14. — Divers fragments de coracoidiens.



Bartram. 1710

1710. 1710. 1710. 1710. 1710. 1710.

Les. Boquet. Paris.

PLANCHE 155.

PASSEREAUX.

FOSSILES.

Ostéologie de divers Passereaux dont les débris ont été trouvés dans les couches miocènes de la colline de Sansan (Gers).

Toutes ces figures sont grossies dans les mêmes proportions que celles représentées sur les planches 153 et 154. Leur grandeur naturelle est indiquée par une figure spéciale portant un numéro sans lettre indicative.

FIG. 1 à 3. — Becs et fragments de becs.

FIG. 4. — Cubitus.

FIG. 5 à 8. — Portions supérieures d'omoplates.

FIG. 9 à 11. — Métacarpes.

FIG. 12 à 13. — Premières phalanges du doigt médian.



PLANCHE 156.

PASSEREAUX.

FOSSILES.

Ostéologie du Chocard des Alpes (*Pyrrhocorax Alpinus*, Linn.), oiseau dont on trouve les débris dans les cavernes à ossements du Périgord et des Pyrénées.

FIG. 1 à 3. — Tarso-métatarsien vu sur ses faces antérieure, postérieure et interne, de grandeur naturelle. Les figures 1^a et 2^a représentent l'extrémité inférieure grossie.

FIG. 4. — Poulies digitales, vues en dessous et grossies.

FIG. 5 et 6. — Tibia vu par ses faces antérieure et postérieure, de grandeur naturelle.

FIG. 7. — Extrémité inférieure grossie et vue en dessous.

FIG. 8, 9 et 10. — Humérus de grandeur naturelle, vu en avant, en arrière et en dehors.

FIG. 11 et 12. — Cubitus vu en avant et en dedans.

FIG. 13, 14 et 15. — Métacarpe montrant ses faces externe, interne et postérieure.

Ostéologie du Corbeau (*Corvus corax*, Linn.), oiseau dont les débris ont été trouvés dans la caverne de Lacombe (Dordogne).

FIG. 15 et 16. — Portion inférieure de l'humérus, montrant ses faces antérieure et postérieure, de grandeur naturelle.

FIG. 17, 18 et 19. — Tarso-métatarsien d'un jeune individu vu en avant, en arrière et en dehors. (Cet os provient d'une grotte du nord de l'Italie.)

FIG. 20. — Extrémité supérieure du même os.

FIG. 21. — Extrémité inférieure vue en dessous.

FIG. 22. — Humérus d'une **Alouette** (*Alauda cristata*, Linn.), provenant des brèches osseuses de Montmorency, vu par sa face antérieure, de grandeur naturelle.

FIG. 22^a. — Le même os, grossi.

FIG. 23. — Face postérieure du même os.

FIG. 24. — Humérus de l'**Miroulette de rochers** (*Hirundo rupestris*, Scopoli), provenant de la caverne de Lourdes (Hautes-Pyrénées), vu par sa face antérieure, de grandeur naturelle.

FIG. 24^a. — Le même os, grossi.

FIG. 25. — Face postérieure du même os.

FIG. 26 et 27. — Humérus de la **Mouette** (*Upupa epops*, Linn.), des brèches osseuses de Sardaigne, montrant ses faces antérieure et postérieure, de grandeur naturelle.



Leaven 2th

VILLE DE LYON
RUE DE LA VILLE-NEUVE

my Request Page

PLANCHE 157.

PASSEREAUX.

FOSSILES.

Squelette restitué du Chocard des Alpes (*Pyrrhocorax Alpinus*, Vieillot, *Corvus pyrrhocorax*, Linné), oiseau dont les ossements se trouvent communément dans les cavernes à ossements du centre et du midi de la France.

Les parties au trait n'ont pas encore été trouvées à l'état fossile.



Barbeau 175

VILLE DE LYON
Bibliothèque des Arts

Dep. Barquet, Paris

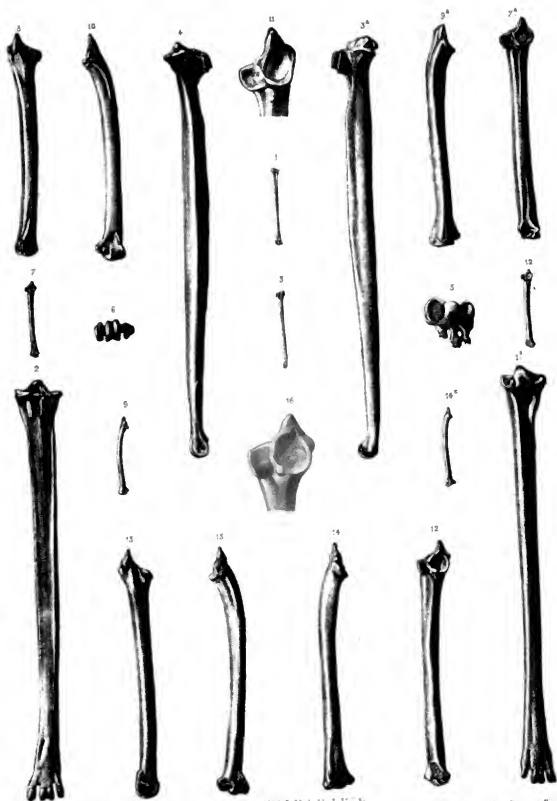
PLANCHE 158.

PASSEREAUX.

FOSSILES.

- FIG. 1. — Tarso-métatarsien de la *Motacilla major* (A. Milne Edwards), espèce fossile provenant du terrain miocène de l'Allier.
- FIG. 1a. — Le même os, grossi et montrant sa face antérieure.
- FIG. 2. — Face postérieure du même os.
- FIG. 3. — Face externe du même os, de grandeur naturelle.
- FIG. 3a. — Le même os, grossi.
- FIG. 4. — Face interne de l'os.
- FIG. 5. — Extrémité articulaire supérieure vue en dessus.
- FIG. 6. — Extrémité articulaire inférieure vue en dessous.
- FIG. 7. — Cubitus appartenant probablement à la *Motacilla humata* (A. Milne Edwards), espèce fossile provenant du terrain miocène du département de l'Allier.
- FIG. 7a. — Le même os, grossi et montrant sa face antérieure.
- FIG. 8. — Face postérieure du même.
- FIG. 9. — Face externe.
- FIG. 10. — Face interne.
- FIG. 11. — Extrémité articulaire supérieure très-grossie.
- FIG. 12. — Cubitus d'une autre espèce de Passereau, provenant du terrain miocène du département de l'Allier.
- FIG. 12a. — Le même os, grossi et montrant sa face antérieure.
- FIG. 13. — Face postérieure du même os.
- FIG. 14. — Face externe.
- FIG. 15. — Face interne.
- FIG. 16. — Extrémité articulaire supérieure très-grossie.

(Ces pièces proviennent de ma collection.)



VILLE OF LYON

1789

Imp. Bachelier Paris

PLANCHE 159.

PASSEREAUX.

FOSSILES.

Ostéologie de divers Passereaux provenant du terrain miocène du département de l'Allier.

- FIG. 1. — Humérus du *Lanius miocœnus*, A. Edwards, de grandeur naturelle.
 FIG. 1^a. — Le même os grossi et montrant sa face antérieure.
 FIG. 2. — Face postérieure du même.
 FIG. 3. — Face externe du même.
 FIG. 4. — Humérus d'un oiseau voisin des Pouillots et provenant de Saint-Géraud le Puy.
 FIG. 5. — Face postérieure du même os.
 FIG. 6. — Humérus d'un oiseau voisin des Rossignols, provenant de Saint-Géraud le Puy.
 FIG. 7. — Le même os vu par sa face postérieure.
 FIG. 8. — Humérus de Passereau provenant du terrain miocène des environs de Weissenau (bassin de Mayence).
 FIG. 8^a. — Le même os grossi.
 FIG. 9. — Face postérieure du même os.
 FIG. 10. — Tibia du *Motacilla humata*, A. Edw., de grandeur naturelle.
 FIG. 10^a. — Le même, grossi.
 FIG. 11. — Face postérieure du même os.
 FIG. 12. — Face externe du même.
 FIG. 13. — Portion de tibia du *Motacilla major*, A. Edw., de grandeur naturelle.
 FIG. 13^a. — Le même os grossi.
 FIG. 14. — Le même, vu par sa face postérieure.
 FIG. 15. — Face externe du même.
 FIG. 16. — Coracoidien d'un Passereau appartenant probablement au genre *Lanius*.
 FIG. 17. — Le même os grossi et vu par sa face supérieure.
 FIG. 18. — Métacarpe du *Cypselus ignotus*, A. Edw., vu par sa face interne, de grandeur naturelle.
 FIG. 18^a. — Le même os grossi.
 FIG. 19. — Face externe du même os.

(Les pièces proviennent de ma collection.)



Leveaux del.

VILLE DE PARIS
Bibliothèque des Arts

Imp. Bouché Paris

PLANCHE 160.

PASSEREAUX.

FOSILES.

FIG. 1 et 2. — Empreinte et contre-empreinte d'un oiseau appartenant à l'ordre des Passereaux, et provenant des carrières de gypse des environs de Paris. — Une vertèbre caudale de *Palæotherium* cache quelques parties de ce squelette.

(Cette pièce fait partie des collections du Muséum d'histoire naturelle.)

1



2



VILLE DE LYON

Bibliothèque des Sciences et des Arts

Château de la

Imp. Berquet Fils

PLANCHE 161.

PASSEREAUX.

DU GYPSE.

FIG. 1. — **Squelette de *Laurillardia longirostris*** (A. Milne Edwards), oiseau provenant du gypse de Montmartre, de grandeur naturelle.

FIG. 2 et 3. — Empreinte et contre-empreinte du squelette du ***Palæolithus Cuvieri*** (A. Milne Edwards, ***Sitta Cuvieri***, P. Gervais), oiseau provenant du gypse des environs de Paris, de grandeur naturelle.

(Ces pièces appartiennent au Muséum d'histoire naturelle.)



Laureau del.

VILLE DE LYON
Musée du Palais des Arts

Imp. Decquet Paris

PLANCHE 162.

PASSEREAUX.

FOSSILES.

- FIG. 1. — Empreinte d'un squelette de Passereau, provenant des carrières de gypse des environs de Paris. Cet oiseau diffère de celui représenté planche 160, par la longueur beaucoup plus grande des avant-bras et par la brièveté des pattes. Cette figure est de grandeur naturelle ainsi que les suivantes.
- FIG. 2. — Patte de Passereau provenant du même gisement.
- FIG. 3. — Coracoidien de Passereau provenant aussi du même gisement.
- FIG. 4. — Portion du squelette (ailes, coracoidiens et omoplates) d'un oiseau appartenant probablement au groupe des Coniostres, et provenant des couches pliocènes du mont Licata, en Sicile.

(Ces pièces proviennent de la collection du Muséum.)

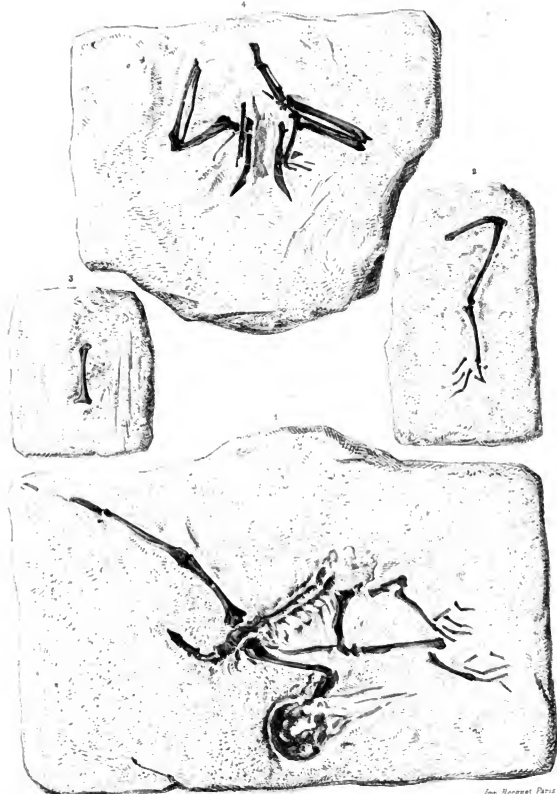


Tableau 162

Tableau 162

Tableau 162

PLANCHE 163.

PASSEREAUX.

Squelette du *Picus Martius* (Linn.), individu mâle du sud de la France,
de grandeur naturelle.



PLANCHE 164.

PASSEREAUX.

Squerlette du Martin-Chasseur d'Australie (*Dacelo gigantea*, Latham.), individu mâle,
de grandeur naturelle.



Louveau Ed.

Imp. Bachelier, Paris

VILLE DE LYON
Biblioth. du Palais des Arts

PLANCHE 165.

PASSEREAUX.

- FIG. 1. — Squelette d'un **Guepier** (*Merops amictus*, Temminck), individu provenant de Sumatra, représenté de grandeur naturelle.
- FIG. 2. — Squelette de l'**Engoulevent de Cayenne** (*Caprimulgus Cayennensis*, Gmel.), de grandeur naturelle.



Louveau lith

VILLE DE LYON
Bibliothèque Paléontologique

Exp. Zoog. Paris

PLANCHE 166.

PASSEREAUX.

Squelette du Touraco pourpre de la côte occidentale d'Afrique (*Turacus persa*, Lin.).
de grandeur naturelle.



L. J. 1855

Des. J. J. 1855

VILLE DE LYON
Bibliothèque des Arts

PLANCHE 467.

PASSEREAUX.

FIG. 1. — Squelette du **Touroucou à cou noir**, du Brésil (*Trogon atricollis*, Vieillot), individu mâle, de grandeur naturelle.

FIG. 2. — Squelette d'un **Martinet** (*Cypselus longipennis*, Temm.), individu provenant de Cochinchine, représenté de grandeur naturelle.



L. J. B. B. B.

VILLE DE LYON
Muséum d'histoire naturelle

Jap. Berquet Paris

PLANCHE 168.

PASSEREAUX.

Squelette du **Concou des Iles Philippines** (*Centropus Philippinensis*, Cuvier),
de grandeur naturelle.



Leveaux del.

VILLE DE LYON
Bibliothèque des Arts

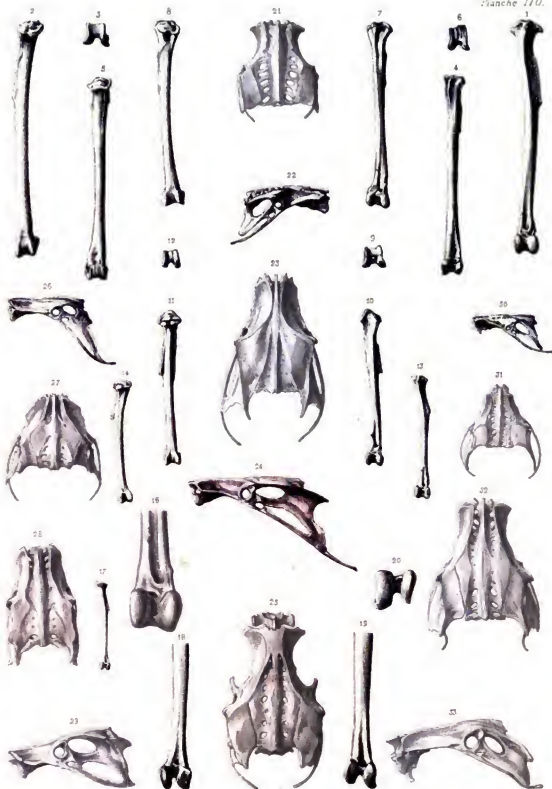
Imp. Borel, Paris.

5 4

PLANCHE 170.

PASSEREAUX.

- FIG. 1 et 2. — Tibia du **Touraco pourpré** (*Turacus persa*, Linné), de grandeur naturelle.
- FIG. 3. — Extrémité articulaire inférieure du même os, vue en dessous et grossie.
- FIG. 4 et 5. — Tibia du **Calao Tork** (*Torkus erythrorhynchus*, Temminck), de grandeur naturelle.
- FIG. 6. — Extrémité articulaire inférieure du même os, vue en dessous et grossie.
- FIG. 7 et 8. — Tibia du **Martin chasseur** (*Merula gigantea*, Latham), de grandeur naturelle.
- FIG. 9. — Extrémité articulaire inférieure vue en dessous et grossie.
- FIG. 10 et 11. — Tibia du **Pie vert** (*Picus viridis*, Linné), de grandeur naturelle.
- FIG. 12. — Extrémité articulaire inférieure vue en dessous et grossie.
- FIG. 13 et 14. — Tibia du **Coucou** (*Cuculus canorus*, Linné), de grandeur naturelle.
- FIG. 15. — Extrémité articulaire inférieure, vue en dessous et grossie.
- FIG. 16. — Portion inférieure du même os, vue par sa face antérieure et grossie.
- FIG. 17. — Tibia du **Martinet** (*Cypselus apus*, Linné), de grandeur naturelle.
- FIG. 18 et 19. — Portion inférieure du même os grossi et montrant ses faces antérieure et postérieure.
- FIG. 20. — Extrémité articulaire inférieure vue en dessous et grossie.
- FIG. 21 et 22. — Bassin du **Coucou**, vu en dessus et de côté.
- FIG. 23 et 24. — Bassin du **Pie vert**, vu en dessus et de côté.
- FIG. 25. — Face supérieure du bassin du **Touraco pourpré**.
- FIG. 26 et 27. — Bassin du **Coucoucou vert** (*Tragon viridis*, Linné), vu de côté et en dessus.
- FIG. 28 et 29. — Bassin du **Calao Tork**, vu en dessus et de côté.
- FIG. 30 et 31. — Bassin du **Martinet**, vu de côté et en dessus.
- FIG. 32 et 33. — Bassin du **Martin chasseur**, vu en dessus et de côté.



Microsc. 465

VILLEGE L'YON

Dep. Berquet Paris

PLANCHE 172.

PASSEREAUX.

FIG. 1, 2 et 3. — Humérus du **Martinet** (*Cypselus apus*, Linné), vu par ses faces antérieure externe et postérieure, de grandeur naturelle.

FIG. 1^r, 2^r et 3^r. — Le même os, grossi.

FIG. 4, 5 et 6. — Humérus du **Pic-vert** (*Picus viridis*, Linné), vu par ses faces antérieure, externe et postérieure, de grandeur naturelle, ainsi que les figures suivantes.

FIG. 7 et 8. — Humérus d'un **Barbu** (*Megalania armillaris*, Temm.), vu par ses faces antérieure et postérieure.

FIG. 9, 10 et 11. — Humérus de l'**Engoulevent** (*Caprimulgus Europaeus*, Linné), vu sur ses diverses faces.

FIG. 12 et 13. — Humérus de la **Huppe** (*Upupa epops*, Linné).

FIG. 14 à 17. — Humérus du **Toucan pourpré** (*Tucosus perca*, Linné).

FIG. 18 à 21. — Humérus du **Martin chasseur** (*Halcyon gigantea*, Latham.).

FIG. 22 à 25. — Humérus du **Calao Toek** (*Tockus erythrorhynchus*, Temminck), vu sur ses diverses faces.

FIG. 26 à 29. — Humérus du **Concou** (*Cuculus canorus*, Linné), vu sur ses diverses faces.

FIG. 30 à 33. — Humérus du **Couroucou vert** (*Trogon viridis*, Linné).



Louveau lith

172

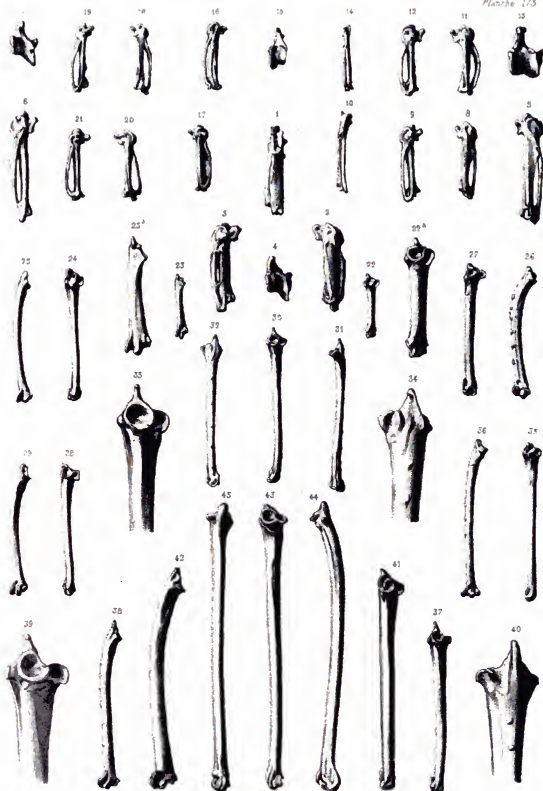
VILLE DE LYON
Bibliothèque du Palais des Arts

Imp. Berquet Tarré

PLANCHE 173.

PASSEREAUX

- FIG. 1 à 3. — Métacarpe de **Calao Tock** (*Tockus erythrorhynchus*, Temm.), de grandeur naturelle, vu par ses faces postérieure, externe et interne.
- FIG. 4. — Extrémité articulaire supérieure, vue en dessus et grossie.
- FIG. 5 et 6. — Métacarpe du **Martin chasseur** (*Merula gigantea*, Latham), montrant ses faces externe et interne.
- FIG. 7. — Extrémité articulaire supérieure, vue en dessus et grossie.
- FIG. 8, 9 et 10. — Métacarpe du **Pie vert** (*Picus viridis*, Linné), vu par ses faces externe, interne et postérieure.
- FIG. 11 et 12. — Métacarpe du **Touraco pourpre** (*Touraco Persa*, Linné), vu en dehors et en dedans.
- FIG. 13. — Extrémité articulaire supérieure, vue en dessus et grossie.
- FIG. 14. — Face externe du métacarpe du **Concou** (*Cuculus canorus*, Linné).
- FIG. 15. — Extrémité articulaire supérieure du même os, vue en dessus et grossie.
- FIG. 16 et 17. — Métacarpe du **Martinet** (*Cypselus apus*, Linné), montrant ses faces externe et interne.
- FIG. 18 et 19. — Métacarpe de la **Huppe** (*Eupops epops*, Linné).
- FIG. 20 et 21. — Métacarpe du **Courroucou vert** (*Trogon viridis*, Linné).
- FIG. 22 et 23. — Cubitus du **Martinet**, vu par ses faces antérieure et postérieure, de grandeur naturelle.
- FIG. 22* et 23*. — Le même os, grossi.
- FIG. 24 et 25. — Cubitus du **Courroucou vert**, montrant ses faces antérieure et interne.
- FIG. 26 et 27. — Cubitus du **Touraco pourpre**, montrant ses faces interne et antérieure.
- FIG. 28 et 29. — Cubitus du **Concou**, vu sur les mêmes faces.
- FIG. 30, 31 et 32. — Cubitus de **Huppe**, montrant ses faces antérieure, postérieure et interne.
- FIG. 33 et 34. — Extrémité supérieure du même os, grossie.
- FIG. 35 et 36. — Cubitus de l'**Eugoulevent**.
- FIG. 37 et 38. — Cubitus du **Pie vert**, vu en avant et en dedans.
- FIG. 39 et 40. — Portion supérieure, vue sur ses faces antérieure et postérieure.
- FIG. 41 et 42. — Cubitus du **Calao Tock**.
- FIG. 43, 44 et 45. — Cubitus du **Martin-chasseur**.



—Saurau, 518

W. H. & A. V. L.

Imp. Benquet Paris

PLANCHE 174.

PASSEREAUX.

- FIG. 1. — Tête osseuse du **Calao Toek** (*Fuckus erythrorhynchus*, Temminck), vue de côté et de grandeur naturelle, ainsi que les figures suivantes.
- FIG. 2. — La même, vue en dessous.
- FIG. 3. — Tête osseuse du **Pie-vert** (*Picus viridis*, Linné), vue par sa face supérieure.
- FIG. 4. — Face inférieure de la même.
- FIG. 5. — Tête osseuse du **Martin chasseur** (*Dacelo gigantea*, Latham), vue de côté.
- FIG. 6. — Face supérieure de la même.
- FIG. 7. — Face inférieure de la même.
- FIG. 8. — Tête osseuse du **Martin pêcheur** (*Alcedo tipida*, Linné), vue en dessus.
- FIG. 9. — La même, vue en dessous.
- FIG. 10. — Tête osseuse du **Coronoueu vert** (*Trogon viridis*, Linné), vue en dessus.
- FIG. 11. — La même, vue par sa face inférieure.



Leveau lith

VILLE DE LYON
Bibl. de la Faculté des Arts

Imp. Bachelier Paris

PLANCHE 175.

PASSEREAUX.

FOSSILES.

Squelette du *Cryptornis antiquus* (A. Edwards), *Centropus? Antiquus* (P. Gervais),
oiseau fossile provenant des carrières de Gypse des environs de Paris, de
grandeur naturelle.

Ce fossile fait partie des collections du Muséum d'histoire naturelle.



PLAQUE 175

PLANCHE 176.

PASSEREAUX.

FOSSILES.

- FIG. 1. — Tibia du *Picus consobrinus* (A. Edwards), espèce fossile provenant du terrain miocène du département de l'Allier (face antérieure, de grandeur naturelle).
- FIG. 2. — Le même os, grossi.
- FIG. 3. — Face postérieure du même os, de grandeur naturelle.
- FIG. 4. — Le même os, grossi.
- FIG. 5. — Face interne du même os.
- FIG. 6. — Extrémité articulaire inférieure, vue en dessous.
- FIG. 7. — Extrémité articulaire supérieure, vue en dessus.
- FIG. 8. — Humérus d'un oiseau voisin du *Limnatornis* et provenant du même gisement (face antérieure, de grandeur naturelle).
- FIG. 9. — Le même os, grossi.
- FIG. 10. — Face postérieure, de grandeur naturelle.
- FIG. 11. — Le même os, grossi.
- FIG. 12. — Face externe du même os.
- FIG. 13. — Face interne du même os.
- FIG. 14. — Humérus du *Limnatornis paludicola* (A. Edwards), oiseau fossile provenant, de même que les précédents, du terrain miocène du département de l'Allier (face antérieure, de grandeur naturelle).
- FIG. 15. — Le même os, grossi.
- FIG. 16. — Face postérieure.
- FIG. 17. — Le même os, grossi.
- FIG. 18. — Face externe du même os.
- FIG. 19. — Humérus du *Lanius miocenus* (A. Edwards), oiseau fossile provenant du terrain miocène du département de l'Allier (face antérieure, de grandeur naturelle).
- FIG. 20. — Le même os, grossi.
- FIG. 21. — Face postérieure, de grandeur naturelle.
- FIG. 22. — Le même os, grossi.

(Ces pièces font partie de ma collection.)



Louveau 1811.

VILLE DE LYON
MUSEUM
1811

Joy Jacques Paris

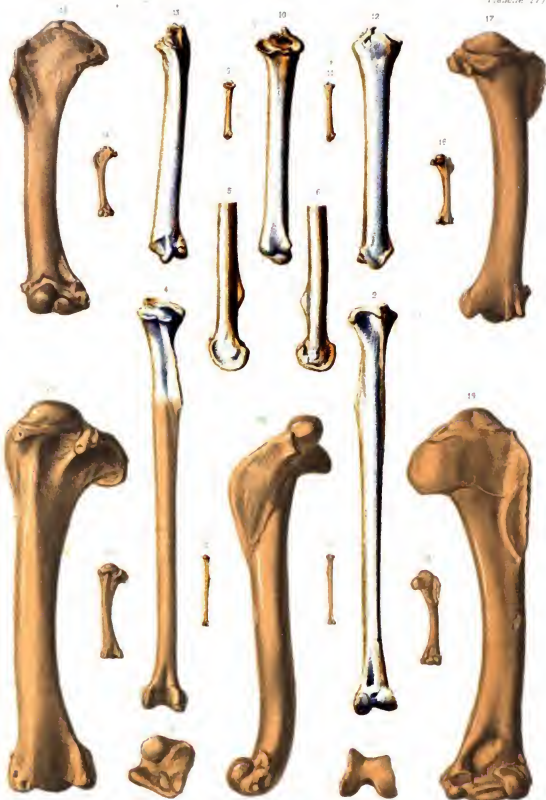
PLANCHE 177.

PASSEREAUX.

FOSSILES.

- FIG. 1. — Tibia d'un oiseau voisin des Salanganes (*Collocalia incerta*, A. Edwards), provenant du terrain miocène du département de l'Allier (face antérieure de l'os, de grandeur naturelle).
- FIG. 2. — Le même os, grossi.
- FIG. 3. — Le même os, vu par sa face postérieure, de grandeur naturelle.
- FIG. 4. — Le même, grossi.
- FIG. 5 et 6. — Portion inférieure du tibia montrant ses faces externe et interne.
- FIG. 7 et 8. — Extrémités articulaires inférieure et supérieure, grossies.
- FIG. 9. — Cubitus d'un oiseau voisin des Martinets (*Cypselus ignotus*, A. Edwards), provenant du terrain miocène du département de l'Allier (face antérieure, de grandeur naturelle).
- FIG. 10. — Le même os, grossi.
- FIG. 11. — Face postérieure, de grandeur naturelle.
- FIG. 12. — Le même os, grossi.
- FIG. 13. — Face interne du même.
- FIG. 14. — Humérus du *Limantornis paludicola* (A. Edwards), oiseau fossile provenant du terrain miocène de l'Allier (face antérieure, de grandeur naturelle).
- FIG. 15. — Le même os, grossi.
- FIG. 16. — Le même, vu par sa face postérieure, de grandeur naturelle.
- FIG. 17. — Le même os, grossi.
- FIG. 18. — Humérus du *Trogon Gallicus* (A. Edwards), Courroucou fossile provenant du terrain miocène du département de l'Allier (face antérieure, de grandeur naturelle).
- FIG. 19. — Le même os, grossi.
- FIG. 20. — Le même, vu par sa face postérieure, de grandeur naturelle.
- FIG. 21. — Le même, grossi.
- FIG. 22. — Face externe du même os.

(Ces pièces font partie de ma collection.)



VILLE DE LYON
Biblioth. du Mus. des Arts

PLANCHE 178.

PASSEREAUX.

FOSILES.

- FIG. 1 et 2. Tibia du **Picus Aethiops** (A. Edwards), oiseau provenant du terrain miocène du département de l'Allier, faces antérieure et postérieure, de grandeur naturelle.
- FIG. 1*, 2* et 3. — Le même os, grossi et vu sur les diverses faces.
- FIG. 4 et 5. — Extrémités articulaires inférieure et supérieure grossies.
- FIG. 6 et 7. — Tarso-métatarsien du **Necorvus palustris** (A. Edwards), oiseau provenant des dépôts miocènes de la colline de Sausan (Gers), faces antérieure et postérieure de grandeur naturelle.
- FIG. 6*, 7*, 8 et 9. — Le même os, grossi et vu sous ses diverses faces.
- FIG. 10. — Extrémité articulaire inférieure, vue en dessous.
- FIG. 11. — Tibia appartenant probablement à la même espèce, vu par sa face antérieure, de grandeur naturelle.
- FIG. 12, 13 et 14. — Le même os, grossi.
- FIG. 15. — Tarso-métatarsien de l'**Montopus picoides** (A. Edwards), oiseau provenant des dépôts miocènes de la colline de Sausan (Gers), face antérieure de grandeur naturelle.
- FIG. 16, 17, 18 et 19. — Le même os, grossi et montrant ses diverses faces.
- FIG. 20. — Extrémité articulaire inférieure, vue en dessous et très-grossie.
- FIG. 21. — Tibia appartenant probablement au même oiseau, vu par sa face antérieure, de grandeur naturelle.
- FIG. 22, 23 et 24. — Le même os, grossi.
- FIG. 25. — Extrémité articulaire inférieure, vue en dessous et très-grossie.
- FIG. 26. — Portion inférieure d'humérus que je rapporte avec beaucoup de doute au même oiseau, vue par sa face antérieure, de grandeur naturelle.
- FIG. 27, 28, 29 et 30. — Le même os, grossi et montrant ses différentes faces.
- FIG. 31. — Extrémité articulaire inférieure, vue en dessous.



Leveau. Del.

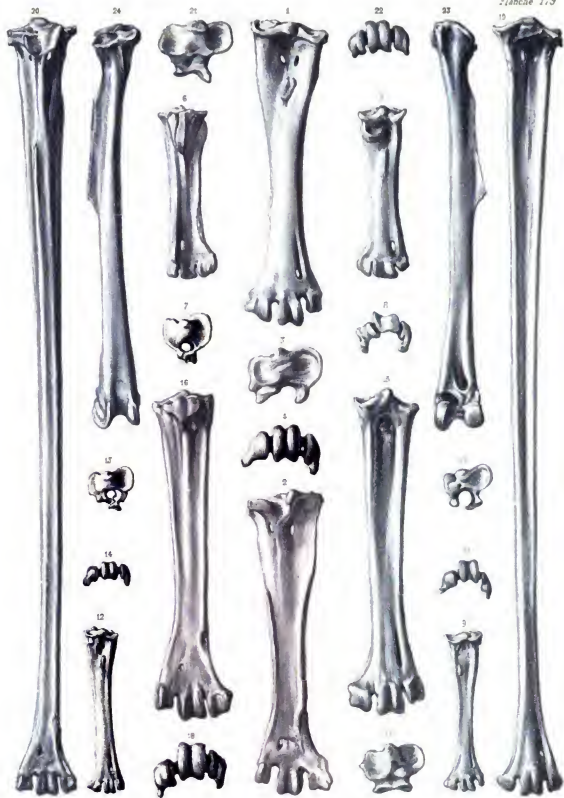
VILLE DE LYON
BIBLIOTHÈQUE DES ARTS

Jap. Baquet Paris

PLANCHE 179.

RAPACES DIURNES.

- FIG. 1. — Tarso-métatarsien du **Gypaète barbu** (*Gypaetus barbatus*, Linné), vu par sa face antérieure, de grandeur naturelle.
- FIG. 2. — Face postérieure du même os.
- FIG. 3. — Extrémité articulaire supérieure, vue en dessus.
- FIG. 4. — Extrémité articulaire inférieure, vue en dessous.
- FIG. 5. — Tarso-métatarsien du **Balbutard** (*Pandion haliaetus*, Linné), vu par sa face antérieure.
- FIG. 6. — Face postérieure du même os.
- FIG. 7. — Extrémité articulaire supérieure, vue en dessus.
- FIG. 8. — Extrémité inférieure, vue en dessous.
- FIG. 9. — Tarso-métatarsien du **Faucon pèlerin** (*Falco peregrinus*, Linné), vu par sa face antérieure.
- FIG. 10. — Extrémité articulaire supérieure, vue en dessus.
- FIG. 11. — Extrémité articulaire inférieure, vue en dessous.
- FIG. 12. — Tarso-métatarsien de la **Bondrée** (*Pernis apivorus*, Linné), vu par sa face antérieure.
- FIG. 13. — Extrémité articulaire supérieure, vue en dessus.
- FIG. 14. — Extrémité articulaire inférieure, vue en dessous.
- FIG. 15. — Tarso-métatarsien du **Vautour royal** (*Sarcophagus papa*, Lin.), vu par sa face antérieure.
- FIG. 16. — Face postérieure du même os.
- FIG. 17. — Extrémité articulaire supérieure, vue en dessus.
- FIG. 18. — Extrémité articulaire inférieure, vue en dessous.
- FIG. 19. — Tarso-métatarsien du **Secrétaire** (*Serpentarius reptiliivorus*, Daud.), vu par sa face antérieure, et un peu réduit.
- FIG. 20. — Face postérieure du même os.
- FIG. 21. — Extrémité articulaire supérieure, vue en dessus, de grandeur naturelle.
- FIG. 22. — Extrémité articulaire inférieure, vue en dessous.
- FIG. 23. — Tibia du **Balbutard**, vu par sa face antérieure.
- FIG. 24. — Face postérieure du même os.
- FIG. 35. — Extrémité articulaire inférieure, vue en dessous.



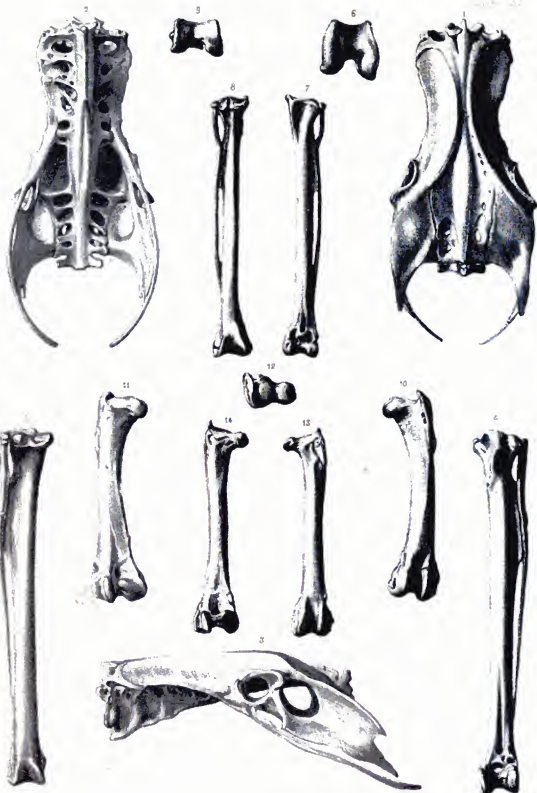
Leveau del.

Benjamin Carr.

PLANCHE 180.

RAPACES DIURNES.

- FIG. 1. — Bassin du **Vautour royal** (*Sarcorampus papa*, Linné), vu par sa face supérieure et réduit d'environ un tiers.
- FIG. 2. — Face inférieure du même os.
- FIG. 3. — Le même, vu de côté.
- FIG. 4. — Tibia du même oiseau, vu par sa face antérieure (réduction d'un tiers).
- FIG. 5. — Face postérieure du même os.
- FIG. 6. — Extrémité articulaire inférieure vue en dessous, de grandeur naturelle.
- FIG. 7. — Os de la jambe du **Faucon pèlerin** (*Falco peregrinus*, Lin.), vu par sa face antérieure, de grandeur naturelle.
- FIG. 8. — Face postérieure du même os.
- FIG. 9. — Extrémité articulaire inférieure du tibia vue en dessous, et un peu grossie.
- FIG. 10. — Fémur du **Vautour royal**, vu par sa face antérieure (réduction d'un tiers).
- FIG. 11. — Face postérieure du même os.
- FIG. 12. — Extrémité articulaire supérieure vue en dessous, de grandeur naturelle, ainsi que les figures suivantes.
- FIG. 13. — Fémur du **Faucon pèlerin**, vu par sa face antérieure.
- FIG. 14. — Face postérieure du même os.



provena Rib

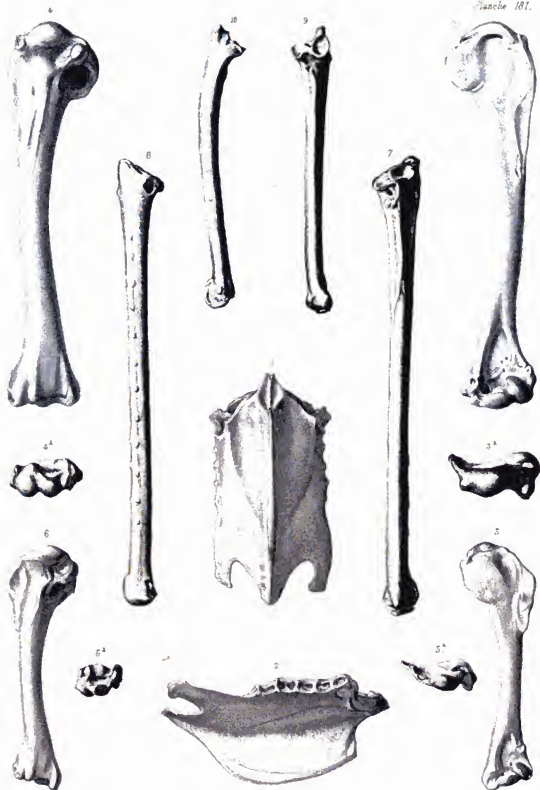
VILLELLA
 Libraire au Palais des Arts

Imp. Boquet Paris

PLANCHE 181.

RAPACES DIURNES.

- FIG. 1. — Sternum du **Vautour royal** (*Sarcorampus papa*, Lin.), vu par sa face antérieure ou inférieure, et réduit d'un tiers ainsi que les quatre figures suivantes.
- FIG. 2. — Le même os, vu de côté.
- FIG. 3. — Humérus du même oiseau, vu par sa face antérieure.
- FIG. 4. — Face postérieure de même.
- FIG. 5. — Humérus du **Faucon pèlerin** (*Falco peregrinus*, Lin.), vu par sa face antérieure, de grandeur naturelle.
- FIG. 6. — Face postérieure du même os.
- FIG. 7. — Cubitus du **Vautour royal**, vu par sa face antérieure et réduit d'un tiers.
- FIG. 8. — Face interne du même os.
- FIG. 9. — Cubitus du **Faucon pèlerin**, vu par sa face antérieure et de grandeur naturelle.
- FIG. 10. — Face externe du même os.



CUTLER

VILLE DE LYON
Bibliothèque du Palais des Arts

Sup. Zoog. Paris

PLANCHE 182.

RAPACES DIURNES.

FIG. 1. — Tête osseuse du **Vautour royal** (*Sarcoramphus papa*, Lin.), vue en dessus et réduite d'environ un tiers, ainsi que les figures suivantes.

FIG. 2. — Face inférieure de la tête.

FIG. 3. — La même, vue de côté.

FIG. 4 et 4^a. — Os furculaire du même oiseau, vu par ses faces antérieure et postérieure.

FIG. 5. — Coracoïdien, vu par sa face antérieure.

FIG. 6. — Face postérieure du même os.

FIG. 6^a. — Extrémité articulaire sternale.

FIG. 6^b. — Portion supérieure vue en dedans.

FIG. 7. — Métacarpe et première phalange du doigt médian, vus en dehors.

FIG. 8. — Les mêmes os, vus en dedans.

FIG. 9. — Métacarpe, vu par sa face postérieure.

FIG. 10 et 10^a. — Extrémités articulaires supérieure et inférieure, de grandeur naturelle.



Louveau del.

VILLE DE LYON
Biblioth. du Palais des Arts

Imp. Boquet, Paris

PLANCHE 183.

RAPACES DIURNES.

FOSSILES.

- FIG. 1. — Tarso-métatarsien du *Palaeohierax Gervaisii* (A. Edwards), provenant du terrain miocène de Chaptuzat (Allier), vu par sa face antérieure, de grandeur naturelle, ainsi que les figures suivantes.
- FIG. 2, 3 et 4. — Le même os, montrant ses faces postérieure, externe et interne.
- FIG. 5 et 6. — Extrémités articulaires supérieure et inférieure.
- FIG. 7. — Tarso-métatarsien de la même espèce, provenant de Saint-Gérard-le-Puy et vu par sa face antérieure.
- FIG. 8, 9 et 10. — Le même os, montrant ses faces postérieure, externe et interne.
- FIG. 11. — Tarso-métatarsien de l'*Aquila depredator* (A. Edwards), provenant du terrain miocène de Saint-Gérard-le-Puy (face antérieure).
- FIG. 12, 13 et 14. — Le même os, vu par ses faces postérieure, interne et externe.
- FIG. 15. — Tibia provenant probablement du même oiseau, et trouvé dans le même gisement (face antérieure).
- FIG. 16. — Face postérieure du même os.
- FIG. 17, 18 et 19. — Phalange unguéale de Rapace recueillie, ainsi que les suivantes, à Saint-Gérard-le-Puy.
- FIG. 20 et 21. — Autre phalange unguéale.
- FIG. 22 à 25. — Deuxième phalange du doigt interne d'un Rapace voisin des aigles.
- FIG. 26 à 29. — Troisième phalange du doigt médian d'un Rapace.



Louveau lib

Imp. Barquet, Paris

PLANCHE 184.

RAPACES DIURNES.

Fossiles.

Fig. 1. — Tarso-métatarsien de l'*Aquila prisen* (A. Edwards), provenant du terrain miocène de Saint-Gérard-le-Puy, de grandeur naturelle, ainsi que les figures suivantes (face antérieure).

Fig. 2 et 3. — Le même os, montrant ses faces postérieure et externe.

Fig. 4. — Extrémité articulaire inférieure du même os, vue en dessous.

Fig. 5. — Tarso-métatarsien de l'*Aquila depredator*. Cet os provient aussi des carrières de Saint-Gérard-le-Puy (face antérieure).

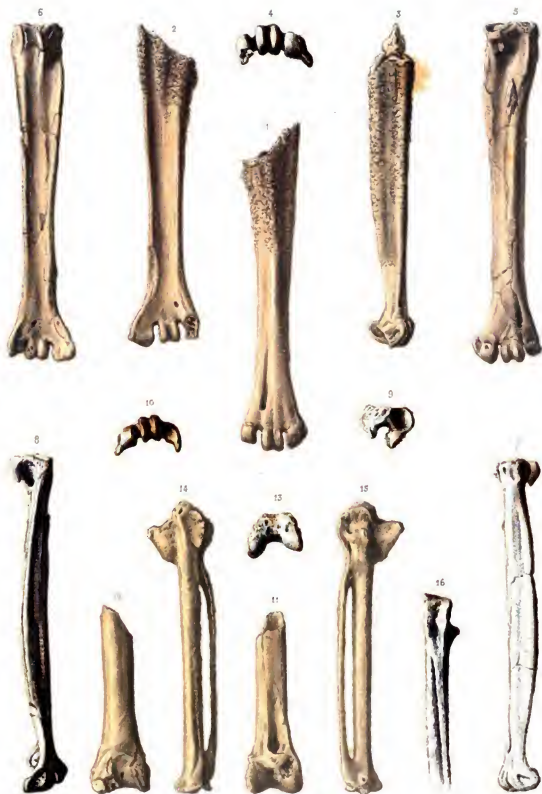
Fig. 6, 7 et 8. — Le même os, montrant ses faces postérieure, externe et interne.

Fig. 9 et 10. — Extrémités articulaires supérieure et inférieure.

Fig. 11 et 12. — Portion inférieure d'un Tibia provenant de la même localité et se rapportant probablement à l'*Aquila prisen*.

Fig. 13. — Extrémité articulaire inférieure du même os, vue en dessous.

Ces pièces proviennent de ma collection.



Longue 214

VULF DE L'YOG

Bibliothèque des Arts

184

PLANCHE 185.

RAPAGES DIURNES.

FOSSILES.

- FIG. 1. — Tarso-métatarsien d'un *Milvion* (*Milvion deperditus*, A. Edwards), provenant des terrains tertiaires moyens du département de l'Allier. (Cet os est vu par sa face antérieure et de grandeur naturelle, ainsi que les figures suivantes.)
- FIG. 2, 3 et 4. — Le même os montrant ses faces postérieure, interne et externe.
- FIG. 5. — Portion inférieure du Tibia d'un *Aigle* (*Aquila minuta*, A. Edwards), provenant du terrain miocène de Sansan (Gers). (Cet os est vu par sa face antérieure.)
- FIG. 6 et 7. — Le même os montrant ses faces postérieure et interne.
- FIG. 8. — Extrémité articulaire inférieure, vue en dessous.
- FIG. 9, 10 et 11. — Métacarpe d'un *Fygargue* (*Haliastur piscator*, A. Edwards), provenant de la colline de Sansan. (Cet os est vu par ses faces externe, interne et postérieure.)
- FIG. 12. — Phalange unguéale d'un Rapace de grande taille et provenant de Sansan.
- FIG. 13. — Surface articulaire du même os.
- FIG. 14 et 15. — Deuxième phalange du doigt interne d'un Rapace nocturne provenant de Sansan.
- FIG. 16. — Métacarpe du *Palaeocircus tuxi* (A. Edwards), Rapace diurne provenant du Gypse des environs de Paris. (Cet os est vu par sa face interne.)
- FIG. 17. — Métacarpe incomplet d'un Rapace diurne provenant du Gypse des environs de Paris (vu par sa face interne).
- FIG. 18. — Portion inférieure, grossie et montrant sa face externe.
- FIG. 19. — Extrémité articulaire inférieure, grossie.
- FIG. 20. — Fémur du *Ternacus littoralis* (Aymard), oiseau des calcaires de Bouzon que M. Aymard rapproche des Rapaces diurnes. (Cet os est vu par sa face interne.)
- FIG. 21. — Extrémité supérieure, vue en dehors.
- FIG. 22. — La même, vue en dessous.
- FIG. 23. — Coracéidien provenant du même gisement et que M. Aymard considère comme appartenant au *Ternacus littoralis*.
- FIG. 24 à 27. — Phalange unguéale d'un Rapace trouvée à Saint-Just (Lot-et-Garonne), avec des débris de paléotherium et d'anthracotherium.
- FIG. 28 et 29. — Phalange unguéale d'un Rapace provenant du terrain miocène de la colline de Sansan.

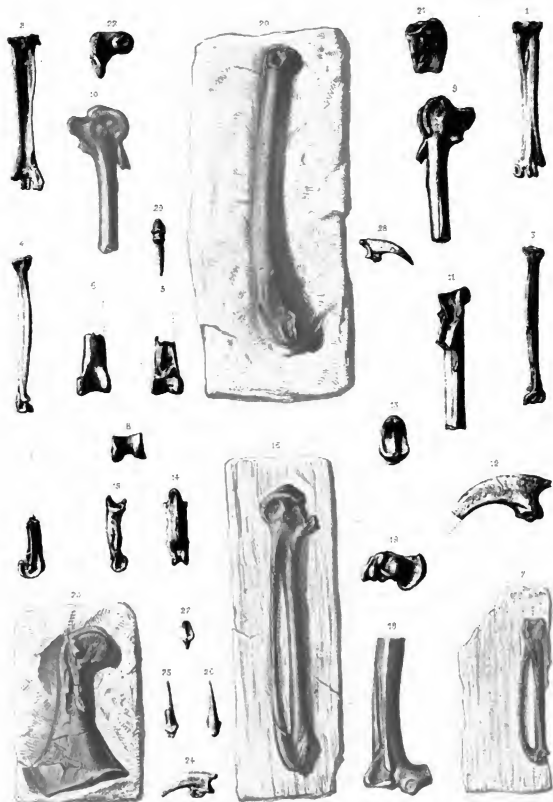


PLATE 165
Fossil bones from the
Cretaceous of the United States

by Margaret Davis

PLANCHE 186.

RAPACES DIURNES.

FOSSILES.

- FIG. 1. — Tarso-métatarsien du *Secrétaire robuste* (*Serpentarius robustus*, A. Edwards), oiseau fossile provenant du terrain miocène du département de l'Allier. Cet os est vu par sa face antérieure et de grandeur naturelle, ainsi que les figures suivantes.
- FIG. 2, 3 et 4. — Le même os, montrant ses faces postérieure, interne et externe.
- FIG. 5 et 6. — Extrémités articulaires supérieure et inférieure du même os.
- FIG. 7. — Fémur appartenant probablement à l'*Aquila depredator* (A. Edwards), oiseau provenant du terrain miocène du département de l'Allier. (Vu par sa face antérieure.)
- FIG. 8. — Face postérieure du même os.
- FIG. 9 et 10. — Extrémités articulaires supérieure et inférieure du même os.
- FIG. 11. — Coracoidien appartenant probablement à l'*Aquila depredator* et provenant du même gisement. Cet os est vu par sa face antérieure (ou inférieure).
- FIG. 12. — Le même os vu par sa face interne.

Ces pièces proviennent de ma collection.



Fig. 1. Humerus.

PLANCHE 187.

RAPACES DIURNES.

FOSSILES DES CAVERNES.

- FIG. 1. — Tarsométatarsien de *Circus* (*Falco tinnunculus*, Linné), provenant de la grotte de Lacombe (Dordogne). Cet os est vu par sa face antérieure, de grandeur naturelle, ainsi que les figures suivantes.
- FIG. 2, 3 et 4. — Le même os montrant ses faces postérieure, interne et externe.
- FIG. 5. — Extrémité articulaire supérieure du même os, vue en dessus.
- FIG. 6 et 7. — Humérus de la *Circus*, provenant du même gisement et montrant ses faces antérieure et postérieure.
- FIG. 8. — Tibia d'une *Buteo* de très-grande taille (*Buteo cinereus*, Gmel.), provenant d'Aurignac, et vu par sa face antérieure.
- FIG. 9 et 10. — Le même os montrant ses faces postérieure et externe.
- FIG. 11. — Extrémité articulaire inférieure vue en dessous.
- FIG. 12. — Tarsométatarsien d'un *Rapace* voisin de l'*Aquila Bonelli* (Temminck), provenant de la grotte de Massat (Ariège), et montrant sa face antérieure.
- FIG. 13 et 14. — Le même os vu par ses faces postérieure et externe.
- FIG. 15. — Extrémité articulaire du même os, vue en dessous.
- FIG. 16. — Humérus d'un *Milvus* (*Milvus regalis*, Br.), provenant du gisement d'Aurignac et vu par sa face antérieure.
- FIG. 17. — Face postérieure du même os.



Louveau lith

VILLE DE LYON
Bibliothèque du Palais des Arts

Imp. Barquet Paris

PLANCHE 188.

RAPACES DIURNES.

FOSSILES DES CAVERNES.

Ostéologie du *Gypaète barbu* (*Gypaetus barbatus*, Linné), oiseau dont les débris ont été trouvés dans les cavernes à ossements du centre et du midi de la France.

Fig. 1, 2 et 3. — Portion de la mandibule supérieure, vue en avant, de côté et en dessus, de grandeur naturelle, ainsi que les figures suivantes.
Cette pièce provient de la grotte de Lacombe (Dordogne).

Fig. 4 et 5. — Humérus trouvé à Bruniquel, près de Montauban, par M. Brun. Cet os est vu par ses faces antérieure et postérieure.

Fig. 6, 7 et 8. — Cubitus provenant du même gisement et montrant ses faces antérieure, postérieure et externe.

Fig. 9 à 11. — Phalange unguéale de *Rapace* trouvée au Moustier.

Fig. 12 à 14. — Phalange unguéale de *Rapace* trouvée à la Madeleine (Dordogne).



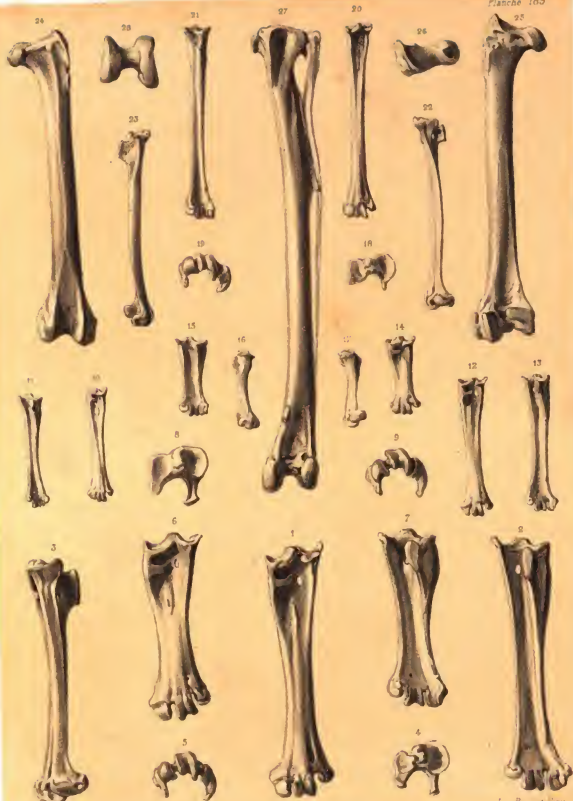
Louveau lith

Jap. Recquet Paris

PLANCHE 189.

RAPACES NOCTURNES.

- FIG. 1. — Tarso-métatarsien de **grand Duc** (*Bubo atheniensis*, Aldrov.), vu par sa face antérieure, de grandeur naturelle, ainsi que les figures suivantes.
- FIG. 2 et 3. — Le même os montrant ses faces postérieure et externe.
- FIG. 4 et 5. — Extrémités articulaires supérieure et inférieure.
- FIG. 6. — Tarso-métatarsien du **Harfang** (*Nyctea nivea*, Daud., *Strix nyctea*, Linné), vu par sa face antérieure.
- FIG. 7. — Face postérieure du même os.
- FIG. 8 et 9. — Extrémités articulaires supérieure et inférieure.
- FIG. 10. — Tarso-métatarsien de la **Chevêche** (*Athene noctua*, Retr), vu par sa face antérieure.
- FIG. 11. — Face postérieure du même os.
- FIG. 12. — Tarso - métatarsien du **moyen Duc** (*Brachyotus palustris*, Bp., *Strix brachyotus*, Linné), vu par sa face antérieure.
- FIG. 13. — Face postérieure du même os.
- FIG. 14. — Tarso-métatarsien de la **Murle boréale** (*Surnia borealis*, Lesson, *Strix ulula*, Linné), vu par sa face antérieure.
- FIG. 15, 16 et 17. — Le même os vu par ses faces postérieure, interne et externe.
- FIG. 18 et 19. — Extrémités articulaires supérieure et inférieure.
- FIG. 20. — Tarso-métatarsien de l'**Effraie** (*Strix flammea*, Linné), vu par sa face antérieure.
- FIG. 21, 22 et 23. — Le même os, vu par ses faces postérieure, externe et interne.
- FIG. 24. — Fémur du **grand Duc**, vu par sa face antérieure.
- FIG. 25. — Face postérieure du même os.
- FIG. 26. — Extrémité articulaire supérieure vue en dessus.
- FIG. 27. — Tibia du **grand Duc**, vu par sa face antérieure.
- FIG. 28. — Extrémité articulaire inférieure vue en dessous.



Lycæum 2th

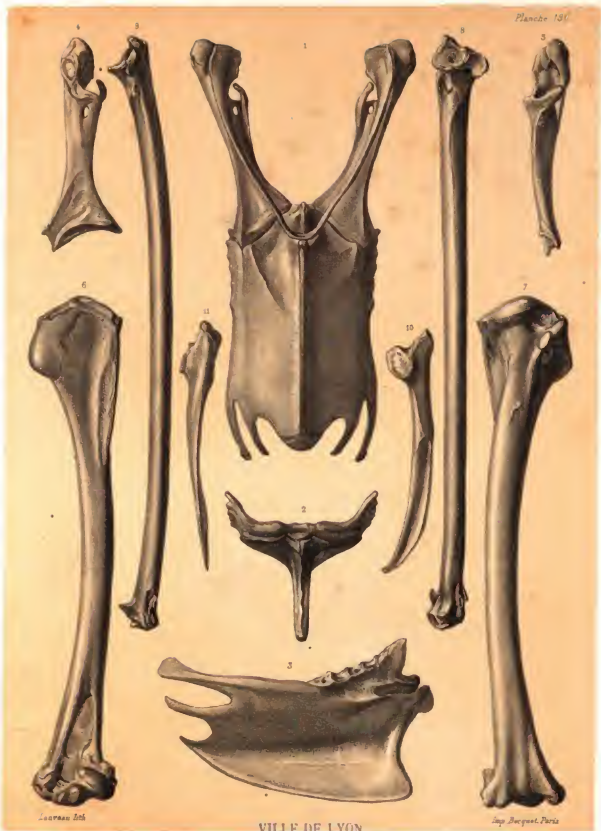
VILLE DE LYON
Bibliothèque du Palais des Arts

Lap. Recquet Paris

PLANCHE 190.

RAPACES NOCTURNES.

- FIG. 1. — Appareil sterno-claviculaire du **grand Due** (*Bubo atheniensis*, Aldrov.), vu par sa face antérieure ou inférieure, de grandeur naturelle, ainsi que les figures suivantes.
- FIG. 2. — Portion articulaire antérieure du sternum, montrant la disposition des rainures coracoïdiennes.
- FIG. 3. — Le même os vu de côté.
- FIG. 4. — Coracoïdien vu par sa face postérieure ou supérieure.
- FIG. 5. — Le même os vu par sa face interne.
- FIG. 6 et 7. — Humérus vu par ses faces antérieure et postérieure.
- FIG. 8 et 9. — Cubitus montrant ses faces antérieure et externe.
- FIG. 10 et 11. — Omoplate vue sur ses faces supérieure et inférieure.



Lacaze de M.

VILLE DE LYON

Bibliothèque du Palais des Arts

Imp. Burgeat, Paris

PLANCHE 191.

RAPACES NOCTURNES.

FIG. 1. — Bassin du **grand Duc** (*Bubo atheniensis*, Aldrov.), vu par sa face supérieure, de grandeur naturelle, ainsi que les figures suivantes.

FIG. 2. — Face inférieure du même os.

FIG. 3. — Tête osseuse vue de côté.

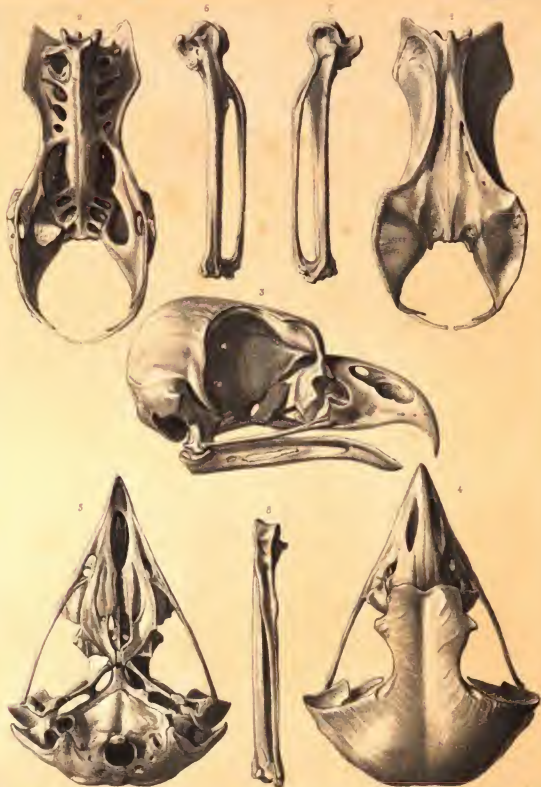
FIG. 4. — Tête osseuse vue en dessus.

FIG. 5. — Face inférieure de la tête osseuse.

FIG. 6. — Métacarpien vu par sa face interne.

FIG. 7. — Face externe du même os.

FIG. 8. — Face postérieure du même os.



Louveau 1th

VILLE DE LYON
Biblioth. du Palais des Arts

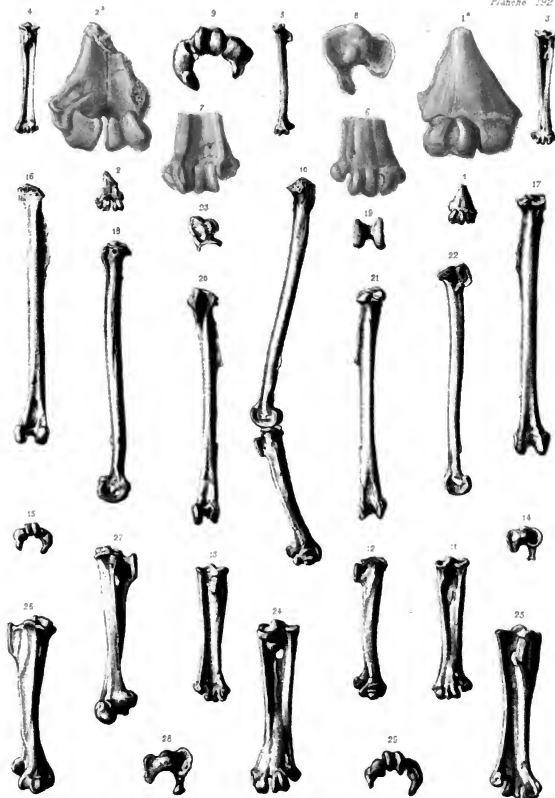
Imp. Boquet & Co

PLANCHE 192.

RAPACES NOCTURNES.

FOSSILES.

- FIG. 1. — Portion inférieure du tarso-métatarsien d'une *Chouette* provenant du terrain miocène de la colline de Sansan (Gers). 1^{re} Le même os grossi.
- FIG. 2. — Face postérieure du même os. 2^e. Le même, grossi.
- FIG. 3. — Tarso-métatarsien d'une *Chouette* (*Strix antiqua*, A. Edwards), provenant du terrain miocène du département de l'Allier. Cet os est vu par sa face antérieure et de grandeur naturelle.
- FIG. 4 et 5. — Le même os montrant ses faces postérieure et interne.
- FIG. 6 à 8. — Extrémité articulaire inférieure vue sur ses diverses faces et très-grossie.
- FIG. 9. — Extrémité articulaire supérieure vue en dessus et très-grossie.
- FIG. 10. — Os du pied et de la jambe d'un *Hibou* (*Bubo arvernensis*, A. Edwards), provenant du même gisement. Ces os, vus du côté interne, sont représentés de grandeur naturelle.
- FIG. 11, 12 et 13. — Tarso-métatarsien vu sur ses faces antérieure, interne et postérieure.
- FIG. 14 et 15. — Extrémités articulaires supérieure et inférieure du même os.
- FIG. 16, 17 et 18. — Tibia montrant ses faces antérieure, postérieure et externe.
- FIG. 19. — Extrémité articulaire inférieure vue en dessous.
- FIG. 20. — Tibia provenant d'une autre espèce plus petite du même genre, ou peut-être du mâle de la même espèce. Cet os est figuré de grandeur naturelle et montre sa face antérieure.
- FIG. 21 et 22. — Faces postérieure et interne du même os.
- FIG. 23. — Extrémité articulaire supérieure vue en dessus.
- FIG. 24. — Tarso-métatarsien d'un *Hibou* (*Bubo Poirrievi*, A. Edwards), provenant aussi du terrain miocène du département de l'Allier. Cet os, vu par sa face antérieure, est représenté de grandeur naturelle.
- FIG. 25, 26 et 27. — Faces postérieure interne et externe du même os.
- FIG. 28. — Extrémité articulaire supérieure vue en dessus.
- FIG. 29. — Extrémité articulaire inférieure vue en dessous.



Louvres 216

Dep. Bequet Paris

PLANCHE 193.

RAPACES NOCTURNES.

HOSSUES.

Squelette restitué du *Nyctea* (*Nyctea nirex*, Daud., *Strix nyctea*, Linné), oiseau dont les restes se rencontrent dans presque toutes les cavernes à ossements du centre et du midi de la France. Réduction d'un tiers.

Les parties ombrées sont les seules qui jusqu'ici aient été trouvées.



Louveau del.

VILLE DE LYON
Bibliothèque du Palais des Arts

Imp. Berquet Paris

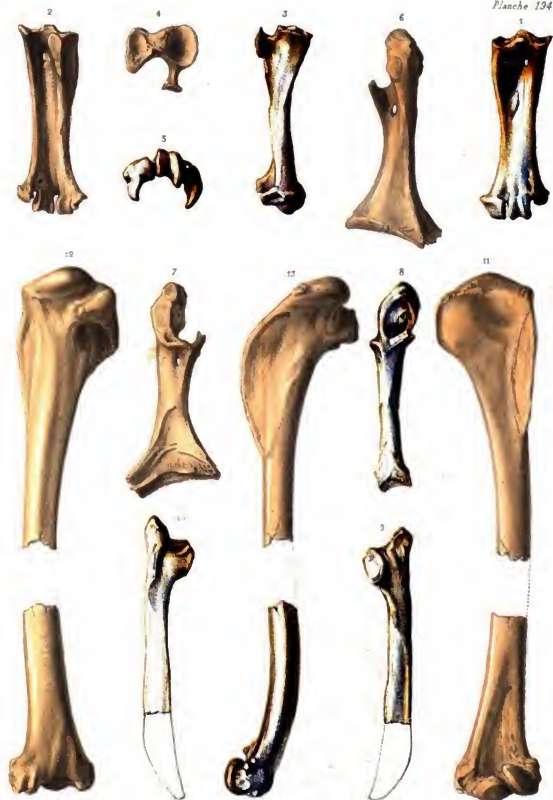
PLANCHE 194.

RAPACES NOCTURNES.

FOSSILES.

Ostéologie du **Harfang** (*Nyctea nivea*, Daud., *Strix nyctea*, Linné), oiseau dont les ossements se rencontrent dans presque toutes les cavernes du centre et du midi de la France.

- FIG. 1. — Tarsio-métatarsien provenant de la grotte des Eyzies (Dordogne), vu par sa face antérieure et de grandeur naturelle.
- FIG. 2 et 3. — Faces postérieure et interne du même os.
- FIG. 4 et 5. — Extrémités articulaires un peu grossies.
- FIG. 6. — Coracoidien provenant de la grotte de Lherm (Ariège), et vu par sa face antérieure ou inférieure, de grandeur naturelle.
- FIG. 7 et 8. — Faces supérieure et interne du même os.
- FIG. 9. — Omoplate montrant sa face supérieure.
- FIG. 10. — Face inférieure du même os.
- FIG. 11. — Humérus provenant du même gisement et vu par sa face antérieure.
- FIG. 12. — Face postérieure du même os.
- FIG. 13. — Face externe du même os.



Louveau lith

VILLE FR LYON
Bibliothèque du Palais des Arts

Jap. Barquet Paris

PLANCHE 495.

PERROQUETS.

Squelette de l'*Ara rama* (*Macrocercus ararauna*, Linné), du Brésil.
Réduit d'un tiers.



L. J. G.

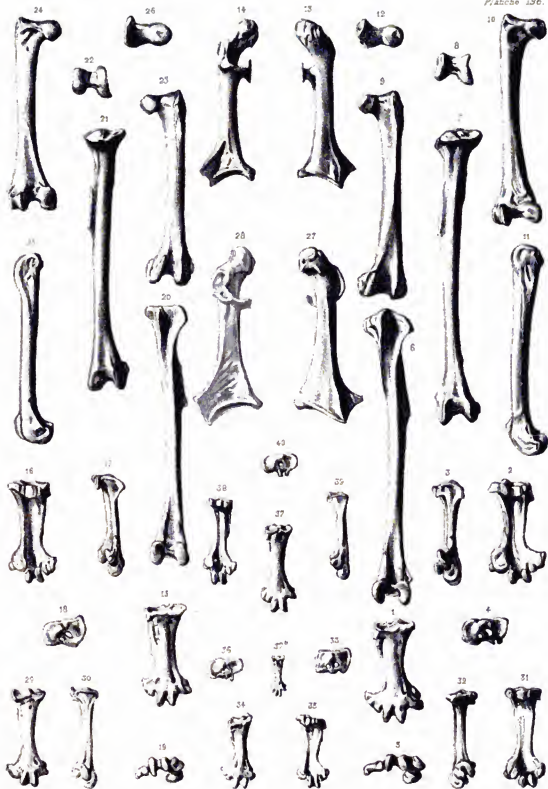
Imp. Bachelier Paris

VILLE DE LYON
Bibliothèque du Palais des Arts

PLANCHE 196.

PERROQUETS.

- FIG. 1. — Tarso-métatarsien du **Cacatoès à bec rouge** (*Cacatua moluccensis*, Gmelin), vu par sa face antérieure de grandeur naturelle.
- FIG. 2 et 3. — Faces postérieure et interne du même os.
- FIG. 4 et 5. — Extrémités articulaires supérieure et inférieure.
- FIG. 6 et 7. — Tibia du même oiseau montrant ses faces antérieure et postérieure.
- FIG. 8. — Extrémité articulaire inférieure vue en dessous.
- FIG. 9, 10 et 11. — Fémur du même oiseau, montrant ses faces antérieure, postérieure et externe.
- FIG. 12. — Extrémité articulaire supérieure vue en dessus.
- FIG. 13. — Coracoidien du même oiseau, vu par sa face inférieure ou antérieure.
- FIG. 14. — Le même, vu en dessus.
- FIG. 15. — Tarso-métatarsien de l'**Arara rousse** (*Macrocerus ararauna*, Linné), vu par sa face antérieure.
- FIG. 16 et 17. — Faces postérieure et interne du même os.
- FIG. 18 et 19. — Extrémité articulaire supérieure et inférieure du même os.
- FIG. 20 et 21. — Tibia du même oiseau, montrant ses faces antérieure et postérieure.
- FIG. 22. — Extrémité articulaire inférieure vue en dessous.
- FIG. 23, 24 et 25. — Fémur du même oiseau, montrant ses faces antérieure, postérieure et externe.
- FIG. 26. — Extrémité articulaire supérieure vue en dessus.
- FIG. 27 et 28. — Coracoidien du même oiseau, vu sur ses deux faces (antérieure et postérieure).
- FIG. 29. — Tarso-métatarsien du **grand Vasa** (*Coracopsis vasa*, Wagler), vu par sa face antérieure.
- FIG. 30, 31 et 32. — Faces interne, postérieure et externe du même os.
- FIG. 33. — Extrémité articulaire supérieure vue en dessus.
- FIG. 34. — Tarso-métatarsien du **Perroquet gris** (*Psittacus erythacus*, Linné), vu par sa face antérieure.
- FIG. 35. — Face postérieure du même os.
- FIG. 36. — Extrémité articulaire supérieure vue en dessus.
- FIG. 37. — Tarso-métatarsien de **Callopiste** (*Nymphicus Nova-Hollandie*, Gmelin), vu par sa face antérieure et grossi. Le trait 37* indique la grandeur naturelle de l'os.
- FIG. 38 et 39. — Faces postérieure et interne du même os.
- FIG. 40. — Extrémité articulaire supérieure du même os, vue en dessus.



Zimmerman del.

Imp. Berquet, Paris.

VILLE DE LYON
Bibliothèque du Palais des Arts

PLANCHE 197.

PERROQUETS.

- FIG. 1. — Bassin de l'*Ara rauna* (*Macrocerus aracuna*, Linné), vu par sa face supérieure, de grandeur naturelle, ainsi que les figures suivantes.
- FIG. 2. — Face inférieure du même os.
- FIG. 3. — Sternum du même oiseau montrant sa face inférieure.
- FIG. 4. — Os furculaire du même oiseau, vu par sa face postérieure ou sternale.
- FIG. 5. — Omoplate du même oiseau, vue en dessus.
- FIG. 6. — Bassin du *Cacatua à huppe rouge* (*Cacatua moluccensis*, Gmelin), vu par sa face supérieure.
- FIG. 7. — Face inférieure du même os.
- FIG. 8. — Sternum du même oiseau montrant sa face inférieure.
- FIG. 9. — Os furculaire du même oiseau, vu par sa face postérieure ou sternale.
- FIG. 10. — Omoplate du même oiseau, vue en dessus.



Louvain Ind.

VILLE DE LYON
Biblioth. du Palais des arts

Imp. Bachelier, Paris

PLANCHE 198.

PERROQUETS.

FIG. 1. — Humérus du **Cucatoès à huppe rouge** (*Cacatua moluccensis*, Gmelin), vu par sa face antérieure, de grandeur naturelle, ainsi que les figures suivantes.

FIG. 2. — Face postérieure du même os.

FIG. 3. — Extrémité articulaire supérieure, vue en dessus.

FIG. 4 et 5. — Cubitus du même oiseau, vu par sa face antérieure et sa face interne.

FIG. 6. — Radius du même oiseau.

FIG. 7, 8 et 9. — Métacarpe du même oiseau, montrant ses faces externe, interne et postérieure.

FIG. 10. — Humérus de l'**Ara rauna** (*Macrocercus ararauna*, Linné), vu par sa face antérieure.

FIG. 11. — Face postérieure du même os.

FIG. 12. — Extrémité articulaire supérieure, vue en dessus.

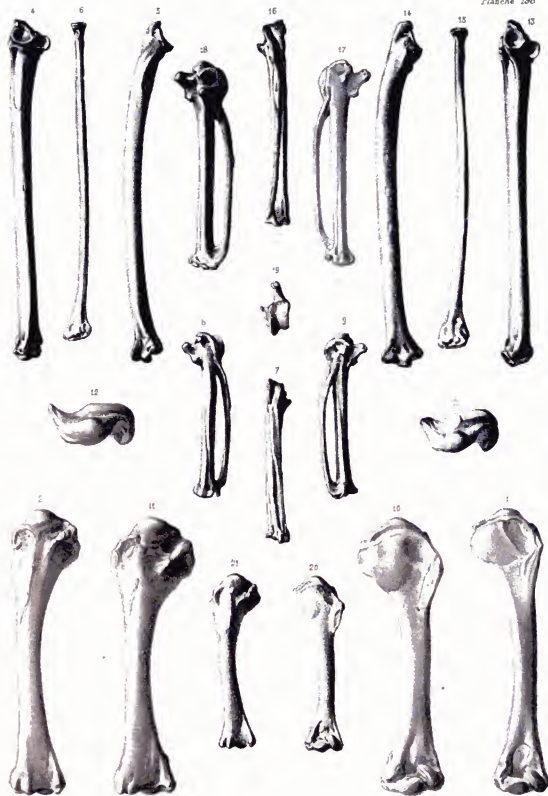
FIG. 13 et 14. — Cubitus du même oiseau montrant ses faces antérieure et interne.

FIG. 15. — Radius du même oiseau.

FIG. 16, 17 et 18. — Métacarpe du même oiseau montrant ses faces externe, interne et postérieure.

FIG. 19. — Extrémité articulaire supérieure, vue en dessus.

FIG. 20 et 21. — Humérus du **Peroquet gris** (*Pittacus erytharus*, Linné), montrant ses faces antérieure et postérieure.



Lacaze, del.

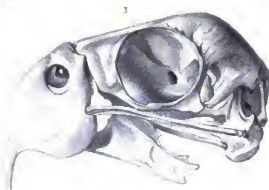
VILLE DE LYON
Musée du Palais des Arts

Jap. Steeger, del.

PLANCHE 199.

PERROQUETS.

- FIG. 1. — Tête osseuse du **Caenotox à huppe rouge** (*Cacatua moluccensis*, Gmelin),
vue par sa face supérieure.
- FIG. 2. — Face inférieure de la tête.
- FIG. 3. — La même, vue de côté.
- FIG. 4. — Face postérieure de la tête.
- FIG. 5. — Tête osseuse de l'**Ara rarna** (*Macrocerus arararna*, Lioné), vue par sa face
supérieure.
- FIG. 6. — Face inférieure de la tête.
- FIG. 7. — Face postérieure ou occipitale de la tête.



— nouveau —

VILLEBLAON
Méthode du Palais des Arts

Jap. Desportes Paris

PLANCHE 200.

PERROQUETS.

FOSSILES.

Osteologie d'un **Perroquet** (*Psittacus Verreauxii*, A. Edwards), provenant du terrain miocène du département de l'Allier.

- FIG. 1. — Tarso-métatarsien, vu par sa face antérieure, de grandeur naturelle — 1^a. Le même os grossi.
- FIG. 2. — Face postérieure du même os. — 2^a. Le même grossi.
- FIG. 3 et 4. — Faces externe et interne du même os.
- FIG. 5. — Extrémité articulaire supérieure, vue en dessus et très-grossie.
- FIG. 6. — Extrémité articulaire inférieure, vue en dessous et très-grossie.
- FIG. 7. — Tibia appartenant probablement à la même espèce, vu par sa face antérieure et de grandeur naturelle. — 7^a. Le même grossi.
- FIG. 8, 9 et 10. — Faces postérieure externe et interne du même os grossi.
- FIG. 11. — Extrémité articulaire inférieure, vue en dessous et très-grossie.
- FIG. 12. — Humérus appartenant probablement à la même espèce et vu par sa face postérieure, de grandeur naturelle.
- FIG. 13 à 16. — Le même os grossi et montrant ses faces antérieure, postérieure, externe et interne.
- FIG. 17. — Extrémité articulaire supérieure, vue en dessous et grossie.

(Ces pièces proviennent de ma collection.)



nouveaux 2th

VILLEBRYON
Bibliothèque du Palais des Arts

Imp. Bequet Paris

VILLE DE LYON
Bibliothèque du Musée des Arts

PLANCHE 127

GALLINACES

FUSSILES.

Squelette presque complet du **Trooperdia Fossileti** (A. Milne Edwards), **Tetrao ? Fossileti** (P. Gervais), provenant d'Armissan (Aude).

Cette pièce, représentée ici de grandeur naturelle, fait partie de la collection de M. Pessieto à Narbonne.

